

**Kapillarrheologische Detektion von
mechanischen Instabilitäten bei der
Polymerverarbeitung**

Diplomarbeit von
Ingo F. C. Naue



Fachbereich: Maschinenbau
Studienbereich: Angewandte Mechanik
Fachgebiet: Strömungsmechanik/ Mechanik
der Polymere,
der Technischen Universität Darmstadt
betreut von
Prof. M. Wilhelm

Ingo F.C. Naue

18. März 2007

Versicherung an Eides Statt

Erklärung zur Diplomarbeit gemäß §23 Abs. 7 APB

Diplomarbeit von _____

Hiermit versichere ich, die vorliegende Diplomarbeit ohne Hilfe Dritter nur mit den angegebenen Quellen und Hilfsmitteln angefertigt zu haben. Alle Stellen, die aus den Quellen entnommen wurden, sind als solche kenntlich gemacht worden. Diese Arbeit hat in gleicher oder ähnlicher Form noch keiner Prüfungsbehörde vorgelegen.

Darmstadt, den _____

Unterschrift

Inhaltsverzeichnis

Symbolverzeichnis	v
1 Einführung	1
1.1 Aufbau der Arbeit	3
2 Grundlagen und Theorie	5
2.1 Funktionsprinzip von Kapillarrheometern	5
2.1.1 Aufbau	6
2.1.2 Versuchsablauf	8
2.1.3 Auswertung	10
2.2 Mechanische Instabilitäten	14
2.3 Datenerfassung	16
2.4 Datenanalyse	21
2.4.1 Fourierreihe (FR)	21
2.4.2 Fourier Transformation (FT)	24
2.4.3 Fenster Funktionen	26
2.4.4 Diskrete Fourier Transformation (DFT)	28
2.4.5 Spektrale Leistungsdichte (SLD)	29
2.4.6 Autokorrelationsfunktion (AKF)	29
2.4.7 Autokorrelationsfolge (DAKF)	30
2.4.8 Wiener-Khinchine Theorem	33
3 Versuchsaufbau und -durchführung	35
3.1 Das Kapillarrheometer	35
3.2 Polyethylen als Testmaterial	37
3.3 Datenaquisition	37
3.4 Versuchsablauf	38
3.5 Aufbereitung und Analyse der zeitabhängigen Druckdaten .	40
3.5.1 Aufbereitung der zeitabhängigen Druckdaten	42
3.5.2 Analyse der zeitabhängigen Druckdaten	43
3.5.3 Methode A, AKF und SLD	44
3.5.4 Methode B, FT und SLD	44
3.5.5 Experimentelle Fließanomalien	44

3.5.6	Erweiterung des Systems PE-1	44
3.5.7	Verallgemeinerung auf anderer Polymer Systeme . .	45
3.5.8	Stick-Slip Anomalie	45
3.5.9	Optische Analyse der Instabilitäten	46
4	Ergebnisse und Diskussion	47
4.1	Fließanomalie	47
4.2	Erweiterung auf das System PE-1	59
4.3	Verallgemeinerung auf andere Polymer Systeme	65
4.4	Stick-Slip Anomalie	71
4.5	Optische Analyse der Instabilitäten	73
4.6	Zusammenfassung von Kapitel 4	76
5	Diskussion	77
5.1	Charakteristika der Fließanomalien	77
5.2	Ausblick	80
A	Entwickelte Messausrüstung	81
A.1	DMS Drucksensor	81
A.2	Piezo Drucksensor	81
B	Datenanalyse Software	83
B.1	Matlab Programme zur Datenanalyse	83
B.1.1	Bildanalyse mit Matlab	83
B.1.2	SLD mit Matlab	85
B.2	Programmierets C-Programm zur Datenanalyse	88
	Literaturverzeichnis	125
	Index	128
	Danksagung	129

Symbolverzeichnis

Symbol	Einheit	Erklärung	Seite
τ_{xy}	Pa	Schubspannung	6
D_k	mm	Testkanal-/ Testkolbendurchmesser	6
L_k	mm	Länge des Testkanals	6
L_D	mm	Länge der Düse	6
α	Grad	Eintrittswinkel in die Düse	6
d_{Kreis}	mm	Durchmesser derer Vollkreisdüse	7
b	mm	Breite der Schlitzdüse	7
h	mm	Höhe der Schlitzdüse	7
$d_{R,aussen}$	mm	Außendurchmesser der Ringschlitzdüse	7
$d_{R,innen}$	mm	Innendurchmesser der Ringschlitzdüse	7
ϑ	°C	Temperatur	8
p	bar	Druck	8
D_{Duese}	mm	Charakteristische Abmessung der Düse	9
Re	—	Reynoldszahl	10
v	$\frac{m}{s}$	Strömungsgeschwindigkeit	10
p'	$\frac{Pa}{s}$	Druckgradient in Strömungsrichtung	10
ρ	$\frac{kg}{m^3}$	Dichte	10
Δt	s	Zeitliche Auflösung	10
ΔV	m^3	Volumenverschiebung	10
\dot{V}	$\frac{m^3}{s}$	Volumenänderungsrate, Volumenfluss	10
A_k	m^2	Querschnittsfläche des Testkanals	10
v_{kolben}	$\frac{mm}{s}$	Geschwindigkeit des Testkolbens	10
$\dot{\gamma}_{ap}$	$\frac{1}{s}$	Scheinbare Scherrate	11
η_{ap}	Pa · s	Scheinbare Viskosität	11
τ_{ap}	Pa	Scheinbare Schubspannung	11
Δp	bar	Druckdifferenz über die Testdüse	11
p_E	bar	Druck am Düseneingang	11
p_A	bar	Druck am Düsenausgang	11
$\dot{\gamma}$	$\frac{1}{s}$	Scherrate	11
m	—	Fließexponent	12

Symbol	Einheit	Erklärung	Seite
ϕ	—	Fluidität	12
η_0	$Pa \cdot s$	Plateau- oder Nullviskosität	13
$\dot{\gamma}_{lim}$	$\frac{1}{s}$	Scherrate der Stabilitätsgrenze	14
\bar{p}	bar	Mittlerer Druck	14
ν_{max}	Hz	Maximale Abtastrate	16
ν_{mes}	Hz	Größte Frequenz im Messsignal	16
$\nu_{Nyquist}$	Hz	Nyquistfrequenz	16
ν	Hz	Frequenz	16
ν_{over}	Hz	Frequenz des Oversamplings	19
$f(t), g(t)$	—	Beliebige Zeitfunktion	21
$F(\omega)$	—	Fouriertransformierte von $f(t)$	21
ω	$\frac{Radian}{s}$	Kreisfrequenz	21
a_n, b_n	—	Fourierkoeffizienten	21
A_n, B_n, C_n	—	Fourierkoeffizienten	22
T	s	Zeitintervall	21
$A(\omega)$	—	Frequenzgang	25
$\varphi(\omega)$	—	Phasengang	25
τ	s	Korrelationszeit	29
$S_{FF}(\omega)$	—	Spektrale Leistungsdichte von $F(\omega)$	29
$R_{ff}(\tau)$	—	Autokorrelationsfunktion von $f(t)$	29
$r_{ff}(\tau)$	—	Diskrete Autokorrelationsfunktion	30
$c_{ff}(\tau)$	—	Diskrete Autokovarianzfolge	32
$s_{ff}(\tau)$	—	Diskrete spektrale Leistungsdichte	34
$\Delta\nu$	Hz	Frequenzschrittweite	34
$f_d(t)$	bar	Polynomapproximation für die Drift	43

Kapitel 1

Einführung

Polymere sind eine Gruppe von Materialien, die in allen industriellen Bereichen eingesetzt werden, z.B. Textilindustrie, Verpackungsmittelindustrie, Fahrzeugbau,... Eine prozentuale Darstellung des Einsatzes von Kunststoff¹ in Deutschland 2005 zeigt Abb. 1.1 von *PlasticsEurope e.V.*. Der weltweite Verbrauch liegt bei ca. 250 Mio t (2006). Die Verbrauchsquote bei Stan-

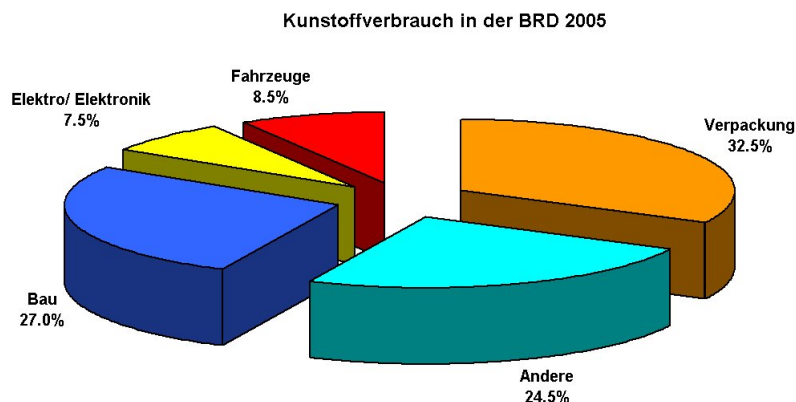


Abbildung 1.1: Prozentualer Verbrauch an Kunststoff in der BRD 2005. Insgesamt wurden 7,44 Mio. t Standard- und 1,70 Mio. t technische Kunststoffe verbraucht.

ardkunststoffen ist in 2004/2005 um 2% in der BRD gestiegen. Außerdem ist die Produktion von Kunststoffen seit 1960 stetig gestiegen und besonders die Standardkunststoffe haben einen großen Anteil daran (Abb. 1.2).

In der Industrie werden Polymere mit *Extrudern* (Abb. 1.3) verarbeitet. In diesen Maschinen werden Polymere geschmolzen, gemischt und schließlich durch eine Düse in Form gepresst. Während der Verarbeitung

¹Kunststoff= Polymer +Additive.

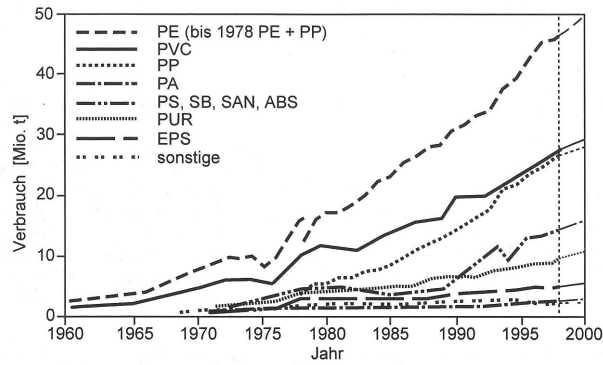


Abbildung 1.2: Weltweiter Verbrauch von Kunststoffen von 1960 bis 2000 in Mio. t. entnommen aus [12].

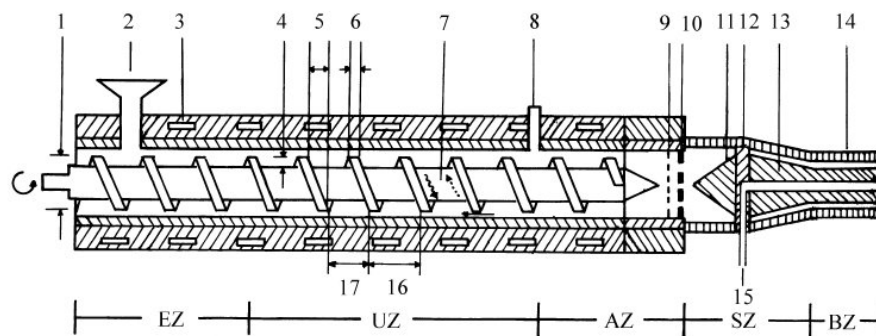


Abbildung 5.79: Schematische Darstellung eines Einschneckenextruders mit Längsspritzkopf
 1 Schneckendurchmesser, 2 Einfüllöffnung, 3 Kühl- bzw. Heizelemente, 4 Gangtiefe, 5 Steigungswinkel, 6 Stegbreite, 7 Druck-, -- Schlepp-, — Leckströmung, 8 Entgasungsöffnung, 9 Sieb, 10 Lochscheibe (Brecher), 11 Verdränger, 12 Dornhalter, 13 Dorn, 14 Hülse (Mundstück), 15 Stützluftzufuhr, 16 Steigung, 17 Gangbreite, EZ Einzugszone; UZ Umwandlungszone (Kompressionszone); AZ Ausstoßzone (Meteringzone); SZ Schmelzzone; BZ Bügelzone (Profilierungszone)

Abbildung 1.3: Prinzipskizze eines Extruders entnommen aus [22].

von Polymeren in Extrudern tritt infolge von zu hohen Verarbeitungsgeschwindigkeiten das Problem der mechanischen Instabilitäten auf. Dies äußert sich zuerst, aber meist unerkannt, in der Düse als Druckfluktuationen. Als sichtbarer Effekt erscheinen die mechanischen Instabilitäten, wenn das Polymer, als *Extrudat*, die Düse verlässt. Seine Oberfläche ist nicht mehr glatt, sondern rau. In vielen Anwendungen ist dieser Mangel an Oberflächenqualität nicht akzeptabel. Deswegen muss die Bearbeitungsgeschwindigkeit herab gesetzt werden. Damit wird in der gleichen Zeit weniger Produkt hergestellt und das erhöht die Kosten. Für die Verarbeitung von Kunststoffen kann die Industrie auf empirische Werte zurückgreifen, doch diese sind häufig

1. nicht optimiert und
2. für neue Materialien oder Mischungen bekannter Materialien und Additive nur unzureichend bekannt.

Deshalb bietet es sich an die mechanischen Instabilitäten während der Verarbeitung zu detektieren. Längerfristiges Ziel wäre es einen sich selbst steuernden Extruder ("Smart-Extruder") zu bauen. Dieser würde seine Bearbeitungsgeschwindigkeit an das jeweils zu verarbeitende Polymer anpassen. Ziel dieser Diplomarbeit ist es, erste Vorarbeiten zur Datenerfassung und Analyse an einem Kapillarrheometer durchzuführen.

1.1 Aufbau der Arbeit

Diese Arbeit gliedert sich wie folgt.

In Kap. 1.1 werden die allgemeinen Grundkenntnisse für das Verständnis dieser Arbeit zusammengestellt. Kap. 2.1 stellt die Funktionsweise, technische Umsetzung und nötigen Formeln der Kapillarrheometrie vor. Diesem folgt in Kap. 2.2 eine Beschreibung der Oberflächen Phänomene von extrudierten Polymeren. Kap. 2.3 erklärt die wichtigsten Regeln zur Datenerfassung. Ziel dieser Arbeit ist es die Druckfluktuationen zu charakterisieren. Die Datenanalyse geschah mit Hilfe der *Fourier Transformation* und *Autokorrelationsfunktion*. Den mathematischen Hintergrund präsentiert Kap. 2.4. Der Versuchsaufbau, die Durchführung der Versuche und Analysen wird in Kap. 3 beschrieben. Das Kap. 4 summiert die Mess- und Analyseergebnisse. In Kap. 5 folgt eine kritische Diskussion der Resultate in wieweit ein solcher "Smart-Extruder" prinzipiell möglich ist und welche Einschränkungen sich ergeben.

Kapitel 2

Grundlagen und Theorie

Dieses Kapitel bildet die theoretische Basis zum Verständnis dieser Arbeit. Es wird auf die der Thematik entsprechenden Mechanik, Mathematik und Messtechnik eingegangen. Mit diesen Hilfsmitteln wurden die Ergebnisse aus Kap. 4 zugänglich gemacht.

2.1 Funktionsprinzip von Kapillarrheometern

Kapillarrheometer dienen zur Untersuchung der Eigenschaften von Newtonschen oder nicht Newtonschen Flüssigkeiten. Besonders interessant sind die Fließ- und Viskositätskurven. Diese stellen die scherratenabhängige Viskosität dar. Am häufigsten werden Kapillarrheometer für die Untersuchung von Polymerschmelzen eingesetzt. Die ermittelten Messergebnisse liefern dabei "scheinbare" Werte, welche sich aber über Korrekturgleichungen von *Bagley* [1] und *Weissenberg/ Rabinowitsch* [27] auf die absoluten Werte umrechnen lassen. Der Messbereich des Kapillarrheometers deckt die Lücke des Messwertbereichs zwischen den Rotationsrheometern und den Extrudern ab. Gute und kompakt zusammengefasste Informationen zur Kapillarrheometrie sind in [23] oder in [32] zu finden.

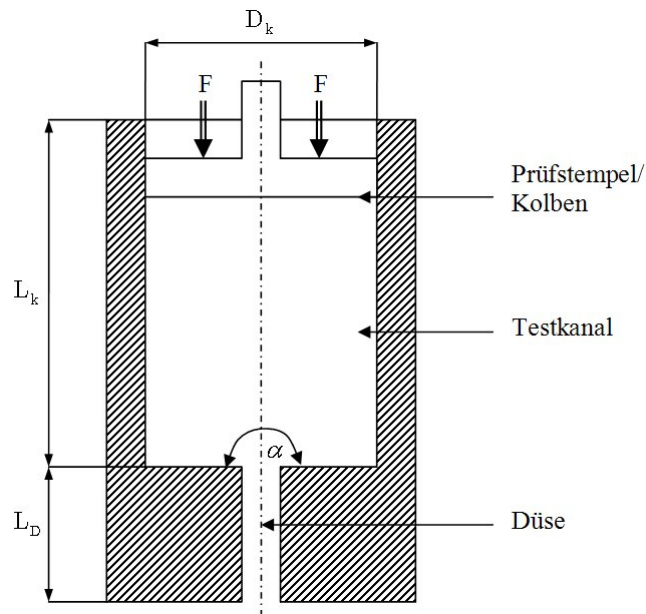


Abbildung 2.1: Prinzipskizze eines Kapillar-Rheometers mit den charakteristischen Abmessungen.

2.1.1 Aufbau

Der konkreten Aufbau eines *Kapillarrheometers* besteht aus drei Hauptbaugruppen (Abb. 2.1):

Düse, sie dient zum Erzeugen des zu untersuchenden Strömungsverhaltens bzw. Materialbeanspruchung (Schubspannung τ_{xy} und Scherrate $\dot{\gamma}$). Drei Bauformen werden häufig eingesetzt und sind kommerziell leicht erhältlich

- Kreisdüse (Abb. 2.2.a),
- Schlitzdüse (Abb. 2.2.b) und
- Ringspaltdüse (Abb. 2.2.c).

Testkanal, in ihm wird das Testmaterial bezüglich Druck und Temperatur homogenisiert. D.h. bevor das Material in die Düse gelangt, muss gewährleistet sein, dass an jeder Stelle im Material die selben thermodynamischen Bedingungen (Temperatur ϑ und Druck p) herrschen. Konstruktiv werden Testkanäle als Hohlzylinder ausgeführt. Die Beladung des Zylinders mit dem Probenmaterial erfolgt entweder manuell per Handeinfüllung oder maschinell per Einspritzung mit dem Extruder.

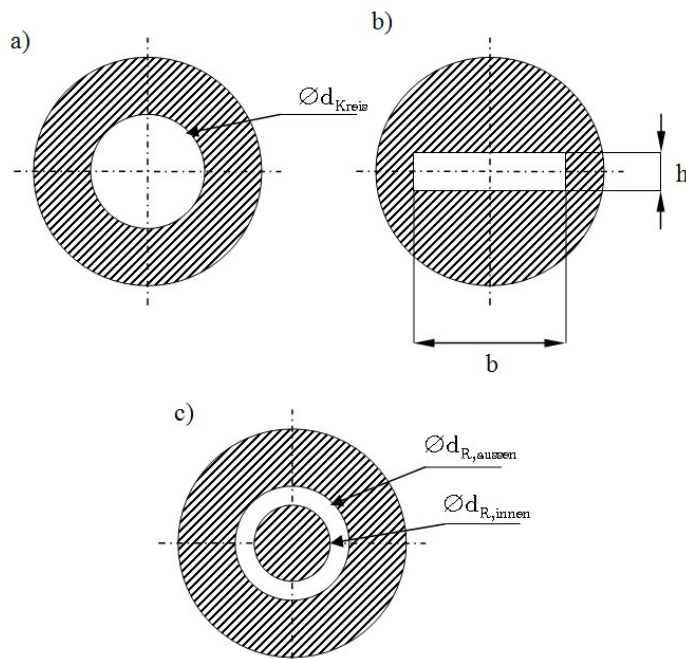


Abbildung 2.2: Verschiedene Düsenformen: a) Kreisdüse, b) Schlitzdüse und c) Ringspaltdüse.

Druckerzeugung, damit das Probenmaterial durch die Düse fließt muss Druck im Testkanal erzeugt werden. Dafür gibt es zwei handelsüblich Konstruktionsprinzipien

- Schnecken- oder Spindeltrieb des Prüfkolbens oder
- Gasdruck auf Prüfkolben.

Ein weiterer Bestandteil von Kapillarrheometern ist häufig eine Heizung, um die Düse und den Testkanal auf eine gewünschte Testtemperatur zu bringen.

2.1.2 Versuchsablauf

Der Testkanal wird auf die für die Messung benötigte konstante Temperatur vorgeheizt und das Testmaterial eingefüllt. Nach Erzeugen eines homogenen Zustandes mit einer Temperatur $\vartheta = \text{konst.}$ und einem Druck $p = \text{konst.}$ erreicht, erfolgt die Messung. Dazu bewegt sich der Kolben nach unten. Zur Erzeugung der Bewegung gibt es zwei prinzipiell unterschiedliche Bauarten:

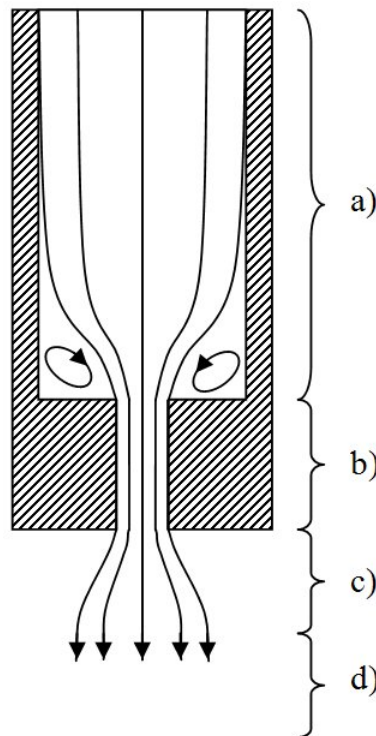


Abbildung 2.3: Stromlinienverlauf im Kapillarrheometer mit $\alpha = 180^\circ$ (vgl. Abb. 2.1), während der Messung: a) Strömung im Testkanal, b) Strömung in der Düse, c) Strömung am Düsenaustritt und d) Strömung des erstarrten Materials. Auffallend sind die Wirbel am Düsenaustritt.

Konstanter Druck: Der Kolben wird mit einer konstanten Kraft in Richtung Düse gedrückt. Im gesamten Testmaterial entsteht dadurch ein konstanter, voreingestellter Druck.

Konstante Kolbengeschwindigkeit: Der Kolben wird mit einer konstanten definierten Geschwindigkeit in Richtung Düse bewegt. In der Düse wird dadurch eine konstante Scherrate erzeugt.

Dem Versuchsaufbau mit der konstant gewählten Kolbengeschwindigkeit ist ein kontinuierlicher Scherratenbereich zugänglich. Durch die Bewe-

gung des Kolbens wird im Material Druck aufgebaut, wodurch es anfängt zu fließen und durch die Düse gepresst wird. In Abb. 2.3 sind typische Strömungsverhältnisse in dem Kapillarheometer eingezeichnet. Besonders auffallend ist die Wirbelbildung in den Ecken. Diese können in Verbindung mit dem jeweiligen Materialverhalten die Strömung in der Düse stark beeinflussen. In [2] ist beschrieben, wie diese Wirbel in Kombination mit dem viskoelastischen Verhalten von Polyethylen (PE)-Schmelzen¹ die Strömung verändern. Um diesen Effekt zu vermeiden oder zu minimieren muß die Düsenlänge L_D groß genug gewählt sein im Vergleich zur charakteristischen Größe der Düse D_{Duese} . Als Richtlinie gilt $D_{Duese} \ll L_D$, typischerweise $\frac{L_D}{D_{Duese}} > 10$. Alternativ kann auch der Düsen Eintrittswinkel α verkleinert werden.

¹Die Rheologie von Polymerschmelzen wird in [21] behandelt.

2.1.3 Auswertung

Die Strömung innerhalb der Geometrie des Kapillarrheometers lässt sich annähernd durch eine *Poiseuille Strömung* [33] beschreiben. Die Poiseuille Strömung gehört zu den laminaren Strömungen. Folgende Annahmen gelten für die Poiseuille Strömung:

1. das Testmaterial ist ein Kontinuum,
2. die *Reynoldszahl*² $Re \ll 1$, d.h. es liegt eine laminare Strömung vor,
3. die Strömung ist vollends ausgebildet, d.h. $\frac{\partial v}{\partial t} = 0$ und $p' = \frac{\partial p}{\partial z} = konst.$,
4. die Strömung ist inkompressibel ($\rho = konst.$, $\frac{\partial \rho}{\partial p} = 0$),
5. die Strömung ist *isotherm* ($\vartheta = konst.$) und
6. es liegt Wandhaftung vor (Abweichungen werden mittels *Weissenberg/Rabinowitsch* korrigiert).

Abb. 2.4 zeigt typische Geschwindigkeitsprofile in dem Kapillarrheometer. Im Bereich a) und b), also innerhalb des Rheometers, haben die Geschwindigkeitsprofile die typische Parabelform einer Poiseuille Strömung. Nach dem Verlassen des Kanals Abb. 2.4 Bereich c) ist die Schmelze noch flüssig, aber die Wandhaftung fehlt. Damit ist ihre Geschwindigkeit überall von Null verschieden. Das Geschwindigkeitsprofil geht dann mit der Erstarrung der Schmelze in eine Festkörperbewegung über (Abb. 2.4.d). Die sich einstellenden Strömungsprofil wurden in [25] und [31] mittels Laser-Doppler-Velocimetrie untersucht. Die Strömung wird durch die Kolbenbewegung verursacht. Der Kolben verdrängt je inkrementellen Zeitschritt Δt seiner Bewegung ein Volumenelement der Größe ΔV . Die *Volumenänderungsrate* oder der *Volumenfluss* ist $\dot{V} = \frac{dV}{dt}$. Mit Hilfe der *Kontinuitätsgleichung*³ gilt

$$\dot{V} = A_K \cdot v_{Kolben}. \quad (2.1)$$

Die Querschnittsfläche des zylindrischen Testkanals ist

$$A_k = \frac{D_k^2}{4} \pi. \quad (2.2)$$

Die Kolbengeschwindigkeit v_{Kolben} ist eine vom Experimentator vorgegebene Größe. Damit lässt sich die *scheinbare Scherrate*⁴ $\dot{\gamma}_{ap}$ für eine Schlitzdüse

² $Re = \frac{v D_{duesel} \rho}{\eta}$

³Kontinuitätsgleichung: $\frac{d\rho}{dt} = konst.$.

⁴apparent engl. scheinbar

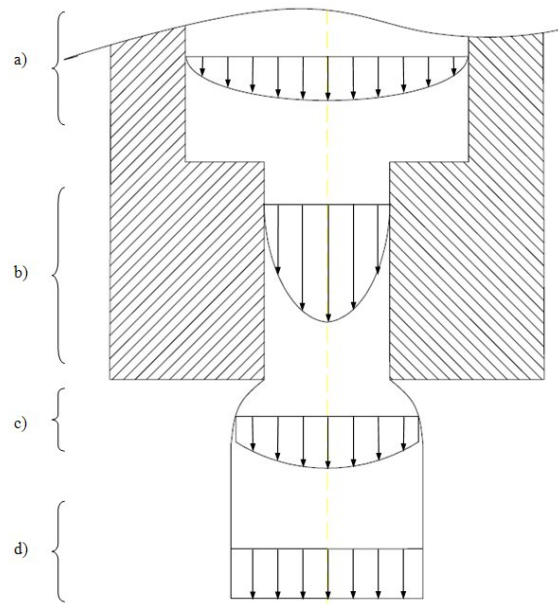


Abbildung 2.4: Geschwindigkeitsprofile an den verschiedenen Stellen in dem Kapillarrheometer: a) Strömung im Testkanal, b) Strömung in der Düse, c) Strömung am Düsenaustritt mit Strangaufweitung und d) Strömung des erstarrten Materials.

schreiben als

$$\dot{\gamma}_{ap} = \frac{6\dot{V}}{bh^2}. \quad (2.3)$$

Der Quotient aus Schubspannung und Scherrate ist die *Viskosität* η . Die *scheinbare Viskosität* ist damit gegeben zu

$$\eta_{ap} = \frac{\tau_{ap}}{\dot{\gamma}_{ap}}. \quad (2.4)$$

In Gl. 2.4 fehlt die *scheinbare Schubspannung*. Der Druckverlust $\Delta p = p_E - p_A$, der sich über der Düse einstellt, ist zu τ_{ap} proportional. Daraus folgt, dass

$$\tau_{ap} = \Delta p \frac{h}{2L_D}. \quad (2.5)$$

p_E und p_A sind die Druckwerte jeweils am Eintritt der Düse und der Umgebungsdruck. Es ist möglich, mittels einer einfachen Korrektur, aus den scheinbaren Größen die reale Scherrate zu bestimmen. Das dazu verwendete Korrektungsverfahren geht auf *Weissenberg/Rabinowitsch* [27] zurück. Für die Schlitzdüse ergibt sich dies wie folgt

$$\dot{\gamma} = \frac{2}{3}\dot{\gamma}_{ap} + \frac{1}{3}\tau_{ap} \frac{d\dot{\gamma}_{ap}}{d\tau_{ap}}. \quad (2.6)$$

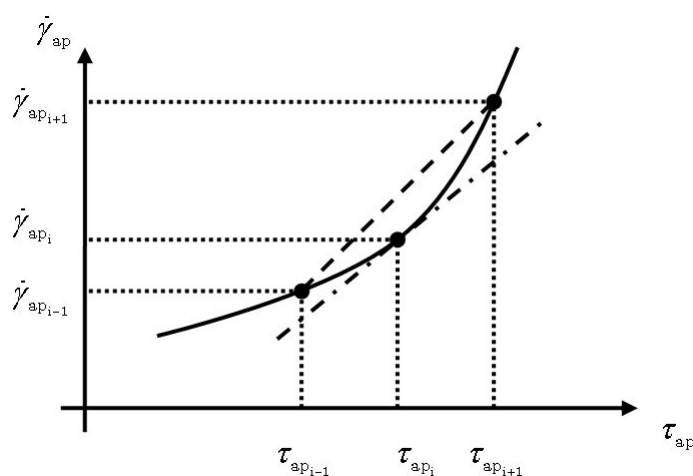


Abbildung 2.5: Schematische Darstellung der Weissenberg/Rabinowitsch Korrektur.

Für die Korrektur der Messwerte wird die Gl. (2.6) umgeschrieben zu

$$\dot{\gamma}_i = \frac{2}{3}\dot{\gamma}_{ap_i} + \frac{1}{3}\tau_{ap_i} \frac{\dot{\gamma}_{ap_{i+1}} - \dot{\gamma}_{ap_{i-1}}}{\tau_{ap_{i+1}} - \tau_{ap_{i-1}}} \quad (2.7)$$

mit $i = [1, N]$. Dies ist in Abb. 2.5 zu sehen. Für $i = 1$ und $i = N$ gelten vereinfachte Gleichungen,

$$\dot{\gamma}_1 = \frac{2}{3}\dot{\gamma}_{ap_1} + \frac{1}{3}\tau_{ap_1} \frac{\dot{\gamma}_{ap_2}}{\tau_{ap_2}}, \quad (2.8)$$

$$\dot{\gamma}_N = \dot{\gamma}_{ap_{N-1}} \frac{\dot{V}_N}{\dot{V}_{N-1}}. \quad (2.9)$$

Repräsentation der Viskosität durch analytische Fließkurven

Im Folgenden wird auf drei Ansätze, die scherratenabhängige Viskosität (*Fließkurve*) durch analytische Funktionen beschreiben, beschrieben. Damit ist es möglich, die scherratenabhängige Viskosität durch wenige Parameter zu beschreiben und Materialien einfach zu verstehen. Diese Ansatzfunktionen wurden [3] entnommen.

Ostwald/de Wael'sche Potenzansatz [26]

$$\dot{\gamma} = \phi \cdot \tau_{xy}^m \quad (2.10)$$

Es ist $\phi = \hat{\phi}(\vartheta)$ die *Fluidität*. Sie ist eine stoffspezifische Größe. Hierbei ist m der *Fließexponent*. Mit der Gleichung

$$\eta = \frac{\tau_{xy}}{\dot{\gamma}} \quad (2.11)$$

lässt sich die Viskosität schreiben als

$$\eta = \phi^{-\frac{1}{m}} \dot{\gamma}^{\frac{1}{m}-1}. \quad (2.12)$$

Der Nachteil dieses Ansatzes ist, dass er meist nur für einen begrenzten Bereich von $\dot{\gamma}$ gültig ist.

Carreau Ansatz [8]

$$\tau_{xy} = \frac{\eta_0 \cdot \dot{\gamma}}{(1 + b |\dot{\gamma}|)^c}. \quad (2.13)$$

Mit Gl. 2.11 ergibt sich für die Viskosität

$$\eta = \frac{a}{(1 + b |\dot{\gamma}|)^c}. \quad (2.14)$$

Der Vorteil dieses Modells liegt in seinen physikalisch sinnvollen Konstanten der Plateauviskosität η_0 [Pas], einer Relaxationszeit b [s] und einem Skalenparameter c [-]. Für Messungen bei geringer Scherrate (mit $\dot{\gamma} \rightarrow 0$) entspricht $a \approx \eta_0$ der *Nullviskosität*⁵.

Münsted'scher Polynomansatz Der Münstedt'sche Ansatz aus [24] beruht auf der Darstellung der Viskosität durch ein Polynom vom Grad vier:

$$\lg \eta = \sum_{k=0}^4 A_k (\lg |\dot{\gamma}|)^k. \quad (2.15)$$

In dieser Gleichung haben die Koeffizienten A_k keine direkte physikalische Interpretation. Das Verhalten bei den Grenzübergängen ist

$$\dot{\gamma} \rightarrow 0 \Rightarrow \eta \rightarrow \infty, \quad (2.16)$$

$$\dot{\gamma} \rightarrow \infty \Rightarrow \eta \rightarrow 0. \quad (2.17)$$

Es kann ein breiter Bereich an Scherrgeschwindigkeiten abgedeckt werden..

⁵Die *Nullviskosität* von Schmelzen hängt stark von dem Molekulargewicht ab, $\eta_0 = K \cdot \bar{M}_w^{a'}$, $a' = 3, 4$.

2.2 Mechanische Instabilitäten

Während der Extrusion von PE-Schmelzen kann in Abhängigkeit der Scherrate $\dot{\gamma}$ der Druck in der Düse fluktuieren (siehe Abb. 2.6).

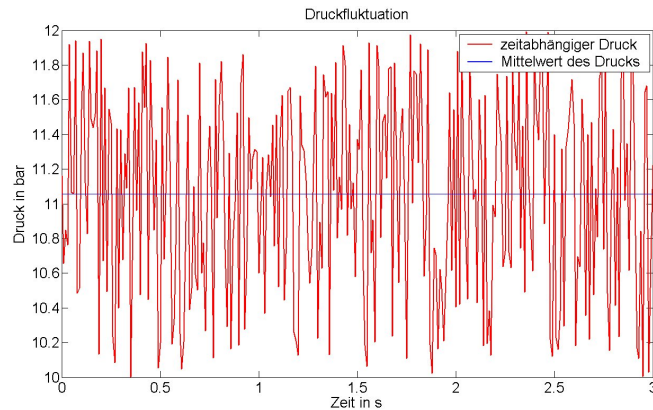


Abbildung 2.6: Computergenerierte Fluktuationen des Drucks in einer beispielhaften Darstellung. Die rote Kurve beschreibt den Druck und die blaue Kurve beschreibt den mittleren Druck.

Das sichtbare Resultat dieser *Druckfluktuationen* ist die Oberflächenbeschaffenheit des Extrudats. Bei niedrigen Scherraten bleibt die Oberfläche glatt. Dies ist der produktionstechnisch gewünschte Zustand. Nach dem Erreichen einer Grenzscherate $\dot{\gamma}_{lim}$ treten Fließanomalien auf. Es sind auf der Oberfläche zunächst periodische Oberflächenzerwürfnisse zu sehen. Ihre Ursache wird in [39] und [10] diskutiert. Bei niedrigen Fluktuationen des Druckes um den mittleren Druck \bar{p} heißt dieses Phänomen *Sharkskin*⁶. Für größere Scherraten geht dieser Effekt in einen Bereich über, in dem glatte und raue Oberflächen sich periodisch abwechseln. Dieser Effekt heißt *Stick-Slip*. Die Druckfluktuationen sind dabei wesentlich größer, als noch beim Sharkskin Effekt. Als letzte differenzierbare Erscheinungsform der Polymerschmelze taucht *Gross Melt-Fracture*⁷ auf. Dies ist erkennbar an den unregelmäßig geformten Oberflächen des Extrudats. Die Abhängigkeit der Scherrate von der Schubspannung beschreibt [10] durch die Abb. 2.7. Die Abb. 2.8 stellt die verschiedenen Stufen der Fließanomalien dar. Diese Abbildung ist [30] entnommen. Darin ist zu erkennen, dass bei Variation der Schubspannung, nicht alle Bereiche der Fließkurve erreicht werden. Die verschiedenen Fließanomalien sind in Abb. 2.7 verschiedenen Bereichen von Scherraten zu geordnet.

⁶Haifischhaut

⁷Im weiteren als Melt-Fracture bezeichnet.

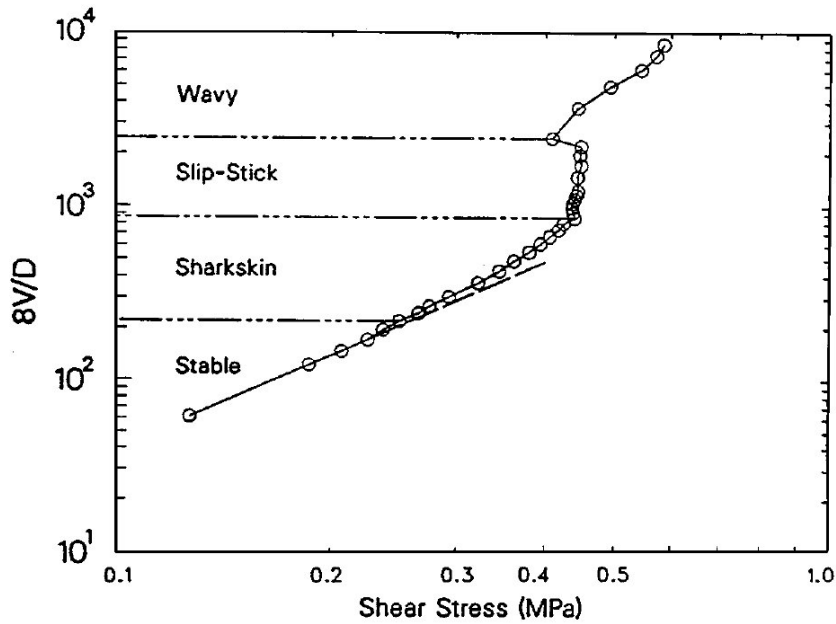


Abbildung 2.7: Beispiel für Fließkurven aus [10].

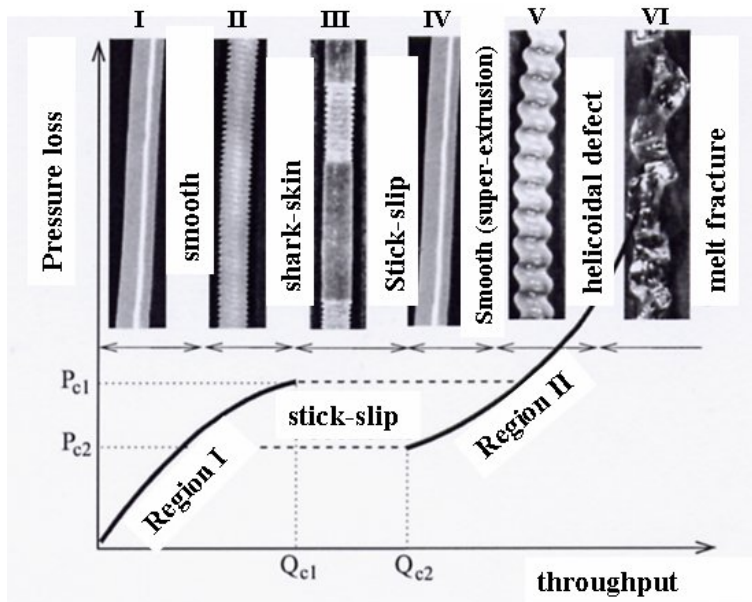


Abbildung 2.8: Darstellung des zeitabhängigen Drucks und die zugehörigen Fließanomalien aus [30].

2.3 Datenerfassung

Die gewonnenen Messdaten müssen analysiert werden. Das Aufzeichnen und Analysieren der Messdaten wird heute z.B. mit einem Rechner durchgeführt. Zunächst ist ein geeignetes Experiment nötig, das denn gewünschten Effekt ohne störende Abhängigkeiten zeigt. Dann werden geeignete *Messsensoren* angeschlossen, die das physikalische Signal detektieren können und in ein analoges elektrisches Signal umwandeln. Da dieses Signal meistens relativ schwach ist wird es zunächst einem *Messverstärker* zugeführt, um es von diesem verstärken zu lassen. Das resultierende Signal gelangt danach zu einem *Analog/Digital Wandler (A/D-Wandler)*, indem das analoge Signal in ein digitales Signal umgewandelt wird. Nur dieses kann der PC speichern oder analysieren. Dieser Ablauf von dem Experiment bis hin zum PC, nennt man die *Messstrecke*. Ein Blockschaltbild der Messstrecke ist in Abb. 2.9.a zu sehen. Außerdem zeigt Abb. 2.9.b eine beispielhafte Belegung der einzelnen Blöcke

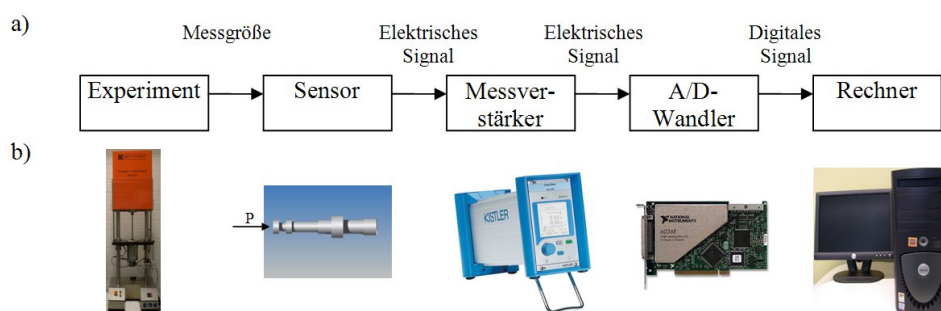


Abbildung 2.9: Beispiel einer Messstrecke, wie sie bei dem hier durchgeführten Experimenten üblich ist. a) Symbolische Darstellung und b) exemplarische Bilder zu dem jeweiligem Symbol.

Die zeitliche Auflösung Δt des digitalen Messsignals wird durch die maximale Abtastrate v_{max} unserer Messstrecke gegeben. Es ist in erster Linie eine für die Hardware (Sensor und A/D-Wandler) spezifische Größe. Die Größe von v_{max} muss in einem besonderem Verhältnis zu der größten im Signal enthaltenen Frequenz v_{mes} stehen. Diese Verhältnis ist gegeben durch das *Shannon'sche Abtasttheorem* ([19] und [20])

$$v_{max} > 2v_{mes}. \quad (2.18)$$

Die Frequenz, die maximal möglich ist zu detektieren wird als *Nyquistfrequenz* $v_{Nyquist}$ bezeichnet. In Abb. 2.11 ist die Wichtigkeit des Shannon'schen Abtasttheorems dargestellt. Es werden bei ungenügender Abtastung fälschlicherweise hohe Frequenzen ($v > v_{Nyquist}$) in den Bereich der niedrigeren Frequenzen abgebildet. Dieser Effekt heißt fachlich *Aliasing*.

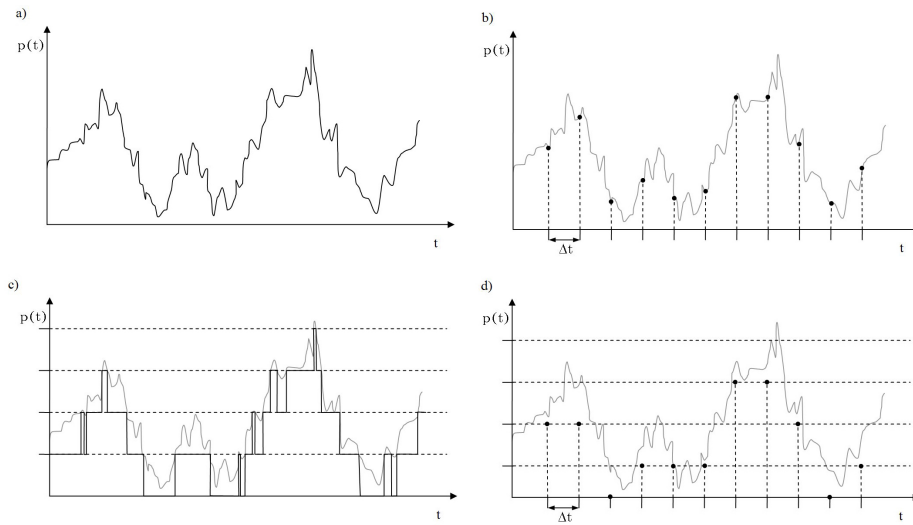


Abbildung 2.10: Darstellung der Quantisierung und der diskreten Abtastung eines beispielhaften analogen Signales. Die Quantisierung erfolgt über eine Schwellwertdetektion (die gestrichelten Linien). Die Abbildung zeigt in a) das kontinuierliche analoge Signal, b) die diskrete äquidistante Abtastung, c) die Quantisierung (schwarz) und d) die Quantisierung und die äquidistante Abtastung des Signals. Die Punkte (●) repräsentieren Messpunkte und die graue gestrichelte (---) Linie repräsentiert das analoge Signal.

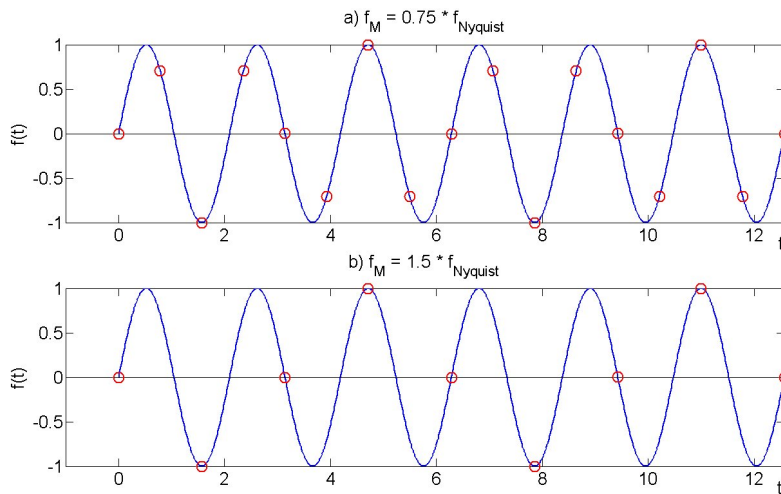


Abbildung 2.11: Aliasing. Einfluss der Abtastfrequenz auf das erfasste Signal. Abtastfrequenz a) erfüllt und b) erfüllt nicht das Shannon'sche Abtasttheorem. Die durchgezogene Linie (-) beschreibt das kontinuierliche Signal und der Kreis (○) beschreibt die abgetasteten Messpunkte.

Der AD-Wandler löst das Signal nicht nur zeitlich, sondern auch in der Amplitude diskret auf. Dies muss geschehen, da der Rechner nur digitale Signale weiterverarbeiten kann. Die Amplitude des analogen Signals wird in Stufen zerlegt. Dieser Vorgang nennt sich *Quantisierung*. Die Größenordnung der Quantisierung muss den Bedürfnissen entsprechend gewählt werden. Die Probleme, die sich dabei ergeben können, zeigt die Abb. 2.12. Die Amplitude des Messsignals enthält die gesuchte Information, aber auch

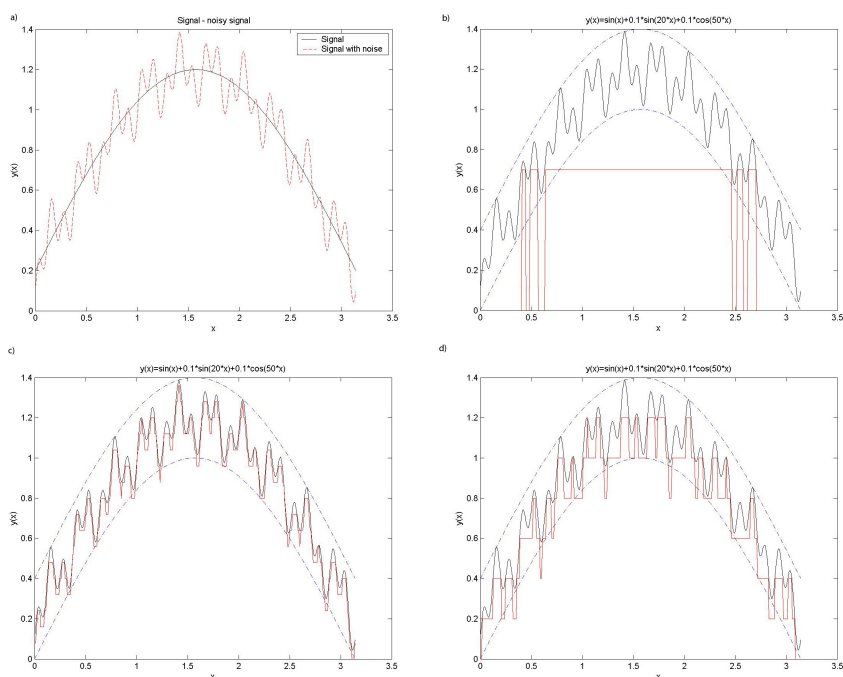


Abbildung 2.12: Einfluss der Quantisierung auf das digitale Signal. a) Darstellung vom physikalischen Signal und gestörten Signal, b) zu grobe Quantisierung (Informationsverlust), c) zu feine Quantisierung (Informationsüberschuß) und d) ausreichend gute Quantisierung. In a) ist die Rote gestrichelte Linie das Signal mit Rauschen und die schwarze Linie das physikalische Signal. In b-d) ist die schwarze Kurve das Signal mit Rauschen und die rote Linie ist das digitalisierte Signal.

hochfrequentes Messrauschen, wie in Abb. 2.12.a zu sehen ist. Durch eine zu grobe Quantisierung (z.B. Abb. 2.12.b) wird das Rauschen unterdrückt. Gleichmaßen entsteht ein Informationsverlust. Bei einer zu feinen Quantisierung wird sogar noch das hochfrequente Messrauschen gut detektiert. Es liegt ein Überschuss an Informationen vor, der zwar keine Fehler erzeugt, aber eine nicht vorhandene Genauigkeit vortäuscht. Ein guter Mittelweg ist es die Quantisierung in den Größenbereich des Rauschens zu legen, wie es beispielhaft in Abb. 2.12.d geschehen ist. Dies gilt in Fällen in denen das hochfrequente Messrauschen und das erwartete Signal in verschiedenen Größenordnungen liegen. Ist das Messrauschen aber in

der Größenordnung des Signals sollte das Rauschen auch noch ausreichend quantisiert sein.

Es gibt noch eine weitere Methode das hochfrequente Rauschen im Messsignal zu unterdrücken. Diese Methode heißt *Oversampling*. Oversampling hat die Eigenschaft eines adaptiven Tiefpassfilters. In einer Messung wird jetzt nicht jeder Messwert gespeichert, sondern es wird über eine Anzahl von N Werten jeweils gemittelt und nur der gemittelte Wert⁸ wird festgehalten. Für stochastisch verteiltes Rauschen ein partiell destructives Verhalten. Dieses Verfahren ist nur für Messungen sinnvoll, in denen die Anzahl an Messpunkten ausreichend groß ist. Außerdem muss die "Oversampling" Frequenz ν_{Over} auch dem Shannon'schen Theorem genügen. Der klare Vorteil dieser Vorgehensweise ist die Verbesserung des *Signal-to-Noise Ratio* (SNR). Zudem ist der Speicherbedarf um den Faktor n geringer.

Beispiel Abb. 2.13.a zeigt ein sinusförmiges Signal, dem zunächst Rauschen überlagert ist. Durch das Anwenden der Oversampling Methode wird der Anteil vom Rauschen am Signal in Abb. 2.13.b-d mit zunehmender Anzahl von gemittelten Punkten immer geringer.

⁸Ensemble Mittelung

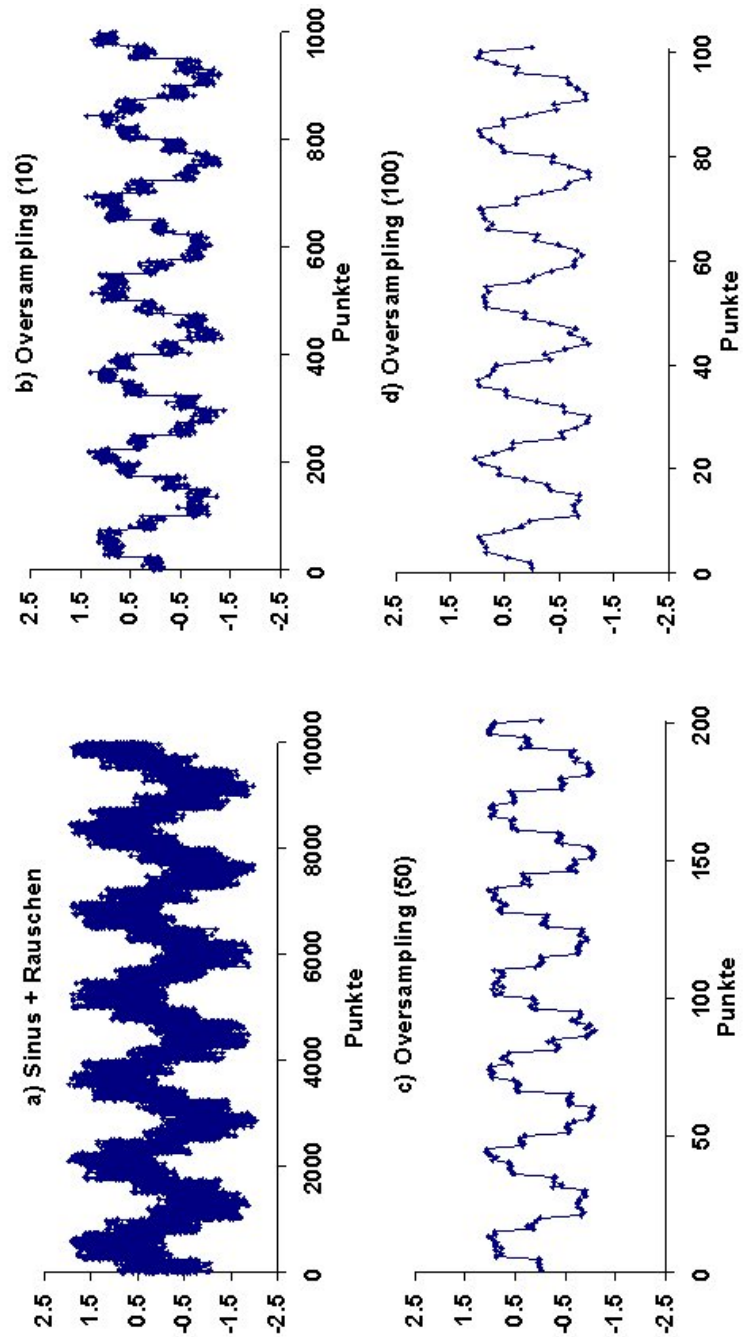


Abbildung 2.13: Der Einfluss von "Oversampling" auf die zeitabhängigen Daten. a) Signal mit Rauschen aber ohne Oversampling b)-d) Oversampling b) Mittelung über jeweils x Punkte mit dem Abstand von x Punkten, $x = 10$, c) $x = 50$ und d) $x = 100$ Punkte. Die Punkte (●) entsprechen den Messpunkten.

2.4 Datenanalyse

Kap. 2.3 führte den Begriff der Messstrecke ein. Dieses Kapitel beschreibt die letzte Station der Messstrecke, den Rechner. Nach der Messung liegen die Messdaten in Form von Dateien auf dem Rechner. Nun ist es die Aufgabe von speziellen Programmen diese "Rohdaten" auszuwerten. Die mathematischen Verfahren stellt dieses Kapitel vor. Als Literatur für die Fourierreihe und die Fourier Transformierte sind [37], [7], [5], [28] und [19] zu nennen. Mit den diskreten Darstellungen der Fourierreihe, Fouriertransformation und der Autokorrelationsfunktion befasst sich ausgiebig [20] und [18].

2.4.1 Fourierreihe (FR)

Die *Fourierreihe* dient der Anwendung z.B. zeitabhängige Signale durch eine Superposition periodischer Funktionen darzustellen. Das unendliche Signal muss eine feste Periode T haben ([37], [6]). Ist das Signal endlich wird es periodisch fortgesetzt. D.h. die Periodendauer T ist dann die gesamte Signallänge.

Jedes Signal ist mittels der Superposition von periodischen Standardfunktionen darstellbar. Als solche Standardfunktionen dienen uns die trigonometrischen Funktionen. Damit ergibt sich die nach Jean-Baptist Joseph Fourier bezeichnete Fourierreihe einer Funktion zu

$$f(t) = \sum_{n=-\infty}^{+\infty} (a_n \cos(\omega_0 n t) + b_n \sin(\omega_0 n t)). \quad (2.19)$$

Dabei ist

$$\begin{aligned} n &\in \mathbb{N}, \\ \omega_0 &= 2\pi\nu_0 = \frac{2\pi}{T}. \end{aligned}$$

Es werden a_n und b_n *Fourierkoeffizienten* genannt. Sie werden mit den folgenden Gleichungen

$$a_0 = \frac{1}{\pi} \int_0^{2\pi} f(t) dt, \quad (2.20)$$

$$a_n = \frac{1}{\pi} \int_0^{2\pi} f(t) \cos(nt) dt, \quad (2.21)$$

$$b_n = \frac{1}{\pi} \int_0^{2\pi} f(t) \sin(nt) dt, \quad (2.22)$$

bestimmt. Aus den Symmetrieeigenschaften der trigonometrischen Funktionen⁹ vereinfacht sich die Darstellung der Fourierreihe zu

$$f(t) = \frac{A_0}{2} + \sum_{n=1}^{+\infty} (A_n \cos(\omega_0 n t) + B_n \sin(\omega_0 n t)). \quad (2.24)$$

Darin sind nun die Fourierkoeffizienten gegeben durch

$$\begin{aligned} A_n &= a_n + a_{-n}, \\ B_n &= b_n - b_{-n}. \end{aligned}$$

Die Fourierreihe lässt sich auch in komplexer Darstellung formulieren zu

$$f(t) = \sum_{n=1}^{+\infty} C_n e^{-i\omega_0 t} \quad (2.25)$$

mit dem Fourierkoeffizienten

$$C_n = \frac{1}{\pi} \int_0^{2\pi} f(t) e^{-i\omega_0 t} dt. \quad (2.26)$$

Beispiel: Für die Rechteckfunktion mit der Periodendauer $T = 4\pi$ sind in 2.14.a-d die Fourierreihe mit verschiedenen Ordnungen n dargestellt. Zu sehen ist, dass mit steigender Ordnung n die Fourierreihe immer besser die Ursprungsfunktion annähert. Auch mit steigender Ordnung n bleibt das Überschwingen der Fourierreihe erhalten. Dieses Phänomen heißt *Gibb'sches Phänomen*.

⁹Symmetrieeigenschaften der trigonometrischen Funktionen

$$\begin{aligned} \text{ungerade: } \sin(t) &= -\sin(-t), \\ \text{gerade: } \cos(t) &= \cos(-t), \end{aligned} \quad (2.23)$$

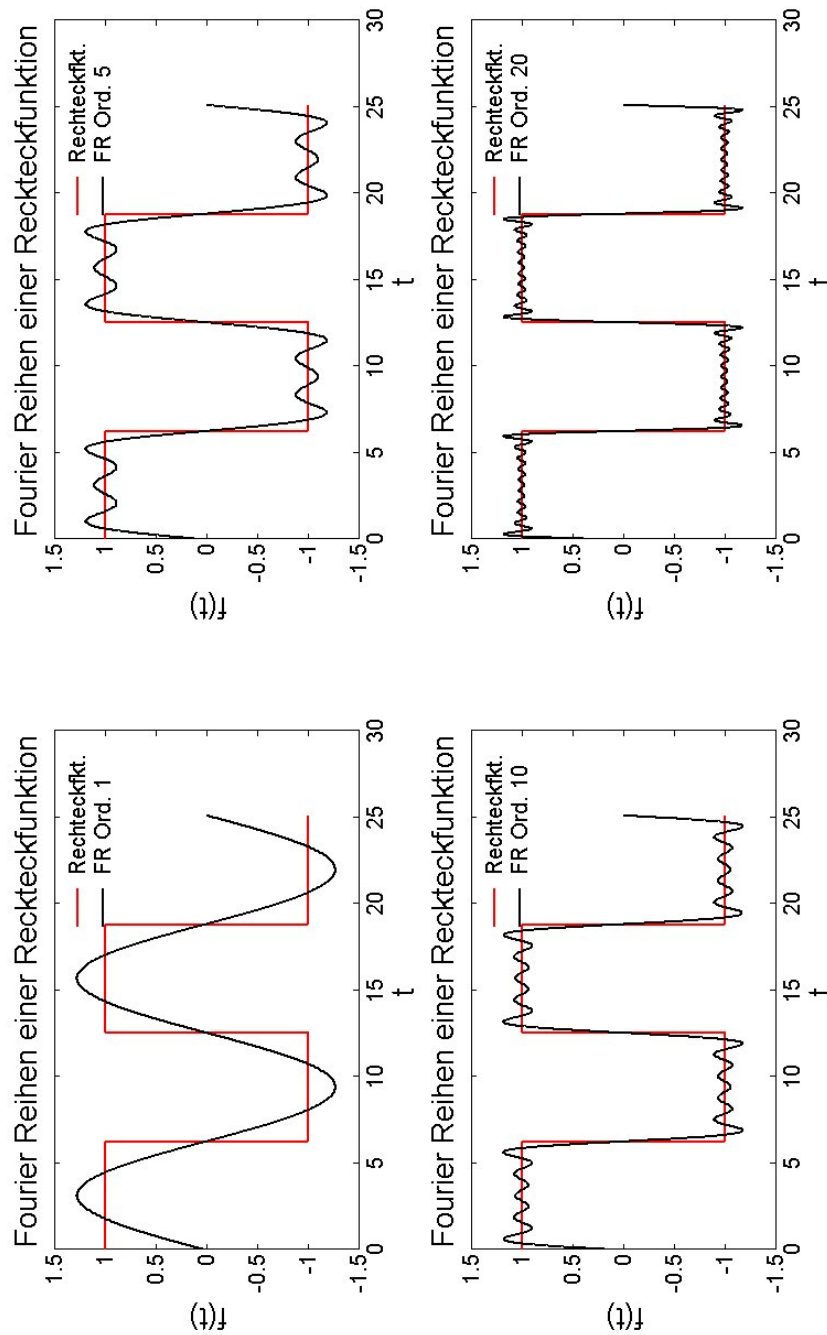


Abbildung 2.14: Fourier Reihe einer Rechteckfunktion mit verschiedener Ordnung
 a) $n = 1$, b) $n = 5$, c) $n = 10$ und d) $n = 20$. Die rote Linie kennzeichnet die Rechteckfunktion und die schwarze Linie kennzeichnet die zugehörige Fourierreihe.

2.4.2 Fourier Transformation (FT)

Für eine periodische Funktion mit einer Periodendauer $T < \infty$ war die Darstellung als Fourierreihe mit ihren diskreten Frequenzen ausreichend. Geht $T \rightarrow \infty$ (aperiodischer Fall), so wird aus der Summation eine Integration. Der diskrete Satz von Frequenzen wird durch einen kontinuierlichen Satz ersetzt. Diese neue Darstellung heißt *Fourier Transformation* oder *Fourier Integral* einer Funktion und wird definiert als

$$F(\omega) = \int_{-\infty}^{+\infty} f(t) e^{-i\omega t} dt. \quad (2.27)$$

Die Symmetrieeigenschaften von $f(t)$ gehen auf ihre Fourier Transformierte $F(\omega)$ über. Die Rücktransformation in den Zeitbereich ist analog zur Hintransformation zu bilden

$$f(t) = \frac{1}{2\pi} \int_{-\infty}^{+\infty} F(\omega) e^{+i\omega t} d\omega. \quad (2.28)$$

Es folgen einige wichtige Eigenschaften der FT. Dabei sei

$$\begin{aligned} f(t) &\leftrightarrow F(\omega), \\ g(t) &\leftrightarrow G(\omega), \\ a, b &\in \mathbb{R}. \end{aligned}$$

Linearitätstheorem:

$$a \cdot f(t) + b \cdot g(t) \leftrightarrow a \cdot F(\omega) + b \cdot G(\omega). \quad (2.29)$$

Erster Verschiebungssatz: Eine Verschiebung in der Zeit erzeugt eine Modulation in der Frequenz,

$$f(a - t) \leftrightarrow F(\omega) e^{-i\omega a}. \quad (2.30)$$

Zweiter Verschiebungssatz: Eine Modulation in der Zeit erzeugt eine Verschiebung in der Frequenz,

$$f(t) e^{-i\omega_0 t} \leftrightarrow F(\omega - \omega_0). \quad (2.31)$$

Skalierung: Bei einer Stauchung bzw. Streckung der Zeitachse folgt,

$$f(at) \leftrightarrow \frac{1}{|a|} F\left(\frac{\omega}{a}\right). \quad (2.32)$$

Parseval'sche Theorem:

$$\int_{-\infty}^{+\infty} f_1(t) \cdot f_2^*(t) dt = \int_{-\infty}^{+\infty} F_1(\omega) \cdot F_2^*(\omega) d\omega. \quad (2.33)$$

Das Symbol * bedeutet die konjugiert komplexe Variable. Ein relevanter Spezialfall des Parseval'schen Theorems ist

$$\int_{-\infty}^{+\infty} |f(t)|^2 dt = \int_{-\infty}^{+\infty} |F(\omega)|^2 d\omega. \quad (2.34)$$

FT einer Ableitung: Für die zeitliche Ableitung der Funktion $f(t)$ folgt,

$$FT(f'(t)) \leftrightarrow i\omega F(\omega). \quad (2.35)$$

Zur graphischen Darstellung eignen sich die Amplitude und die Phasenverschiebung. Die Amplitude

$$A(\omega) = |F(\omega)| = \sqrt{\operatorname{Re}\{F(\omega)\}^2 + \operatorname{Im}\{F(\omega)\}^2} \quad (2.36)$$

wird auch *Frequenzgang* genannt. Die Phasenverschiebung

$$\varphi(\omega) = \arctan\left(\frac{\operatorname{Im}\{F(\omega)\}}{\operatorname{Re}\{F(\omega)\}}\right) \quad (2.37)$$

trägt auch den Namen *Phasengang*.

2.4.3 Fenster Funktionen

Die Forderung der FT an die zu transformierende Funktion ist, dass sie stetig fortsetzbar ist. In der Anwendung ergeben sich häufig Funktionen oder Folgen von Datenpunkten, die sich nicht stetig fortsetzen lassen. Eine direkte Transformation dieser Funktionen oder Folgen ist ungünstig. Dies zeigt die Abb. 2.15. Der daraus resultierende Effekt wird *Leck-Effekt*

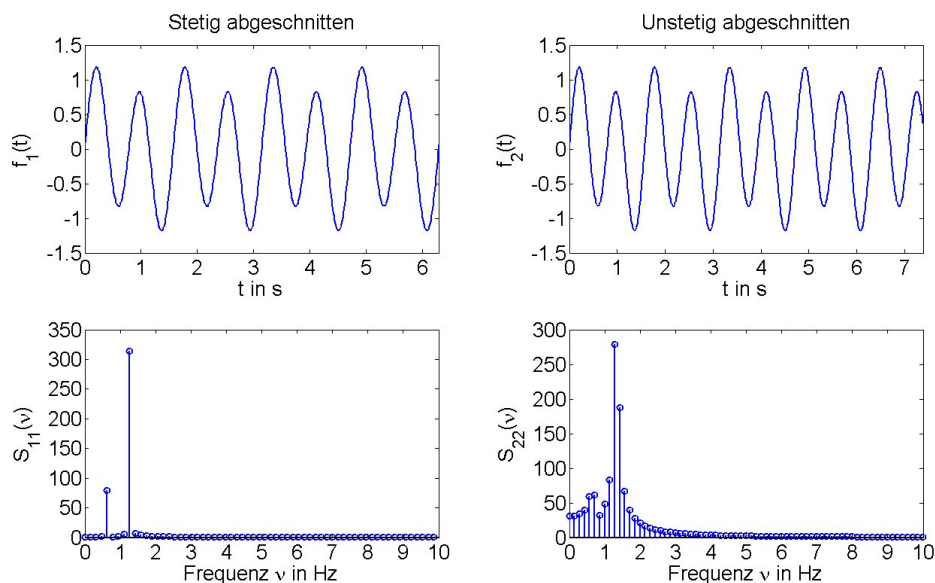


Abbildung 2.15: Beispiel für den Leck-Effekt. Oben Zeitsignal, unten FT des Signals. Links stetig fortsetzbare Funktion und rechts unstetig fortsetzbare Funktion.

genannt.

Um dies zu umgehen wird die zu transformierende Funktion mit einer *Wichtungs-* oder *Fensterfunktion* multipliziert. Fensterfunktionen sind immer gerade Funktionen, d.h. ihre FT hat keinen Imaginärteil. Für Qualität einer Fensterfunktion steht

- die Intensität der zentralen Spitze und
- die 3-dB Bandbreite.

Dabei sollte die zentrale Spitze möglichst viel Intensität enthalten, damit die *Seitenbänder* (Sidelobe) möglichst klein bleiben. Die 3-dB Bandbreite gibt an, in welchem Bereich die zentrale Spitze auf die Hälfte ihrer Intensität abgefallen ist. In Tab. 2.1 und 2.2 sind die Gleichungen für einige einfache Fensterfunktionen zu finden.

Tabelle 2.1: Fensterfunktionen im Zeitbereich.

Fenster	Zeitbereich
Rechteck	$f(t) = \begin{cases} 1, & -\frac{T}{2} \leq t \leq \frac{T}{2} \\ 0 & \text{sonst.} \end{cases}$
von Hann	$f(t) = \begin{cases} \cos^2 \frac{\pi t}{T}, & -\frac{T}{2} \leq t \leq \frac{T}{2} \\ 0 & \text{sonst.} \end{cases}$
Hamming	$f(t) = \begin{cases} a + (1-a) \cos^2 \frac{\pi t}{T}, & -\frac{T}{2} \leq t \leq \frac{T}{2} \\ 0 & \text{sonst.} \end{cases}$
Gauß	$f(t) = \begin{cases} \frac{1}{\sigma\sqrt{2\pi}} \exp -\frac{1}{2} \frac{t^2}{\sigma^2}, & -\frac{T}{2} \leq t \leq \frac{T}{2} \\ 0 & \text{sonst.} \end{cases}$

Tabelle 2.2: Fensterfunktionen aus Tab. 2.1 im Frequenzbereich.

Fenster	Frequenzbereich
Rechteck	$ F(\omega) ^2 = \left(\frac{\sin(\frac{\omega T}{2})}{\omega \frac{T}{2}} \right)^2$
von Hann	$F(\omega) = \frac{T}{4} \sin \left(\frac{\omega T}{2} \left(\frac{1}{\pi - \omega \frac{T}{2}} + \frac{2}{\omega \frac{T}{2}} - \frac{1}{\pi + \omega \frac{T}{2}} \right) \right)$
Hamming	$F(\omega) = \frac{T}{4} \sin \left(\frac{\omega T}{2} \left(\frac{1-a}{\pi - \omega \frac{T}{2}} + \frac{2(1+a)}{\omega \frac{T}{2}} - \frac{1-a}{\pi + \omega \frac{T}{2}} \right) \right)$
Gauß	$F(\omega) = \frac{1}{2} \exp(\sigma^2 \omega^2 / 4) \left(\operatorname{erfc} \left(-\frac{i\sigma^2 \omega^2}{\sqrt{2}} + \frac{T^2}{8\sigma^2} \right) + \operatorname{erfc} \left(\frac{i\sigma^2 \omega^2}{\sqrt{2}} + \frac{T^2}{8\sigma^2} \right) \right)$

2.4.4 Diskrete Fourier Transformation (DFT)

Für die messtechnische Anwendung ist die integrale Formulierung der FT zunächst wenig hilfreich. Während einer Messung werden diskrete Datenpunkte f_k aufgezeichnet und keine kontinuierliche Funktionen. Deswegen führen wir jetzt die *diskrete Fourier Transformation (DFT)* ein,

$$F_j = \frac{1}{N} \sum_{k=0}^{N-1} f_k e^{-\frac{i2\pi}{N}kj}. \quad (2.38)$$

Die Rücktransformation (FT^{-1}) wird gebildet mittels,

$$f_k = \sum_{j=0}^{N-1} F_j e^{\frac{i2\pi}{N}kj}. \quad (2.39)$$

Es gilt zu beachten, dass die Rücktransformation keinen Faktor $\frac{1}{N}$ mehr enthält!

Beispiel: In Abb.2.16 ist die diskrete Fourier Transformierte der Funktion $f(t) = \cos(20\pi t) + \sin(40\pi t)$ dargestellt. Sie ist mit der MATLAB¹⁰ Funktion `fft()` berechnet. Die Nyquistfrequenz ergibt sich aus den Parametern des Programms zu $\nu_{Nyquist} = 50$ Hz.

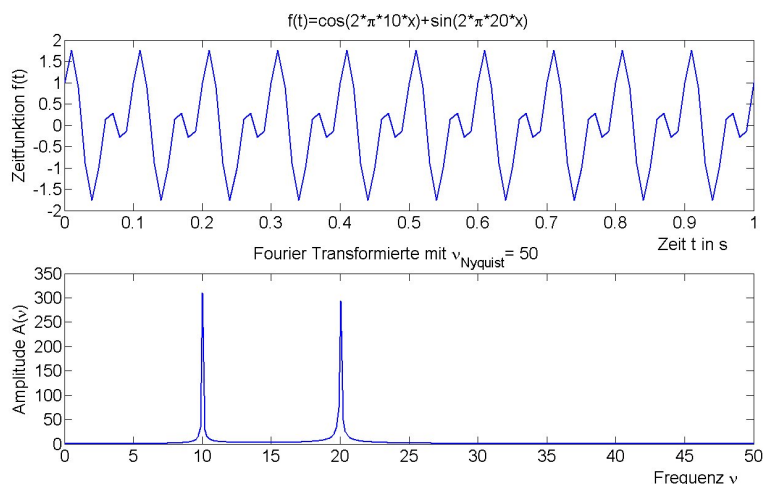


Abbildung 2.16: DFT einer Testfunktion: a) Testfunktion im Zeitbereich, b) Spektrum der Testfunktion im Frequenzraum.

¹⁰Eine interaktives System für numerische Berechnungen ([15]).

2.4.5 Spektrale Leistungsdichte (SLD)

Die in einem FT Spektrum enthaltene Leistung lässt sich durch die Funktion

$$S_{FF} = F^*(\omega) \cdot F(\omega) = |F(\omega)|^2 \quad (2.40)$$

darstellen. $S_{FF}(\omega)$ nennt man die *spektrale Leistungsdichte* oder auch das *Leistungsdichtespektrum*.

2.4.6 Autokorrelationsfunktion (AKF)

Die *Autokorrelationsfunktion* eines kontinuierlichen Signals $f(t)$ ist definiert zu

$$R_{ff}(\tau) = \frac{1}{2T} \int_{-T}^{+T} f(t) \cdot f(t - \tau) dt. \quad (2.41)$$

Sie stellt einen Vergleich der Funktionswerte miteinander dar. Sie liefert eine Aussage über das Gedächtnis einer Funktion. Die Variable τ heißt *Korrelationszeit*. Sie ist der zeitliche Abstand zwischen zwei zu vergleichenden Punkten der Funktion.

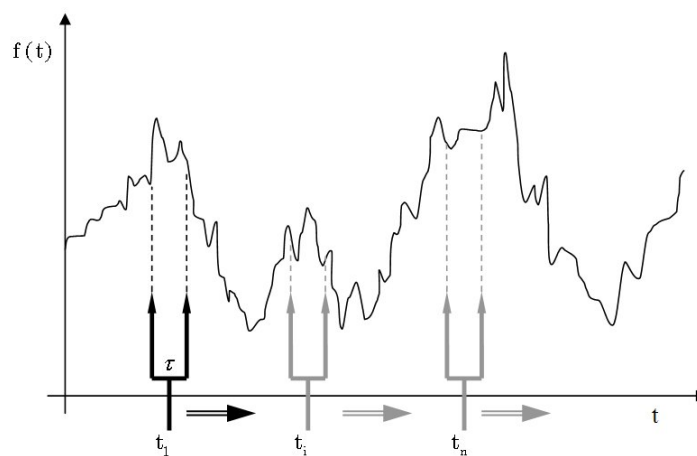


Abbildung 2.17: Die AKF wird berechnet, indem man die $f(t)$ mit $f(t + \tau)$ für alle Datenpunkte korreliert.

Beispiel: Abb. 2.17 zeigt anschaulich das Prinzip der AKF. Gegeben sei ein fester Abstand der genau τ beträgt. Dann wird jeder Funktionswert $f(t)$ mit dem um τ verschobenen Funktionswert $f(t + \tau)$ korreliert. Diese Werte summieren sich zu einem $R_{ff}(\tau)$. Dieser Vorgang wird für alle τ durchgeführt. Daraus entsteht die kontinuierliche Autokorrelationsfunktion.

2.4.7 Autokorrelationsfolge (DAKF)

Die Autokorrelationsfunktion ist für kontinuierliche Funktionen definiert. Ist ein diskreter Satz an Messwerten gegeben, ergibt sich die Notwendigkeit eine *Autokorrelationsfolge* / *diskrete Autokorrelationsfunktion* zu definieren. Ist ein Prozess stationär, so kann er meistens als ergodisch¹¹ angenommen werden. Für einen ergodischen Prozess gilt, dass die Zeitmittelung¹² für jedes Teilchen durch eine Ensemble Mittelung¹³ über alle Teilche ersetzt werden darf. Damit schreibt sich die Autokorrelationsfolge zu

$$r_{ff}(\tau) = \frac{1}{N} \sum_{t=0}^{N-1-\tau} f(t) f(t+\tau). \quad (2.42)$$

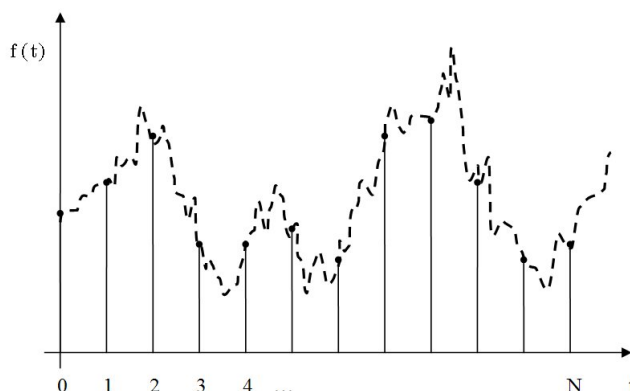


Abbildung 2.18: Beispielfunktion. Die gestrichelte Linie (- -) beschreibt das kontinuierliche physikalische Signal und die Punkte (•) die diskreten Messpunkte.

Beispiel: Gegeben sei das Signal aus Abb. 2.18, das äquidistant abgetastet ist. Dann zeigt Abb. 2.19 die ersten beiden Rechenschritte der DAKF. Im ersten Schritt multipliziert sich jeder Punkt mit sich selbst. Dann werden alle Werte aufaddiert. Im zweiten Schritt multipliziert sich jeder Punkt mit seinem Nachbarn. Danach erfolgt wieder die Summation über alle entstandenen Werte.

¹¹Ergoden Hypothese ([4], [17], [20]) angenommen werden:

$$\begin{aligned} \bar{f} &\rightarrow f^e, \text{ wenn} \\ T &\rightarrow \infty \end{aligned}$$

¹²Zeitmittelung: $\bar{f} = \lim_{T \rightarrow \infty} \frac{1}{T} \int_{t_0}^{t_0+T} f(\vec{x}, t) dt$

¹³Ensemble Mittelung: $f^e = \lim_{N \rightarrow \infty} \frac{1}{N} \sum_{n=1}^N f(\vec{x}, t)$

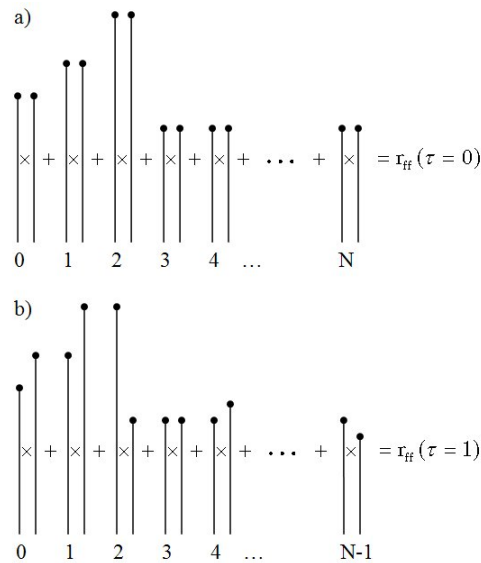


Abbildung 2.19: Die ersten beiden Rechenschritte der AKF. Für die Beispielfunktion aus Abb. 2.18. Das Kreuz (\times) symbolisiert die Multiplikation der jeweiligen Funktionswerte.

Die Summation erfolgt für $\tau \rightarrow N$ mit immer weniger Summanden. Damit tritt nun das Problem auf, dass der Vorfaktor $\frac{1}{N}$ nicht mehr der Wahrheit an gebrauchten Funktionswerte entspricht. Er wird durch $\frac{1}{N-\tau}$ ersetzt. Dies liefert einen *erwartungstreuen* Wert. Fachlich heißt $\frac{1}{N-\tau}$ eine *Fensterfunktion* (Gewichtung). Die erwartungstreue Autokorrelationsfolge ergibt sich zu

$$r_{ff}(\tau) = \frac{1}{N-\tau} \sum_{t=0}^{N-1-\tau} f(t) f(t+\tau). \quad (2.43)$$

Die Werte der Zeitfunktion können beliebig groß sein und damit nimmt auch die DAKF beliebig große Werte an. Um die DAKF zu normieren wird sie durch ihren Wert an der Stelle $\tau = 0$ dividiert. Damit wird eine allgemeine Vergleichbarkeit dieser Folgen erreicht.

$$r_{ff}(\tau) = \frac{1}{N-\tau} \sum_{t=0}^{N-1-\tau} \frac{f(t) f(t+\tau)}{f(t) f(t+0)}. \quad (2.44)$$

Durch diese Normierung liegen die Werte von $r_{ff}(\tau)$ in Intervall $I = [-1; +1]$ und ihren Werten kommt die Bedeutung

$$r_{ff}(\tau) = \begin{cases} +1, & \text{totale Korrelation} \\ 0, & \text{keine Korrelation} \\ -1, & \text{totale Antikorrelation} \end{cases} \quad (2.45)$$

Abschließend wird bei einer DAKF der Erwartungswert \bar{f} von den Funktionswerten subtrahiert. Die resultierende Folge heißt die *Autokovarianzfolge*

$$c_{ff}(\tau) = \frac{1}{N-\tau} \sum_{t=0}^{N-1-\tau} \frac{(f(t) - \bar{f})(f(t-\tau) - \bar{f})}{(f(t) - \bar{f})(f(t) - \bar{f})}. \quad (2.46)$$

Sie hat eine ähnlich Aussage, wie die AKF und im Falle einer mittelwertfreien Funktion sind beide identisch.

2.4.8 Wiener-Khinchine Theorem

Das *Wiener-Khinchine-Theorem* besagt:

Die spektrale Leistungsdichte ist die Fourier-Transformierte der Autokorrelationsfunktion [19].

Die Herleitung dieser Aussage erfolgt mit Hilfe des Parseval'schen Theorems und des Verschiebungssatzes:

$$\int_{-T}^{+T} f(t) \cdot f(t + \tau) dt = \int_{-\infty}^{+\infty} F^*(\omega) \cdot F(\omega) e^{2\pi\omega\tau} d\omega. \quad (2.47)$$

Multipliziert mit $\frac{1}{2T}$ und umgeformt ergibt sich

$$\frac{1}{2T} \int_{-T}^{+T} f(t) \cdot f(t + \tau) dt = \int_{-\infty}^{+\infty} \frac{|F(\omega)|^2}{2T} e^{2\pi\omega\tau} d\omega. \quad (2.48)$$

In Kap. 2.4.5 wurde die spektrale Leistungsdichte definiert zu

$$S_{FF}(\omega) = \frac{|F(\omega)|^2}{2T}. \quad (2.49)$$

Damit folgt aus Gl. 2.48 die Bestätigung des Wiener-Khinchine-Theorems

$$r_{ff}(\tau) = \int_{-\infty}^{+\infty} \frac{|F(\omega)|^2}{2T} e^{2\pi\omega\tau} d\omega. \quad (2.50)$$

Diesen Zusammenhang zwischen Zeit- und Frequenzbereich vergegenwärtigt die Abb. 2.20.

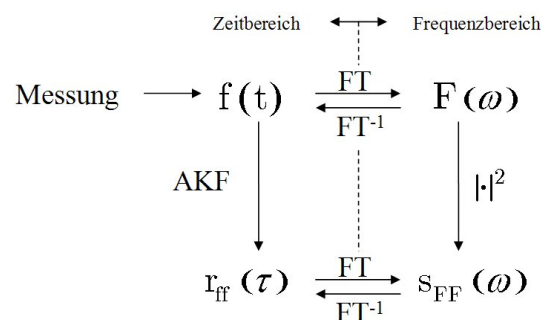


Abbildung 2.20: Darstellung der Rechenoperationen von FT, AKF, SLD im Zeit- und Frequenzbereich.

Diskrete spektrale Leistungsdichte

Durch das Bilden der Fourier Transformierte der Autokorrelationsfolge, so entsteht die spektrale Leistungsdichte (DSL_D). Da die DAKF symmetrisch zur y-Achse ist, ist der imaginäre Teil der FT gleich Null. Damit lässt sich die diskrete spektrale Leistungsdichte berechnen aus

$$s_{ff}(\omega) = r_{ff}(0) + 2 \sum_{\tau=1}^{\infty} r_{ff}(\tau) \cos(\omega\tau). \quad (2.51)$$

Darin treten die folgenden Größen auf

Abtastfrequenz: $\nu_{abt} = \frac{1}{T}$,

Abtastzeit: Δt , Zeitabstand zwischen zwei Messpunkten,

Kreisfrequenz: $\omega = 2\pi\nu$.

Die Kreisfrequenz ist die am häufigsten genutzte Variable. Um einen einfacheren Zugang zu den resultierenden Größen zu haben wird im Weiteren die Frequenz ν benutzt werden. Die DAKF wurde zuvor bestimmt und wird in die DSL_D eingesetzt zu werden. Die DSL_D wird nicht an beliebig vielen Punkten ausgewertet, sondern an der gleichen Anzahl N von Punkten die uns durch die Messung gegeben ist. Damit ergibt sich die *Frequenzauflösung* /-schrittweite zu

$$\Delta\nu = \frac{\nu_{abt}}{N-1}. \quad (2.52)$$

Als Mengen treten auf

$$\begin{aligned} \tau &\in [0, T], \\ \omega &\in [0, 2\pi\nu_{abt}], \\ \nu &\in [0, \nu_{abt}]. \end{aligned} \quad (2.53)$$

Kapitel 3

Versuchsaufbau und -durchführung

Der Versuchsaufbau ist Abb. 3.1 abgebildet. Er besteht aus einem Kapillarrheometer, drei Messverstärkern und zwei Rechnern. Das Kapillarrheometer wird in Kap. 3.1 genauer dargestellt.

Der Versuch beginnt mit dem Einfüllen des Testgranulates. Für dieses Experimente wurde ausschließlich Polyethylen (PE)¹-Granulat benutzt. Eine Beschreibung der benutzten Testmaterialien folgt in Kap. 3.2. Das Granulat wird im Testkanal bei 150-200 °C aufgeschmolzen und dann mit konstanter Kolbengeschwindigkeit extrudiert. Während der Extrusion wird der Druck in Testkanal und der Düse mit insgesamt vier Drucksensoren (siehe Abb. 3.2) gemessen. Das elektrische Signal wird dann mit einem Ladungsverstärker (Kap. 3.3) proportional verstärkt und dann digitalisiert.

3.1 Das Kapillarrheometer

Das verwendete Kapillarrheometer ist ein *Rheotester 2000*, der Firma *Goettfert Werkstoff-Prüfmaschinen GmbH*. Es arbeitet entsprechend dem Funktionsprinzip, das in Kap. 2.1 erklärt wurde. Der Rheotester 2000 kann in zwei Betriebsarten eingesetzt werden

1. konstante Kolbengeschwindigkeit $0,001 \text{ mm/s} \leq v_{\text{kolben}} \leq 20 \text{ mm/s}$ mit einer Schrittweite von $8 \times 10^{-5} \text{ mm/s}$,
2. konstante Kraft, wobei $F \leq 20 \text{ kN}$.

Für alle Experimente, die dieser Arbeit zugrunde liegen, wurde die Variante 1 gewählt, da hier durch ein breiteres Spektrum an Oberflächendefekten (vgl. Kap. 2.2) zu beobachten ist.

¹chemisch: $[-\text{CH}_2 - \text{CH}_2-]_n$



Abbildung 3.1: Kapillarrheometer: Goettfert Rheotester 2000.

Der Testkanal hat eine Durchmesser von $D_K = 15 \text{ mm}$ und einen Eintrittswinkel zur Düse von $\alpha = 180^\circ$. Der Testkanal und die Düse werden mit drei *Widerstandsheizungen* auf eine frei wählbare Temperatur im Bereich von $60 \text{ }^\circ\text{C} \leq \vartheta \leq 400 \text{ }^\circ\text{C}$ gehalten. Die Stabilität der Temperatur liegt bei $\pm 1 \text{ }^\circ\text{C}$. Die Temperatur wird mit drei Thermoelementen PT 100 1/3DIN überwacht. Jedes Thermoelement ist einer Heizung zugeordnet (Abb. 3.2). Der Rheotester 2000 ist standardmäßig mit einem *DMS²-Drucksensor* im unteren Testkanal (Abb. 3.2) ausgestattet. Der Einsatzbereich des DMS-Drucksensors (App. A.1) liegt bei

- einem Druck von $0 \text{ bar} \leq p \leq 2000 \text{ bar}$ und
- einer Temperatur $\vartheta \leq 400^\circ \text{ C}$.

Durch diesen Drucksensor wird das Experiment kontrolliert, da er der einzige Drucksensor ist, der seine Messergebnisse an die kommerzielle Steuerungssoftware liefert. Zum Beispiel wird bei einem Überschreiten des als maximal definierten Druckes das Experiment automatisch abgebrochen. Außerdem werden seine Messwerte benutzt, um die Viskosität und scheinbare Scherrate zu bestimmen. Seine Abtastungsrate ist nicht konstant. Er tastet somit nicht äquidistant ab.

Die verwendete Düse ist eine Schlitzdüse mit den Abmessungen $(30 \times 3 \times 0,3) \text{ mm}$. Sie ist eine Sonderanfertigung, die am Max-Planck-

²Dehnungs-Mess-Streifen

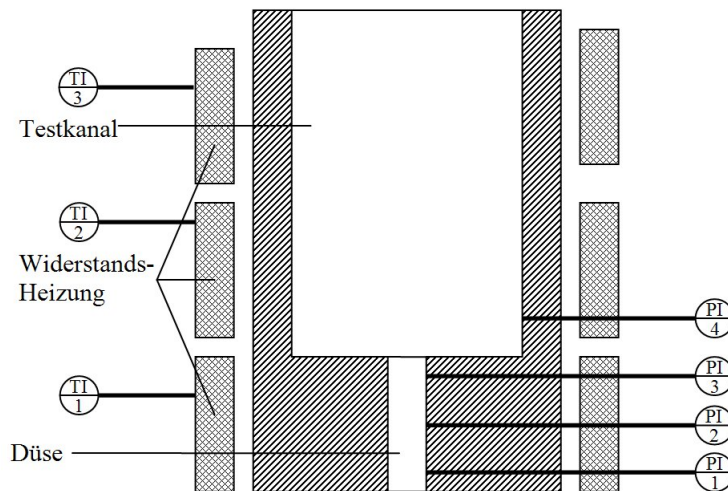


Abbildung 3.2: Lokalisierung der Sensoren im Kapillarrheometer. TI \Rightarrow Temperatur Sensor, PI \Rightarrow Drucksensor. PI1-3: Piezo-Drucksensoren, PI4: DMS-Drucksensor.

Institut für Polymere (MPI-P) angefertigt wurde. In ihr wurden drei zusätzliche *Piezo-Drucksensoren* (App. A.2) eingebaut, um den Druckverlauf entlang der Düse zu beobachten. Der Messbereich der Kistler Piezo-Drucksensoren ist $0 \text{ bar} \leq p \leq 2000 \text{ bar}$, mit einer Sensitivität von 2.5 pC/bar . Die maximale Betriebstemperatur ist auf 400 °C limitiert. Der Testkanal hat einen Durchmesser von 15 mm .

3.2 Polyethylen als Testmaterial

Polyethylen ist ein Standard Polymer, das industriell in großen Mengen (60 Mio. t je Jahr) produziert wird. Bei seiner Verarbeitung treten die in Kap. 2.2 charakterisierten Fließanomalien auf. Aufgrund verschiedener Konstitution³, die das PE annehmen kann, treten die Fließanomalien verschieden stark auf. Daher ist es als Testmaterial für diese Versuche geeignet. Im Temperaturbereich zwischen $140 - 190 \text{ °C}$ ist es flüssig und degradiert noch nicht innerhalb der Versuchszeit. Eine Summierung der Charakteristika der verwendeten Proben ist in Tab. 3.1 zu sehen.

3.3 Datenaquisition

Die Verbindung zwischen Experiment und Rechner (siehe Abb. 3.3) läuft zunächst über einen Ladungsverstärker. Jeder der drei eingesetzten Piezo-Sensoren hat einen eigenen Ladungsverstärker vom Typ Kistler 5015A. Die

³Art und Menge an Verzweigungen ([22]).

Name	$\rho_{20^\circ\text{C}}$ in kg/m^3	T_m in $^\circ\text{C}$
PE-1	$0,897 \pm 0,026$	128,49
PE-2	$0,874 \pm 0,003$	116,06
PE-3	$0,887 \pm 0,026$	124,49
PE-4	$0,845 \pm 0,025$	118,87

Tabelle 3.1: Charakteristika der LLDPE-Proben.

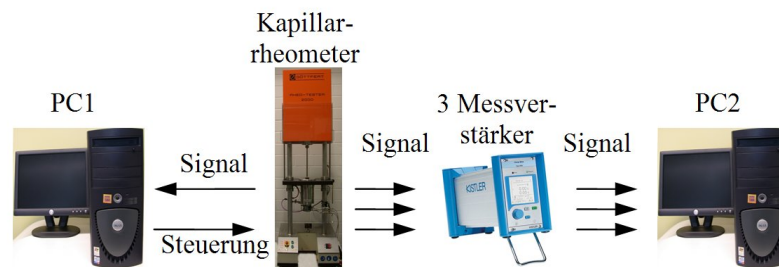


Abbildung 3.3: Signalflussdiagramm für den verwendeten Kapillarrheometraufbau.

durch ihn verstärkte Ladung wird mit einer AD-Karten von National Instruments PCI-6036E am PC eingelesen. Die Software zur Datenaquisition ist ein in LabVIEW⁴ geschriebenes Programm aus [41] und [40]. Dieses Programm führt bei der Messwerterfassung das "Oversampling" aus (Literatur: [36], [16]).

3.4 Versuchsaufbau

Die durchgeführten Experimente laufen immer nach dem gleichen Schema ab:

- beide Computer (PC1 und PC2), das Kapillarrheometer und die Ladungsverstärker anschalten,
- Versuchsparameter (ϑ und v_{piston}) am Rechner PC1 einsetzen,
- das Rheometer braucht ca. 30 min, um auf einer konstanten Temperatur zu sein,
- den DMS-Drucksensor auf 0 bar setzen (Software intern; PC1),
- das Granulat für die Messung auswählen und in den Testkanal füllen,

⁴System zur virtuellen Instrumentierung (Kombination von Hardware und Software zur Erzeugung einer Funktion eines klassischen (Mess-) Instruments.).

- ca. 10 min das Granulat schmelzen lassen,
- die Schmelze unter Vordruck setzen, damit die Düse gefüllt wird und Hohlräume geschlossen werden,
- Schmelze relaxieren lassen bis zu einem konstanten Druck ⁵,
- Aufzeichnungsparameter am PC2 wählen (Oversampling, Abtastfrequenz),
- Messung beginnen,
- Messwerte der Piezo-Sensoren aufzeichnen,
- Messung beenden (PC1 und PC2), Testkanal leeren,
- Testkanal gründlich mit einer Drahtbürste reinigen.

Für eine Messung mit PE wird bei dem 15 mm Testkanal ca. 35 g Polymer benötigt. Die Messdauer nimmt mit zunehmender Scherrate ab und liegt üblicherweise im Bereich von ca. 3-30 min.

⁵Die totale Relaxation auf 0 bar wäre wünschenswert, ist aber nicht sinnvoll, da sie zu lange dauert. Es besteht die Gefahr, dass das Material degradiert.

3.5 Aufbereitung und Analyse der zeitabhängigen Druckdaten

Die Daten der drei Drucksensoren werden zusammen in eine Datei gespeichert. Ihr Aufbau ist in Abb. 3.4 zu sehen.

Datei	Bearbeiten	Format	Ansicht	?
20000	133	75		
196,763580		186,866013	32,819706	
196,756577		186,881042	32,811790	
196,784348		186,892746	32,794464	
196,790085		186,886902	32,761078	
196,799255		186,891937	32,771061	
196,828049		186,929001	32,750637	
196,848358		186,918671	32,746967	
196,837341		186,944717	32,719891	
196,863739		186,962036	32,708305	
196,870270		187,008041	32,690636	
196,877274		187,026978	32,685013	
196,877960		187,045792	32,689144	
196,880478		187,045685	32,684441	
196,866714		187,030426	32,672508	
196,875214		187,049011	32,681572	
196,887833		187,038452	32,696259	
196,876694		187,039490	32,697289	
196,888168		187,066788	32,689373	

Abbildung 3.4: Auszug aus einer Messdatei.

Die Werte der ersten Zeile der Druckdatei von links nach rechts entsprechen:

- Abtastfrequenz v_{abt} ,
- Oversampling n_{over} und
- Nyquistfrequenz $v_{Nyquist}$.

Für die Analyse der Daten wurde ein neues Programm geschrieben. Die Gründe und Vorteile sind

- das Programm ist optimal an die Form der Messdatei angepasst,
- der Algorithmus für die Berechnungen ist bekannt, weil selbst implementiert und
- es entstehen keine Urheberprobleme.

Als Programmiersprache wurde als erstes C benutzt. Die Vorteile sind:

- C ist die Sprach, in der Windows programmiert ist und sollte somit ein möglichst schnelles Programm liefern.
- Das fertige und compilierte Programm kann eigenständig auf jedem Rechner gestartet werden. Ein Matlab Programm im Gegensatz dazu kann immer nur unter einer MATLAB Umgebung laufen.
- Häufig haben Anwendungsprogramme, wie MATLAB, Mathematica, eine strengere Limitierung der Datenmengen.

3.5. AUFBEREITUNG UND ANALYSE DER ZEITABHÄNGIGEN DRUCKDATEN⁴¹

Die Nachteile sind

- zeitintensive Programmierung,
- aufwendige Graphikprogrammierung,
- alle mathematischen Funktionen müssen selber programmiert und überprüft werden.

Der Programmcode ist in App. B.2 dieser Arbeit angehängt. Das Programm kann

- die Messdaten der einzelnen Sensoren der Messdatei auslesen und darstellen,
- ungünstige Anfangs- und Endbereiche können manuell entfernt werden,
- mittels der *Ausgleichsrechnung* ([34]) kann eine Ausgleichsgerade oder -parabel bestimmt werden und somit kann die Drift kompensiert werden,
- die Autokorrelation, Autokovarianz und die spektrale Leistungsdichte können berechnet und angezeigt werden,
- die Autokorrelationsfunktion kann mit einer frei wählbaren Filterfunktion multipliziert werden, um die Leistungsdichte zu verbessern,
- es können Testdaten⁶ berechnet werden, um die Funktionalität des Programmes zu testen. Außerdem kann die *Housholder QR-Zerlegung* ([34]) auch zum Lösen von Matrizen angewandt werden.

Ein Nachteil der direkten Fourier Transformation ist, dass mit steigender Anzahl von Punkten Rechenzeit quadratisch zunimmt. Deswegen wurde in einem zweiten Schritt entschlossen die Berechnung der spektralen Leistungsdichte aus der AKF und die FT der Druckdaten in Matlab zu programmieren. Die Vorteile liegen in der

- einfachen Anwendung von Matlab,
- leicht und automatisierbar darstell-, speicher- und ausdrückbaren Graphikdarstellung und

⁶Zur Verfügung stehen

- Sinus,
- Exponential,
- Polynom bis Grad 2 und
- Random Data.

- standartmäßig implementierte *Schnelle Fourier Transformierte (FFT)*⁷.

Die Programmcodes der MATLAB Programme sind in App. B.1.2 angehängt.

3.5.1 Aufbereitung der zeitabhängigen Druckdaten

Die graphische Darstellung der Druckdaten sieht prinzipiell aus, wie in Abb. 3.5. Im Bereich I steigt der Druck an, bis er im Bereich II ein konstantes Plateau erreicht hat, um das er oszilliert. Der Bereich IV entsteht, wenn die Messung beendet ist und das Restmaterial langsam aus der Düse fließt.

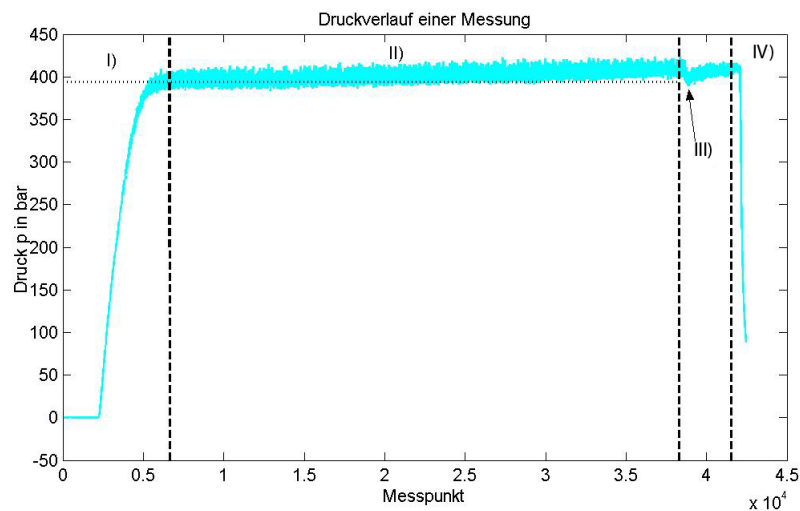


Abbildung 3.5: Gemessener Druckverlauf mit den vier typischen Bereichen: I) Start der Messung, II) "stationärer" Bereich, IV) nach Beenden der Messung und III) Strömungsänderung.

Für die Datenanalyse ist nur der Bereich II von Interesse. Daher können die Bereiche I und IV verworfen werden. Diese Möglichkeit ist in dem C-Programm aus App. B.2 gegeben. Prinzipiell besteht auch die Möglichkeit die Messung erst zu beginnen, wenn der Druck in der Düse den Bereich II erreicht hat. Dies ist aber gerade bei niedrigen Scherraten nicht einfach, da die Steigung in Bereich I relativ flach sein kann. Es ist dann sehr wahrscheinlich, dass die Daten doch nachbearbeitet werden müssen. Bereich IV lässt sich einfacher umgehen, da an der Eindringtiefe des Kolbens in den Testkanal klar ersichtlich ist, wie lange das Experiment noch dauert.

Bereich III zeigte sich bei allen Messungen. Dieser typische Druckverlust tritt bei immer ab einer bestimmten Eindringtiefe des Testkolbens auf.

⁷Bei der DFT von N Punkten in MATLAB kommt nicht nur der *Butterfly* Algorithmus von [9] zur Anwendung. Die FFT in MATLAB greift auf weitere Faktorisierungen der Datenmenge N zurück.

3.5. AUFBEREITUNG UND ANALYSE DER ZEITABHÄNGIGEN DRUCKDATEN⁴³

Dies ist auf Änderungen der Strömungsverhältnisse innerhalb des Testkanals zurückzuführen.

Die eingesetzten Piezosensoren sind für eine statische Messung nicht optimiert. Es entsteht eine von Umgebungsbedingungen abhängige nicht reproduzierbare Drift der Messdaten. Diese Drift ist nicht konstant, damit hat ihre Funktionsdarstellung neben den konstanten Offset noch einen in der Zeit linearen Term. Da aber die Drift nicht unendlich zunehmen kann muss davon ausgegangen werden, dass noch einer weiterer nichtlinearer Term mit negativen Vorzeichen existiert. Damit lässt sich die Funktion der Drift $f_d(t)$ schreiben zu

$$f_d(t) = f_{d,0} + f_{d,1}t - f_{d,2}t^2 \quad (3.1)$$

Aber es ist möglich die Drift mit einer Anpassung an eine Gerade oder Parabel auszugleichen. Dazu ist folgendes Vorgehen ratsam:

Es wird nur der stationäre Bereich der Messung genommen. Mit Hilfe *Ausgleichsrechnung* ergibt sich eine Ausgleichsgerade oder -parabel. Diese wird von den Messdaten subtrahiert. Daraus ergibt sich eine um die Nullachse oszillierende Datenmenge, die sich gut mittels der DAKF analysieren lässt.

3.5.2 Analyse der zeitabhängigen Druckdaten

An die Aufbereitung der Druckdaten schließt sich deren Analyse an. Als mathematische Hilfsmittel diente die DAKF und die DFT. Das Prinzip von beiden ist in Kap. 2.4 erklärt. Die Datenanalyse wurde mit zwei Methoden durchgeführt. Beide endeten jeweils in der SLD. Die beiden Methoden entsprechen den beiden Wegen in Abb. 2.20.

- A. Ausgehend von den Druckdaten wird mit der DFT in den Frequenzbereich gewechselt. Danach die SLD durch Quadrieren bestimmt.
- B. Die Druckdaten werden zunächst im Zeitbereich mit der AKF bearbeitet und danach mit der DFT die SLD bestimmt.

Aus diesen beiden Methoden stehen vier Möglichkeiten zur Charakterisierung von Fließanomalien zur Verfügung:

1. die Druckfunktion $p(t)$,
2. die Autokorrelationsfunktion $r_{pp}(\tau)$,
3. die spektrale Leistungsdichte aus der AKF $s_{pp}(\nu)$ und
4. die spektrale Leistungsdichte aus der Druckfunktion $s_{pp}(\nu)$.

Die Messungen wurden in verschiedenen Messreihen durchgeführt.

Messreihe I, befasste sich mit dem Auffinden der charakteristischen experimentellen Fließanomalien für ein Polymer.

Messreihe II, diente die gefundenen Charakterisierungen beim gleichen Polymere auf eine andere Temperatur und höhere Scherraten zu erweitern.

Messreihe III, diente die gefundenen Charakterisierungen auf andere Polymere Systeme zu erweitern.

Messreihe IV untersucht den Ursprung für Auffälligkeiten der Messreihe I.

3.5.3 Methode A, AKF und SLD

Ein in MATLAB geschriebenes Programm (siehe App. B.1.2) ruft die gemäß Kap. 3.5.1 bearbeiteten Messdaten auf. Von den Druckdaten wird zu erst die Standardabweichung bestimmt. Im nächsten Schritt werden die Druckdaten mit einem Gauß-Fenster (Kap. 2.4.3) multipliziert. Dies dient der Verbesserung des Resultats der sich anschließenden DFT. Die DFT wird mit dem in MATLAB definierten FFT-Algorithmus bestimmt. Die SLD bestimmt sich gemäß der Grundlagen aus Kap. 2.4.5 in Gl. 2.40.

3.5.4 Methode B, FT und SLD

Im direkten Anschluss an die Aufarbeitung der Druckdaten wird die DAKF berechnet, wie in Kap. 2.4.7, durchgeführt. Dies geschieht in dem C-Programm aus App. B.2. Anschließend wird die SLD mit Programm (App. B.1.2) berechnet. Dabei wird auf den MATLAB FFT-Algorithmus zurückgegriffen.

3.5.5 Experimentelle Fließanomalien

Das untersuchte Polymer war PE-1 (siehe Tab. 3.1). Testtemperatur war $\theta = 180$ °C. Gemessen wurde bei $v_{kolben} = 0,02; 0,08; 0,5; 0,9$ mm/s, dies entspricht scheinbaren Scherraten von $\dot{\gamma}_{ap} = 78; 314; 1963; 3534$ s⁻¹. Die Messungen wurden mindestens dreimal durchgeführt. Dabei wurde mit Ovesamplingfrequenzen von 150 und 200 Hz aufgezeichnet. Die Versuchsdaten sind in Tab. 3.2 zu sehen. Es wurden Proben der Extrudate gesammelt und mit einem *HP scanjet 4890* Scanner mit 2400 dpi, dies entspricht einem Punktabstand von ca. 10 μ m, eingescannt. Die beiden Rechner speicherten die Druckdaten aller vier Sensoren.

3.5.6 Erweiterung des Systems PE-1

Das untersuchte Polymer war wieder PE-1. Es wurde bei einer Temperatur von 155 °C gemessen. Außerdem wurde die scheinbare Scherrate bei 180

3.5. AUFBEREITUNG UND ANALYSE DER ZEITABHÄNGIGEN DRUCKDATEN⁴⁵

Tabelle 3.2: Versuchsdaten der Messreihe I: Experimentelle Fließanomalien.

Material	ϑ in °C	$\dot{\gamma}_{ap}$ in s^{-1}	v_{kolben} in mm/s	D_K in mm
PE-1	180	78	0,02	15
PE-1	180	314	0,08	15
PE-1	180	1963	0,5	15
PE-1	180	3534	0,9	15

Tabelle 3.3: Versuchsdaten der Messreihe II: Erweiterung des System PE-1.

Material	ϑ in °C	$\dot{\gamma}_{ap}$ in s^{-1}	v_{kolben} in mm/s	D_K in mm
PE-1	155	392	0,1	15
PE-1	155	589	0,15	15
PE-1	155	1610	0,41	15
PE-1	180	4712	1,2	15
PE-1	180	5890	1,5	15

°C erhöht. Die Versuchsdaten sind in Tab. 3.3 zu sehen. Es wurden Proben der Extrudate gesammelt und mit einem *HP scanjet 4890* Scanner mit 2400 dpi eingescannt. Die beiden Rechner speicherten die Druckdaten aller vier Sensoren.

3.5.7 Verallgemeinerung auf anderer Polymer Systeme

Die Messungen wurden auf die Polymere PE-2, PE-3 und PE-4 erweitert. Die Messungen wurden bei verschiedenem $v_{kolben} = [0,001; 1,5] mm/s$ durchgeführt. Ebenso wurde die Versuchstemperatur im Bereich $T = [155; 180]$ °C variiert. Die Oversamplingfrequenz bewegte sich in Bereichen von $\nu_{over} = [50; 200]$ Hz. Die Versuchsdaten sind in Tab. 3.4 zu sehen. Es wurden Proben der Extrudate gesammelt und mit einem *HP scanjet 4890* Scanner mit 2400 dpi eingescannt. Die beiden Rechner speicherten die Druckdaten aller vier Sensoren.

3.5.8 Stick-Slip Anomalie

Die Experimente dieses Abschnittes werden als Messreihe IV referenziert werden. Das Polymer PE-1 wurde bei $\vartheta = 180$ °C und $v_{kolben} = 0,08 mm/s$ untersucht. Die eine Hälfte der Messungen wurden direkt nach einer Messung am PE-2 durchgeführt. Bei der anderen Hälfte der Versuche wurde der Test-

Tabelle 3.4: Versuchsdaten der Messreihe III: Verallgemeinerung auf anderer Polymer Systeme.

Material	ϑ in °C	$\dot{\gamma}_{ap}$ in s^{-1}	v_{kolben} in mm/s	D_K in mm
PE-2	180	1963	0,5	15
PE-3	160	196	0,05	15
PE-3	160	1217	0,31	15
PE-4	180	1963	0,5	15
PE-4	180	3534	0,9	15

kanal gut gereinigt und mehrfach vorher mit PE-1 gemessen. Es wurden Proben der Extrudate gesammelt und mit einem *HP scanjet 4890* Scanner mit 2400 dpi eingescannt. Die beiden Rechner speicherten die Druckdaten aller vier Sensoren.

3.5.9 Optische Analyse der Instabilitäten

Aus den gespeicherten Bildern der Extrudate wurde ein 2000×500 Pixel großes Bildelement ausgeschnitten. Dies entspricht einer Bildgröße von 21×5 mm. Diese Bildelemente wurden als Graustufenbilder gespeichert. Damit konnten mit der Programmcode aus App. B.1.1 in MATLAB bearbeitet werden. Dabei wurde die Bilder jeweils

- mit einem Laplace-Filter bearbeitet und
- über die gesamte Länge (2000 Pixel) wurde die FFT bestimmt.

Die Resultate der FFT lassen sich sowohl 2 dimensional, als auch 3 dimensional darstellen, vgl. Kap. 4.5.

Kapitel 4

Ergebnisse und Diskussion

Dieses Kapitel stellt die Ergebnisse der Druckmessungen und deren folgende Analyse vor. Die Methoden A und B werden auf jede der vier Messreihen angewandt und in jeweils einem gemeinsamen Kapitel behandelt. Dies dient dazu, dass die Resultate besser verglichen werden können, und auch um den Umfang dieser Arbeit zu reduzieren. Die Messreihe I liefert die erste Charakterisierung der Fließanomalien. Die Messreihen II und III helfen diese zu bestätigen oder zu erweitern. Die Messreihe IV wurde dem Ganzen angehängt, um den Ursprung der gefundenen Stick-Slip Anomalie aus der Messreihe I zu erforschen. Alle Messungen haben gemeinsam, dass die Intensität der Spitzen in der SLD selbst unter gleichen Versuchsbedingungen um mehrere Größenordnungen variieren kann. Deswegen ist sie als quantitative Größe nicht geeignet und wird im Weiteren nicht benutzt.

4.1 Fließanomalie

Die Messreihe I wurde am PE-1 durchgeführt. PE-1 zeigte das breiteste Spektrum an Fließanomalien. Die Fließanomalien in Abb. 4.1.a-d zeigten sich am Extrudat. Bei den Extrudaten sind zwei Auffälligkeiten sichtbar:

- a. Die Fließanomalien in Abb. 4.1.c und d lassen sich nicht eindeutig einem Typus aus Kap. 2.2 zuordnen. Ihr Aussehen entspricht dem von Sharkskin. Die bestimmte Scherrate ist zu hoch im Vergleich zur gefundenen Stick-Slip Fließanomalie. Gemäß Kap. 2.2 tritt Stick-Slip bei einer größeren Scherraten auf, als die Scherrate von Sharkskin.
- b. Die Fließanomalie bei $v_{kolben} = 0,08 \text{ mm/s}$ trat nicht immer auf (siehe Kap. 4.4).

Die Auffälligkeit b wurde mit der Messreihe IV näher untersucht. Durch deren Ergebnis konnte Auffälligkeit a erklärt werden. Dies wird in Kap. 5 diskutiert. Für die Extrudate aus Abb. 4.1.c und d lies sich eine weitere

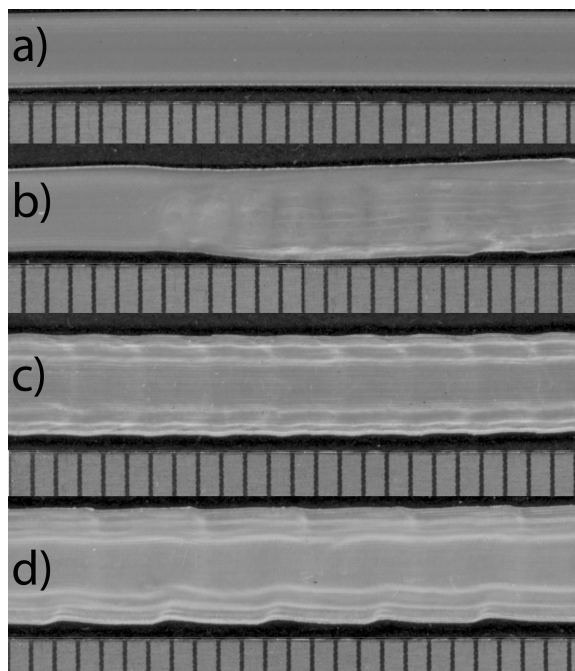


Abbildung 4.1: Proben des Extrudates aus der Messserie I digitalisiert mit einem HP Scanjet 4890 mit 2400 dpi. a) glatt, b) Stick-Slip, c) Sharkskin 1 und d) Sharkskin 2. Oben im jeweiligen Bild (a-d) ist das Extrudat zu sehen darunter ist jeweils ein Lineal mit 1 mm Strichabstand.

Beobachtung machen. Auf der einen Seite des Extrudats bildete sich eine schienenartige Deformation der Oberfläche aus. Dies ist in Abb. 4.2 zu sehen. Diese zusätzliche Fließanomalie ist ununterbrochen am gesamten Extrudat zu finden.



Abbildung 4.2: Extrudat Querschnitt für PE-1 bei 180°C und 3534 s⁻¹.

Die Abb. 4.3- 4.6 zeigt die resultierenden Druck- und Autokorrelationsfunktion, sowie die beiden spektralen Leistungsdichten bei verschiedenen Kolbengeschwindigkeiten (siehe Tab. 4.1) für die Sensorposition 1, 2 und 3 von einer Messung.

Aus Abb. 4.3.a- 4.6.a, dem zeitabhängigen Druck, ist zu erkennen, dass das glatte Extrudat eine sehr geringe Standardabweichung des Drucks $\bar{\sigma}_i < 0,3$ bar bei 190 bar in der Düse hat. Die Fluktuation um den zeitabhängigen Druck ist um eine weitere Größenordnung kleiner. Die Standardabweichung für Sharkskin (Abb. 4.5.a) ist um einen Faktor 3 größer. Dieser Wert liegt nahe dem von Sharkskin 2 aus Abb. 4.6.a. Zwischen diesen Werten und dem von Stick-Slip liegt ein Faktor von ca. 7. Zudem ist Stick-Slip durch seinen deutlich sichtbaren oszillierenden Druck gekennzeichnet (siehe Abb. 4.4.a).

Die SLD des zeitabhängigen Drucks ist in Abb. 4.3.b- 4.6.b aufgetragen. Das glatte Extrudat zeigt in der SLD (Abb. 4.6.b) keine markanten Frequenzanteile. Die einzige erkennbare Spitze liegt bei 50 Hz, was der elektrischen Netzfrequenz entspricht. Diese Spitze taucht in allen Messungen auf. In der SLD der Stick-Slip Fließanomalie aus Abb. 4.4.b zeigen sich keine weiteren Frequenzanteile. Qualitativ ist ihre Kurve mit der des glatten Extrudats gleich. Die Sharkskin Fließanomalien sind sich qualitativ ähnlich. In Abb. 4.5.b und 4.6.b ist zu sehen, dass bei beiden jeweils zwei erkennbare Spitzen vorhanden sind. Die Spitze bei der niedrigeren Frequenz ist um den Faktor 10 kleiner als bei der höheren Frequenz. Es besteht ein quantitativer Unterschied zwischen den Spitzen von Sharkskin 1 und Sharkskin 2. Die beiden Spitzen bei Sharkskin 1 aus Abb. 4.5.b sind zu höheren Frequenzen verschoben. Die Spitzen bei Sharkskin 1 liegen bei ca. 10 und 20 Hz.

Die Abb. 4.3.c- 4.6.c zeigt die AKF. Der erste auffällige qualitative Unterschied ist die Steigung der AKF, wenn sie ihren Anfangspunkt (0,1) verlässt.

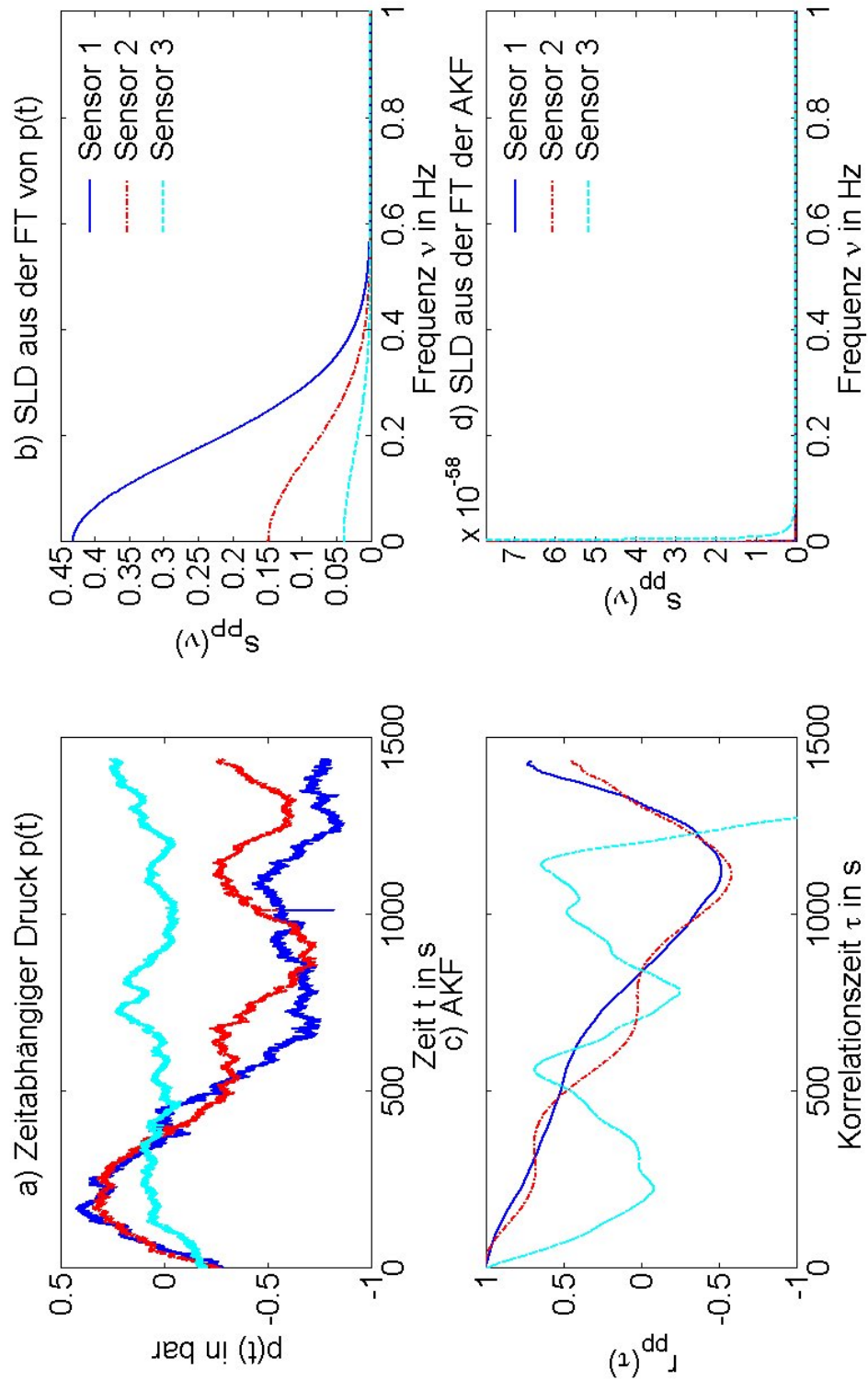


Abbildung 4.3: Resultate für PE-1 bei 180 °C und $78,5 \text{ s}^{-1}$ für alle drei Sensorpositionen. Für das glatte Extrudat ist dargestellt a) der zeitabhängige Druck $p(t)$, b) die SLD $s_{pp}(\nu)$ aus $p(t)$, c) die AKF $r_{pp}(\tau)$ und d) die SLD $s_{pp}(\nu)$ aus der AKF. Die Farben der Kurven bedeuten: (blau) Sensor 1, (rot) Sensor 2 und (türkis) Sensor 3.

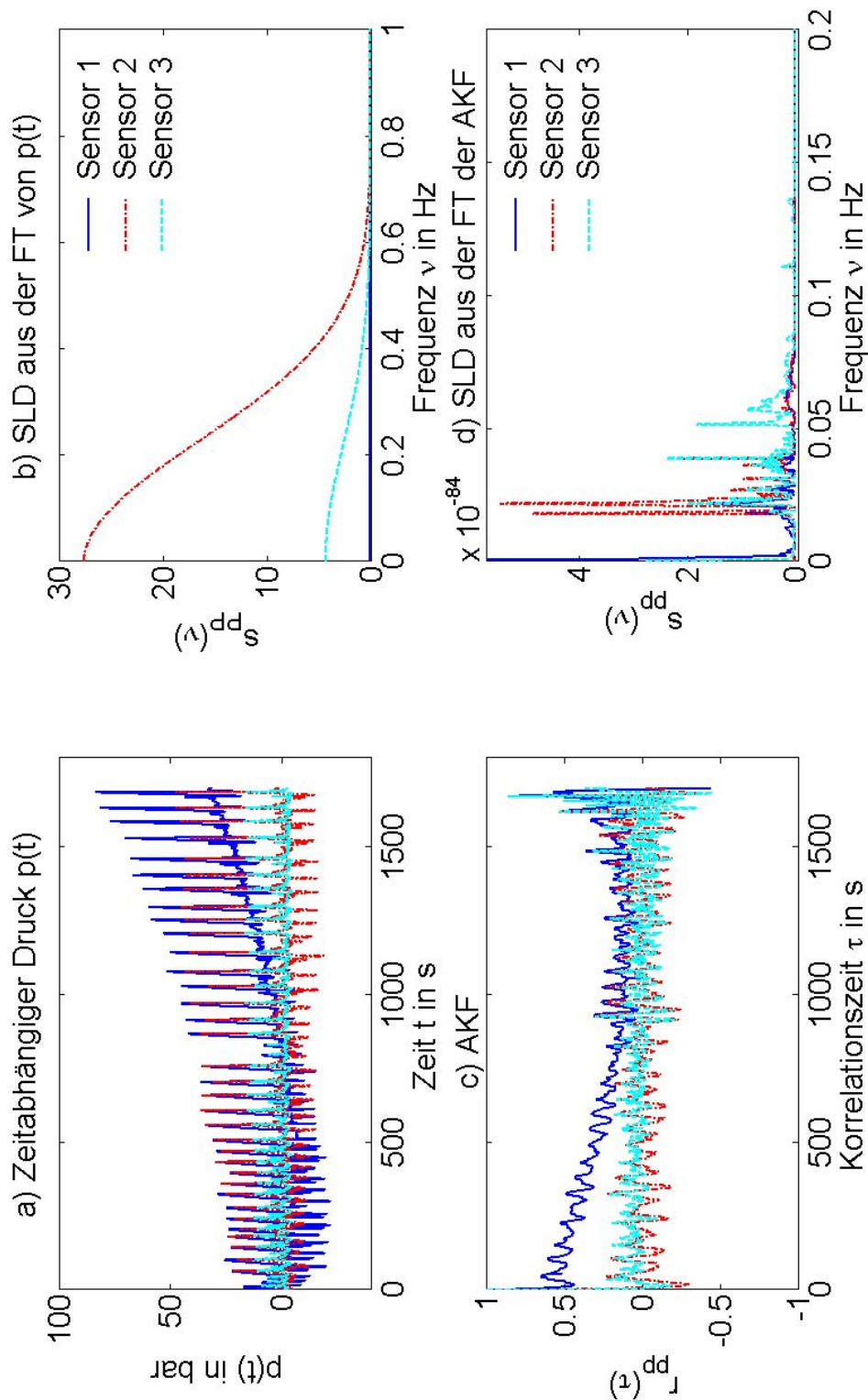


Abbildung 4.4: Resultate für PE-1 bei 180 °C und 314,2 s⁻¹ für alle drei Sensorpositionen. Für die Stick-Slip Fließanomalie ist dargestellt a) der zeitabhängige Druck $p(t)$, b) die SLD $s_{pp}(\nu)$ aus $p(t)$, c) die AKF $r_{pp}(\tau)$ und d) die SLD $s_{pp}(\nu)$ aus der AKF. Die Farben der Kurven bedeuten: (blau) Sensor 1, (rot) Sensor 2 und (türkis) Sensor 3.

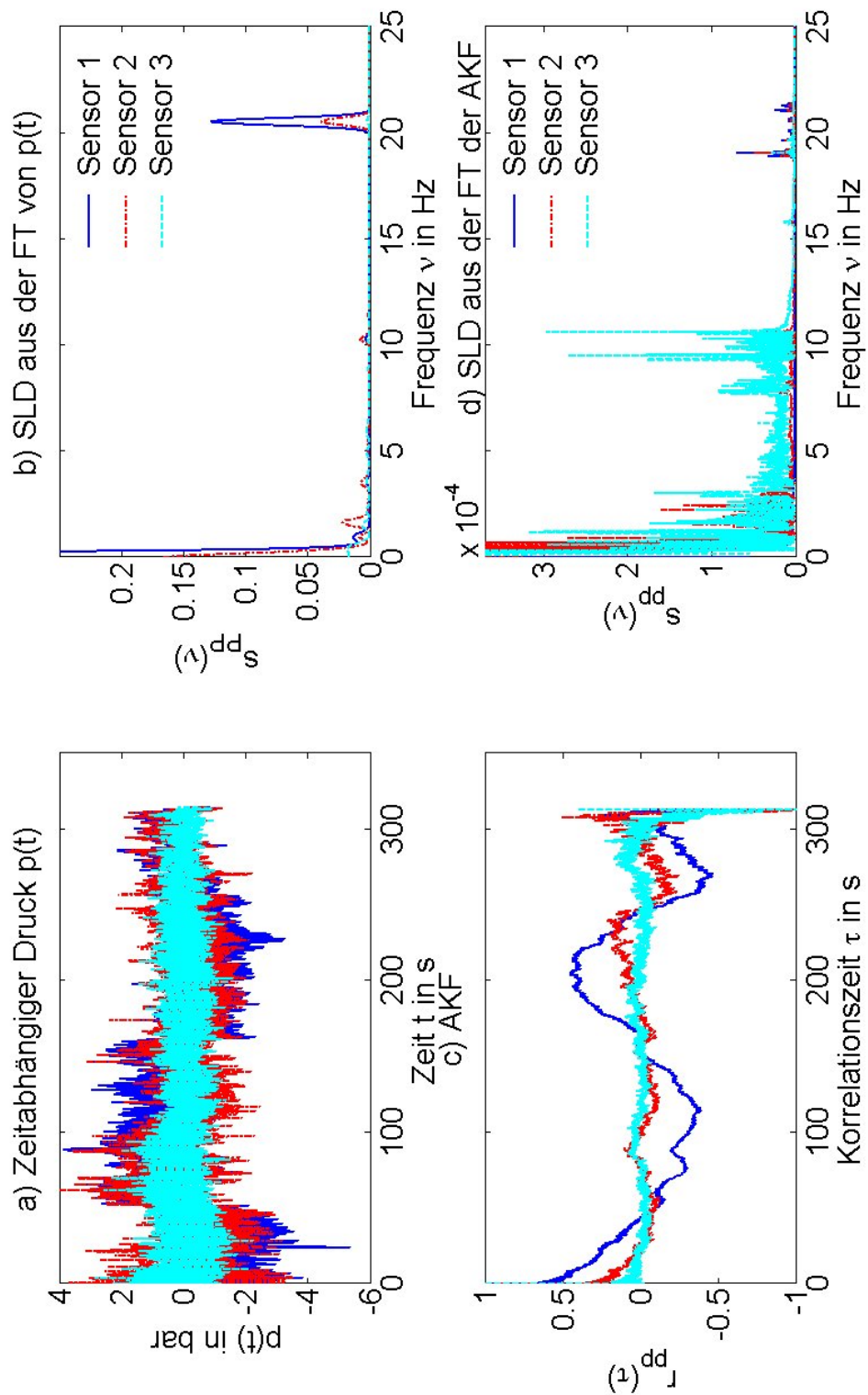


Abbildung 4.5: Resultate für PE-1 bei 180 °C und 1963 s⁻¹ für alle drei Sensorpositionen. Für die Sharkskin 1 Fließanomalie ist dargestellt a) der zeitabhängige Druck $p(t)$, b) die SLD $s_{pp}(\nu)$ aus $p(t)$, c) die AKF $r_{pp}(\tau)$ und d) die SLD $s_{pp}(\nu)$ aus der AKF. Die Farben der Kurven bedeuten: (blau) Sensor 1, (rot) Sensor 2 und (türkis) Sensor 3.

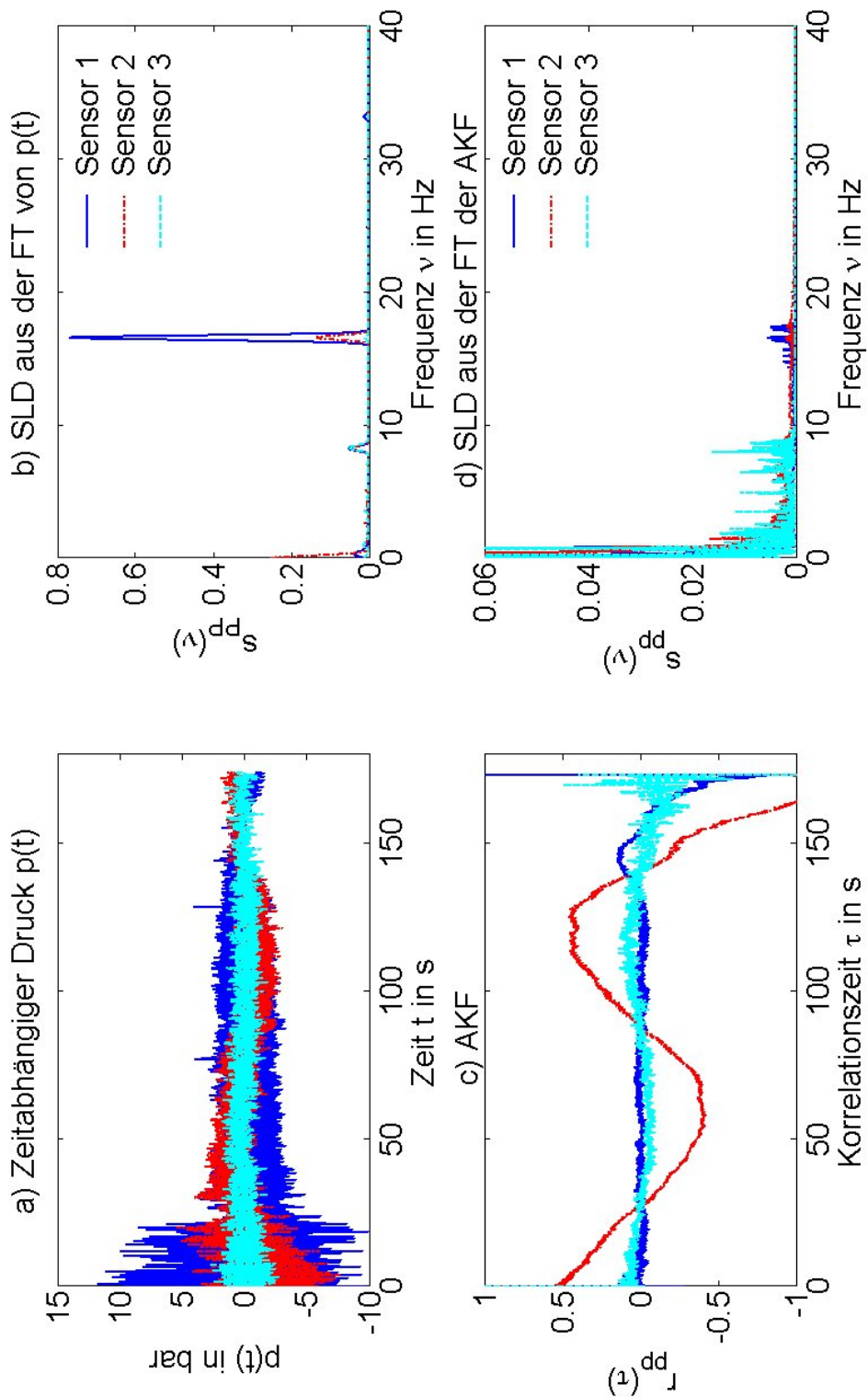


Abbildung 4.6: Resultate für PE-1 bei 180 °C und 3534 s^{-1} für alle drei Sensorpositionen. Für die Sharkskin 2 Fließanomalie ist dargestellt a) der zeitabhängige Druck $p(t)$, b) die SLD $s_{pp}(\nu)$ aus $p(t)$, c) die AKF $r_{pp}(\tau)$ und d) die SLD $s_{pp}(\nu)$ aus der AKF. Die Farben der Kurven bedeuten: (blau) Sensor 1, (rot) Sensor 2 und (türkis) Sensor 3.

Dabei hebt sich die AKF des glatten Extrudats (Abb. 4.3.c) deutlich von denen der anderen drei ab. Ihre Anfangssteigung ist wesentlich flacher. Sie braucht ca. 10 s bis sie den Wert 0,8 erreicht¹. Die anderen drei erreichen ihn innerhalb von weniger als 1,5 s. Außerdem ist allen AKF gemein, dass sie nach dem Überschreiten der halben maximalen Korrelationszeit zunehmend verrauschter werden und teils auch Werte annehmen, die außerhalb des Wertebereichs der AKF liegen. Dies ist bedingt durch die abnehmende Anzahl an Punkten, die von der DAKF verwendet wird (vgl. Gl. 2.51). Dadurch bekommt das Messrauschen größeren Einfluss auf die AKF. Die Abb. 4.4.c zeigt die AKF von Stick-Slip. In ihr ist eine periodische Oszillation zu sehen. Die Sharkskin 2 Fließanomalie zeichnet sich in ihrer AKF in Abb. 4.6.c durch einen schnellen Abfall ($\tau_0 = 10$ s) auf die τ -Achse ab. Danach oszilliert sie mit einer max. Amplitude von 0,2 um die τ -Achse. Am Ende weitet sie sich durch den Einfluss des Rauschens auf. Die AKF von Sharkskin 1 in Abb. 4.6.c sieht qualitativ gleich aus. Ihre Abfallszeit auf Null ist mit $\tau_0 = 25$ s größer als bei Sharkskin 2.

Die SLD, die über die AKF bestimmt wurde, ist in den Abb. 4.3.d- 4.6.d dargestellt. Im Vergleich zu der SLD aus dem Druck ist sie verrauschter. Abb. 4.3.d ist die SLD des glatten Extrudats. Sie zeigt, wie die SLD in Abb. 4.3.b, keine Frequenzanteile in Form von weiteren Spitzen. Die Stick-Slip Fließanomalie zeigt in ihrer SLD in Abb. 4.4.d eine Spitze bei sehr niedrigen Frequenzen (0,025 Hz). In Abb. 4.5.d ist bei 9 Hz eine 4 Hz breite Erhöhung der Frequenz zu sehen. Dies kann eine breite Spitze sein, dies bedarf weiterer Diskussion in Kap. 5. Sharkskin 2 weist zwei klare Spitzen bei 9 und 17 auf.

Die Tab. 4.1 fasst die wichtigsten Kenngrößen und Merkmale aus dem hier Besprochenen zusammen.

¹Dieser Wert ist gewählt, um die Anfangssteigung zu charakterisieren.

Tabelle 4.1: Charakteristische Mess- und Analysedaten zu den Messungen aus Abb. 4.3- 4.6. Die Swell ist die Aufweitung des Extrudatstrangs nach dem Düsenaustritt.

Eigenschaft	glatt	Stick-Slip	Sharkskin 1	Sharkskin 2	
T in °C	180	180	180	180	
v_{kolben} in mm/s	0,02	0,08	0,50	0,90	
$\dot{\gamma}_{ap}$ in s^{-1}	78,5	314,2	1963,5	3534,3	
$\nu_{Nyquist}$ in Hz	75	75	75	75	
Die Swell	3,5	3,5	4,3	4,8	
zeitabhängigen Druck					
$\bar{\sigma}_1$ in bar	0,3	14	0,86	1,17	
$\bar{\sigma}_2$ in bar	0,27	7,7	0,71	0,72	
$\bar{\sigma}_3$ in bar	0,07	3,5	0,52	0,42	
AKF					
τ_0 in s	230	9,7	–	–	
$\bar{\tau}_{0,8}$ in s	9,5	1,1	0,0175	0,004	
SLD aus Druck					
Frequenz ν_i in Hz	50	–	1,88 19,6	und 8,25 16,25	und
SLD aus AKF					
Frequenz ν_i in Hz	–	0,023	9 und 19,73	17,44	

Die Ergebnisse für verschiedene Messungen unter den gleichen Bedingungen ist in Abb. 4.7 und 4.8 zu sehen. Es ist erkennbar, dass die Druckkurven qualitativ gut zueinander passen.

Die Abb. 4.7 vergleicht die Messergebnisse bei $0,50 \text{ mm/s}$ und 180°C für die Sensorposition 1. Abb. 4.7.a zeigt, dass der zeitabhängige Druck der Messungen 2-4 gut zueinander passt. Die Messung 1 hat einen stärker oszillierenden Druck, als die anderen drei Messungen. Dies kann daran liegen, dass während dieser Messung die Drift stärkere nichtlineare Terme zeigte. Diese konnte durch die Aufbereitung der Daten nicht ausgeglichen werden. Der Unterschied zwischen den Messungen 2-4 und der Messung 1 zeigt sich auch in der SLD in Abb. 4.7.b. Während die Messungen 2-4 eine Spitze bei ca. 19 Hz haben, ist die Spitze bei der Messung 1 um 2 Hz nach rechts verschoben. Alle anderen Spitzen der Messung 1 sind in gleicher Weise verschoben.

Die Abb. 4.7.c und d ist die AKF und die SLD aus der AKF für die selbe Messung und Sensorposition. Im Vergleich der AKF aus Abb. 4.7.c ist eine qualitative Ähnlichkeit aller Messungen innerhalb der ersten 50 s zu sehen. Dies spiegelt sich auch in einer guten Übereinstimmung in der SLD aus Abb. 4.7.d wider. Die Spektren der Messung 1 scheinen hier nicht verschoben zu sein. Dies liegt daran, dass die Spektren der SLD, die über die AKF berechnet wurden, wesentlich verrauschter und breiter sind als die, die direkt aus den Druckdaten bestimmten SLD. Deshalb fällt keine Verschiebung der Frequenz um ca. 2 Hz auf.

Für die gleichen Versuchsbedingungen ergeben sich ähnliche Ergebnisse für die anderen Sensorposition.

Die Abb. 4.8 zeigt für die Messung bei $0,9 \text{ mm/s}$ und 180°C an der Sensorposition 3 den Vergleich zwischen zwei Messungen. Die Messung 1 wurde mit 100 Hz abgetastet und die Messung 2 mit 75 Hz. Für größere Scherraten ist anzunehmen, dass höhere Frequenzen auftreten. Liegen diese Frequenzen über der Nyquist Frequenz treten sie bei niedrigeren Frequenzen im Spektrum auf. Dies wird als Aliasing bezeichnet und wurde in Kap. 2.3 erläutert. Die Spitze der Messung 1 ist um 1,5 Hz nach rechts verschoben. Die Richtung würde für Aliasing entsprechen, aber die Größe der Verschiebung ist zu gering, um vom Aliasing her zu rühren. Für einen Unterschied in der Abtastfrequenz von 25 Hz müsste eine Frequenzverschiebung von ca. 24 Hz auftreten. Es scheint sich um Abweichungen zu handeln, die durch die Messung bestimmt sind. In der AKF und deren SLD, die in Abb. 4.8.c und d zu sehen sind, ist diese Verschiebung nicht mehr zu sehen. Dies liegt wieder an der Aufweitung der Spitzen. Die SLD in Abb. 4.8.b sind qualitativ ähnlich. Durch das Messen mit höheren Abtastfrequenzen gibt es keine signifikante Verschiebung. Damit ist gesichert, dass die gemessenen Frequenzen in diesem Bereich liegen.

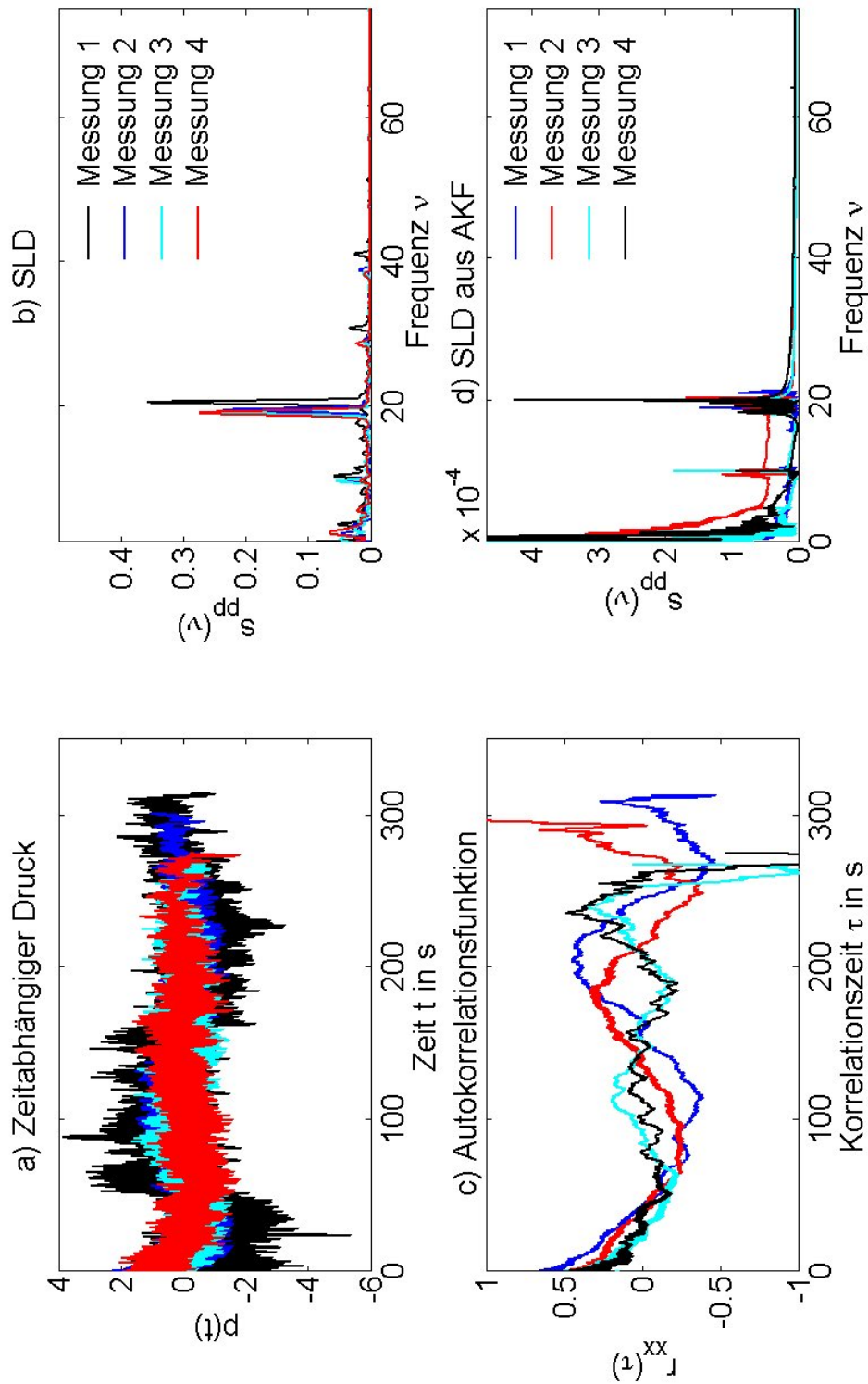


Abbildung 4.7: Reproduzierbarkeit der Messung für vier Messungen mit PE-1 bei $\theta = 180^\circ\text{C}$ und $\dot{\gamma}_{app} = 1963\text{ s}^{-1}$. Die Sensorposition ist 1. a) Druckkurven, b) SLD direkt aus dem Druck, c) AKF und d) SLD aus der AKF.

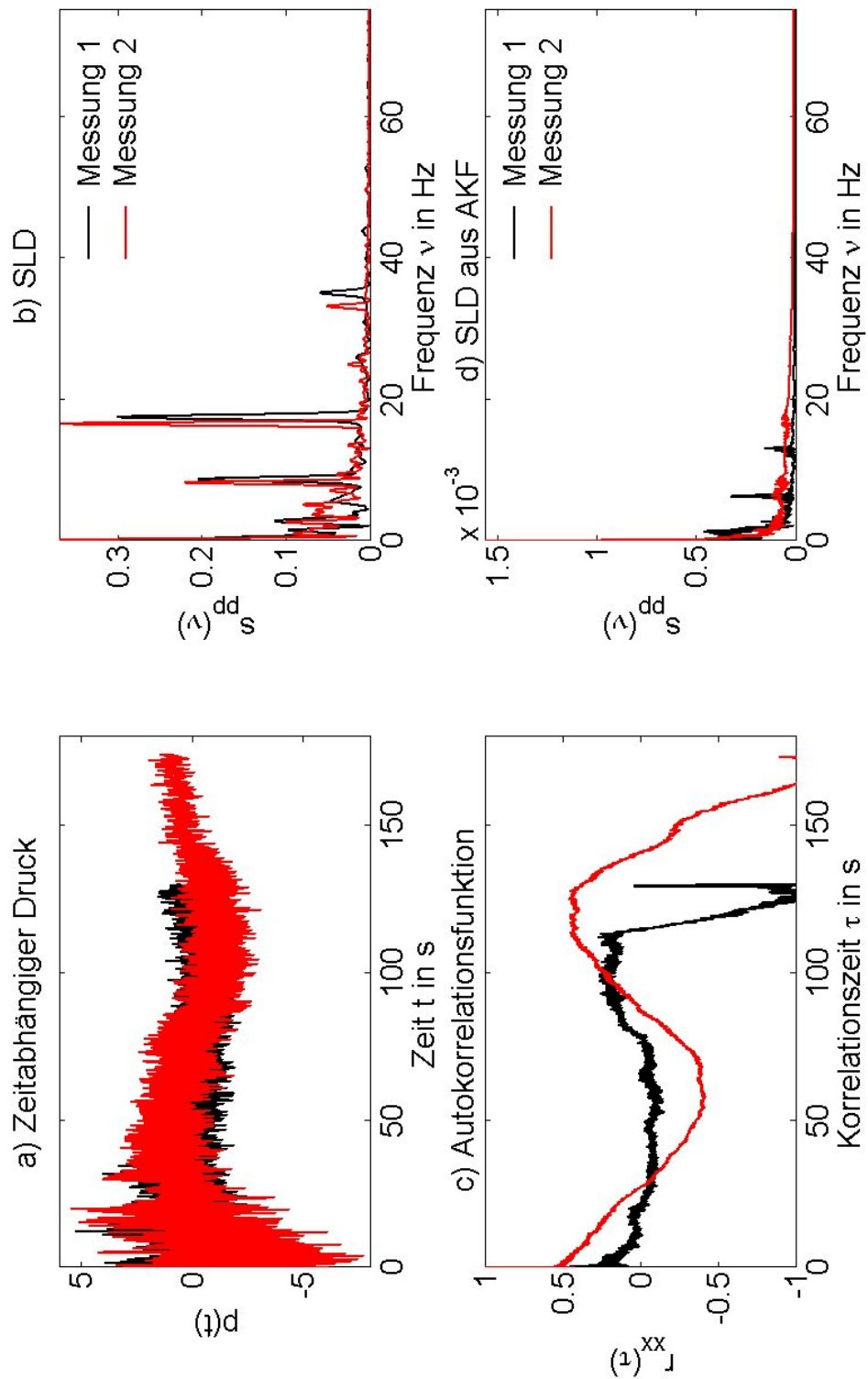


Abbildung 4.8: Vergleich von zwei Messung bei denen verschiedenen Abtatsfrequenzen benutzt wurden. PE-1 bei $\vartheta = 180^\circ\text{C}$ und $\dot{\gamma}_{\text{app}} = 3524 \text{ s}^{-1}$. Die Sensorposition ist 3. a) Druckkurven, b) SLD direkt aus dem Druck, c) AKF und d) SLD aus der AKF. Die Schwarze Kurve wurde mit 75 Hz und die blaue mit 100 Hz abgetastet.

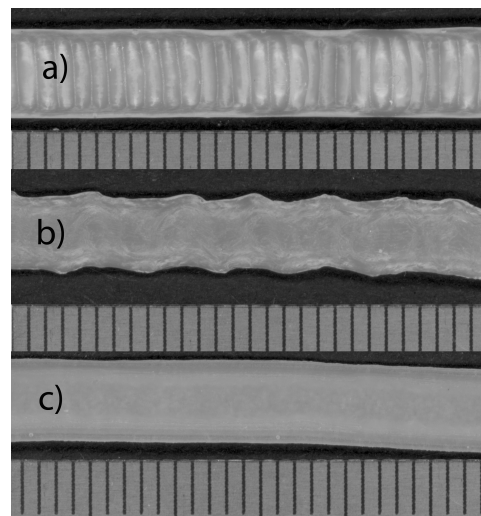


Abbildung 4.9: Form des Extrudats von a) PE-1 bei $\vartheta = 155\text{ °C}$ und $\dot{\gamma}_{ap} = 393\text{ s}^{-1}$, b) PE-1 bei $\vartheta = 155\text{ °C}$ und $\dot{\gamma}_{ap} = 1610\text{ s}^{-1}$ und c) PE-1 bei $\vartheta = 180\text{ °C}$ und $\dot{\gamma}_{ap} = 5890\text{ s}^{-1}$. Oben im Bild ist jeweils das Extrudat zu sehen darunter jeweils ein Lineal mit 1 mm Strichabstand.

4.2 Erweiterung auf das System PE-1

Die Messreihe II erweitert die Ergebnisse der Messreihe I für das PE-1 auf

- die Temperatur $\vartheta = 155\text{ °C}$ und
- höhere scheinbare Scherraten $\dot{\gamma}_{ap} = 5890\text{ s}^{-1}$.

Bei der Messung für die niedrigere Temperatur von 155 °C ist eine neue Erscheinungsform des Extrudats zu beobachten. Sie ist in Abb. 4.9.a zu sehen. Das Extrudat zeigt eine deutlich sichtbare Periodizität. Diese Periodizität ist zu beobachten bei scheinbaren Scherraten im Bereich von $393\text{ - }589\text{ s}^{-1}$. D.h. die Zuordnung zu einer Fließanomalie ist nicht eindeutig. Am besten passt sie in die Sharkskin Kategorie. In den Funktionsgraphen für Druck in Abb. 4.10 zeigt sie keine Periodizitäten. Die SLD des dritten Sensors zeigt eine charakteristische Spitze für die Größenordnung der Frequenz von 1 Hz. Dies ist in den Abb. 4.10.b und 4.10.d zu sehen. Ähnliches lässt sich für 589 s^{-1} beobachten. Die AKF aus der Abb. 4.10.c zeigt für den Sensor 3 einen schnellen Verlust der Korrelation mit $\tau_{0,8} \approx 0,1\text{ s}$. Dies ist auch bei 589 s^{-1} zu beobachten. Der Sensor 1 verliert deutlich langsamer an Korrelation $\tau_{0,8} \approx 25\text{ s}$. Die AKF der Sensoren 1 und 2 zeigen eine sinusförmige langwellige Schwingung ($T \approx 500\text{ s}$) mit der mittleren Amplitude von 0,2.

Als nächstes wurde bei gleicher Temperatur (155 °C) bei einer scheinbaren Scherrate von 1610 s^{-1} gemessen. Das Extrudat zeigt Schmelzbruch

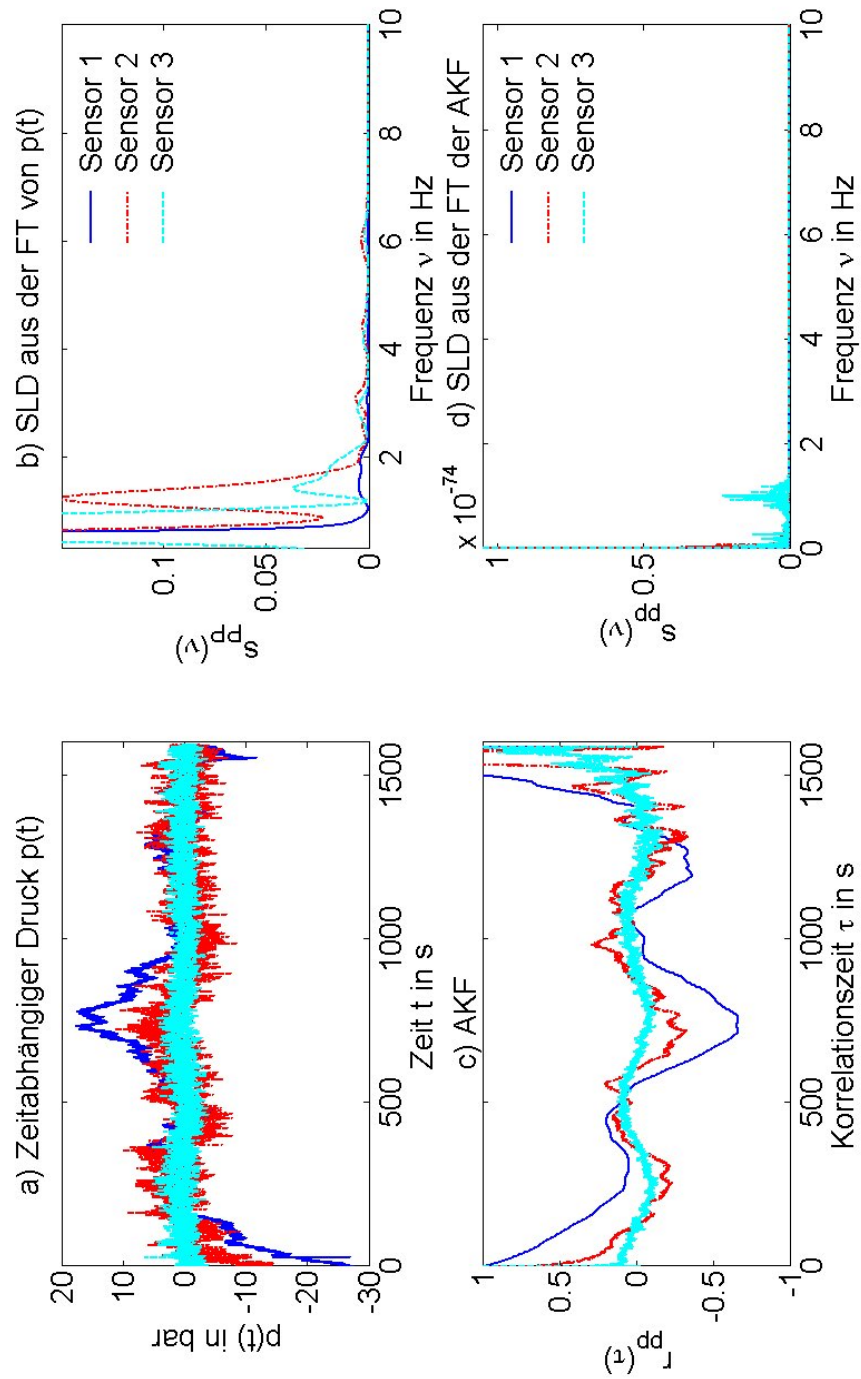


Abbildung 4.10: PE-1 bei $\vartheta = 155\text{ }^\circ\text{C}$ und $\dot{\gamma}_{ap} = 393\text{ s}^{-1}$: a) Druckkurven, b) SLD direkt aus dem Druck, c) AKF und d) SLD aus der AKF.

(Melt-Fracture). Dies ist in Abb. 4.9.b abgebildet. Die SLD Abb. 4.11.b und 4.11.d haben jeweils eine breite Spitze in dem Frequenzbereich von 3-8 Hz. In der SLD aus Abb. 4.11.b ist die Spitze in mehrere Spitzen aufgespalten. Dies wird durch das Gauß Fenster verursacht. Die Spitze in der SLD aus Abb. 4.11.c ist nur von geringer Intensität. Sie ist als Merkmal zur klaren Charakterisierung schlecht geeignet. Da sie auch als breite 0 Hz Spitze gedeutet werden kann. In der AKF in Abb. 4.11.c sinkt die Korrelation aller Sensoren mit $\tau_{0,8} = 0,016$ s schnell ab. Danach bleibt die AKF in einem engen Band um die τ -Achse. Diese Fließanomalie ist klar als Schmelzbruch (Melt-Fracture) zu zuordnen. Die Resultate der Messungen bei $\dot{\gamma}_{ap} = 4712$ s^{-1} in Abb. 4.12 zeigen ein qualitativ gleiches Verhalten, wie die Resultate der Messung bei $\dot{\gamma}_{ap} = 5890$ s^{-1} aus Abb. 4.13. Das Extrudat ist in Abb. 4.9.c zu sehen.

Der Druck in den Abb. 4.12.a zeigt anfangs große Fluktuationen, die über die Dauer des Versuchs nachlassen. Dies ist auch bei der höheren Scherrate zu beobachten.

In der SLD aus dem Druck in der Abb. 4.12.b sind zwei Spitzen zu erkennen. In Abb. 4.12.b liegen sie bei ca. 7 Hz und 12 Hz. Für $\dot{\gamma}_{ap} = 5890$ s^{-1} in Abb. 4.13.b liegen sie bei ca. 4 Hz und 12 Hz. Dabei ist auffallend, dass der Versuch mit der höheren Frequenz seine Frequenzanteile bei niedrigeren Frequenzen hat. Dies ist contra intuitiv.

Ähnliches zeigt sich bei der SLD, die über die AKF bestimmt wurde. In Abb. 4.12.d sind zwei Spitzen bei ca. 4 Hz und 12 Hz zu erkennen. In Abb. 4.13.d für $\dot{\gamma}_{ap} = 5890$ s^{-1} ist eine breite Spitze bei 4 Hz zu erkennen. Die AKF in der Abb. 4.12.c zeigt ein qualitativ gleiches Verhalten, wie $\dot{\gamma}_{ap} = 5890$ s^{-1} . Sie verlieren beide schnell an Korrelation ($\tau_{0,8} \approx 0,015$ s). Nach Erreichen der τ -Achse fluktuiert die AKF in einem Band von $\pm 0,15$ um diese.

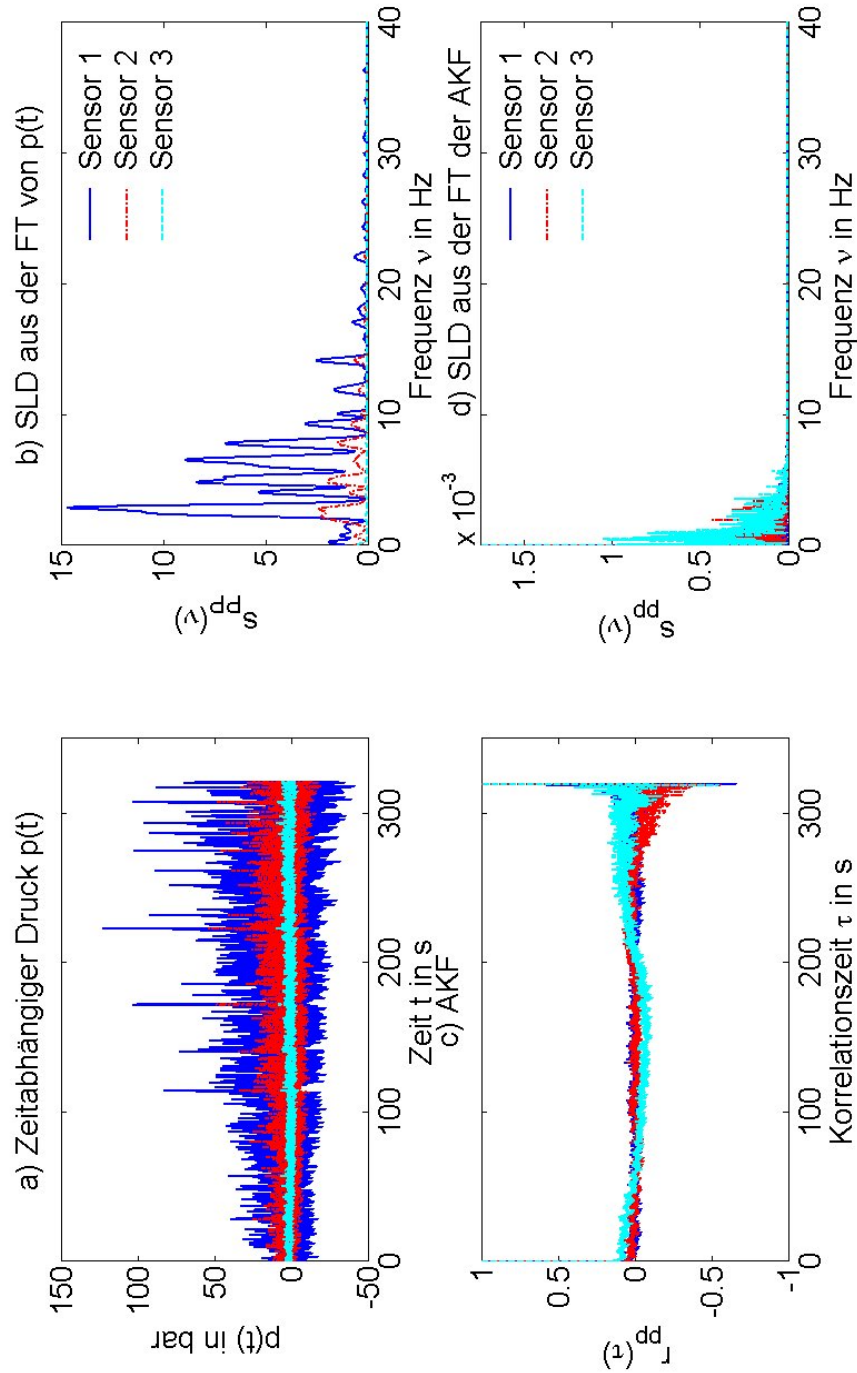


Abbildung 4.11: PE-1 bei $\vartheta = 155 \text{ °C}$ und $\dot{\gamma}_{ap} = 1610 \text{ s}^{-1}$: a) Druckkurven, b) SLD direkt aus dem Druck, c) AKF und d) SLD aus der AKF.

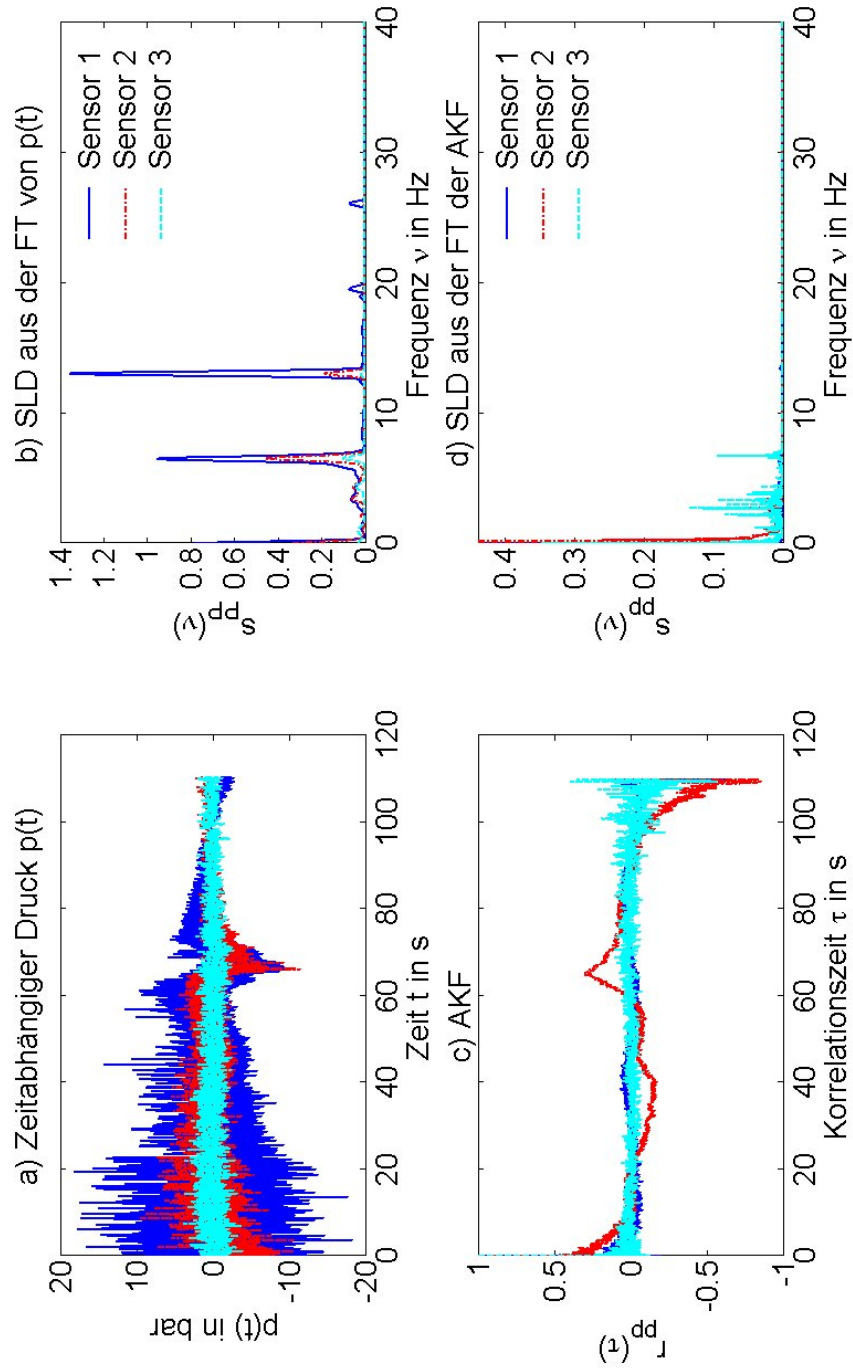


Abbildung 4.12: PE-1 bei $\vartheta = 180^\circ\text{C}$ und $\dot{\gamma}_{ap} = 4712\text{ s}^{-1}$: a) Druckkurven, b) SLD direkt aus dem Druck, c) AKF und d) SLD aus der AKF.

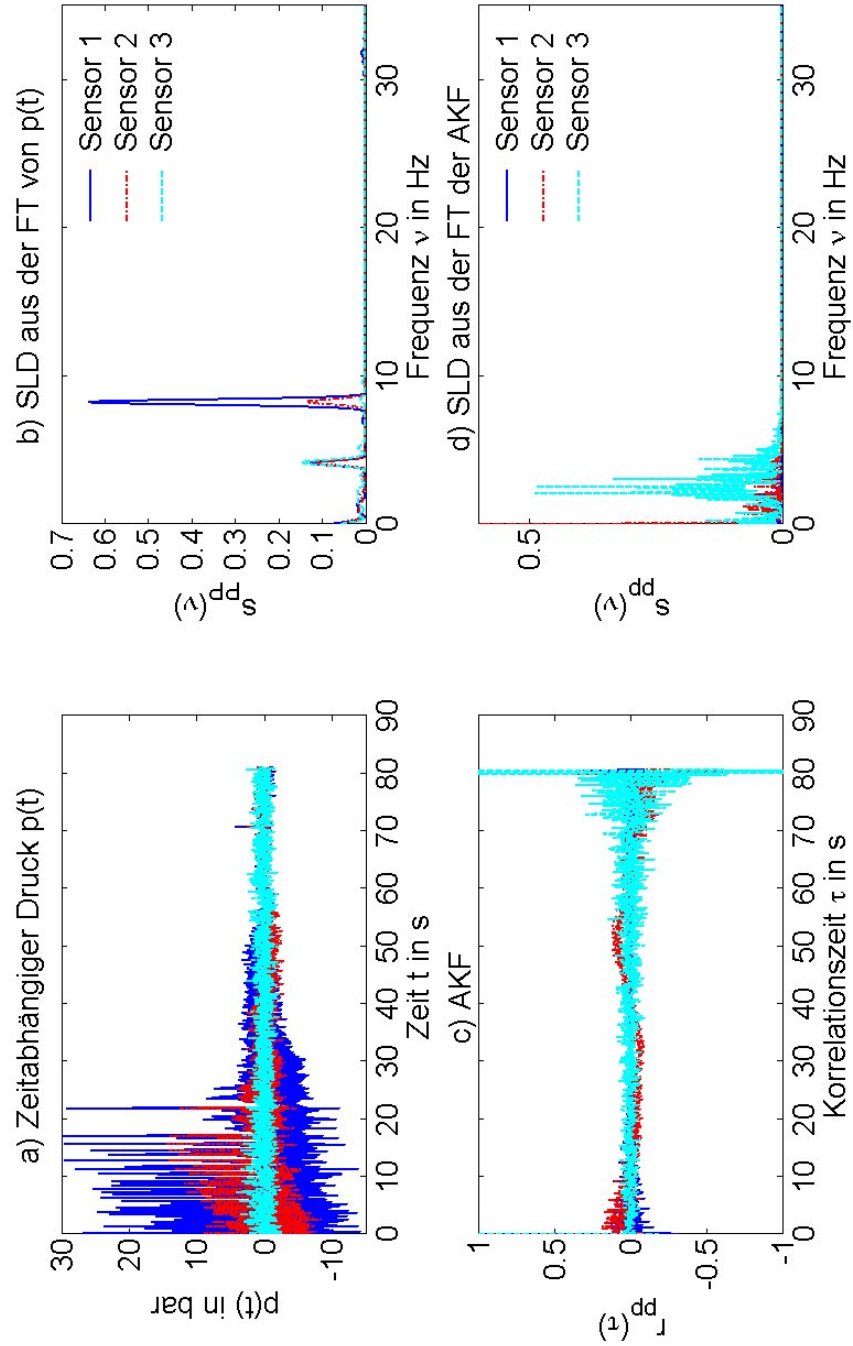


Abbildung 4.13: PE-1 bei $\vartheta = 180^\circ\text{C}$ und $\dot{\gamma}_{ap} = 5890 \text{ s}^{-1}$: a) Druckkurven, b) SLD direkt aus dem Druck, c) AKF und d) SLD aus der AKF.

4.3 Verallgemeinerung auf andere Polymer Systeme

Die Messreihe III dient zur Untersuchung von Fließanomalien bei weiteren Polymeren. Im Rahmen der durchgeführten Experimente zeigte sich nur Sharkskin und Schmelzbruch (Melt-Fracture). Für das Polymer PE-3 wurden

- a. Sharkskin bei 196 s^{-1} und
- b. Sharkskin für 1217 s^{-1}

gefunden.

Die Versuche von a. charakterisieren sich durch eine starke periodische Oszillation des Druckes in Abb. 4.15.a und der AKF in Abb. 4.15.c. Diese beiden Argumente sprechen für Stick-Slip. In der SLD aus dem Druck in der Abb. 4.15.b zeigen sich Spitzen bei Frequenzen von ca. 1,5 Hz. Die SLD aus der AKF in Abb. 4.15.d zeigt keine Frequenzanteile. Optisch ist die Messung Sharkskin zu zuordnen (siehe Abb. 4.14.a).

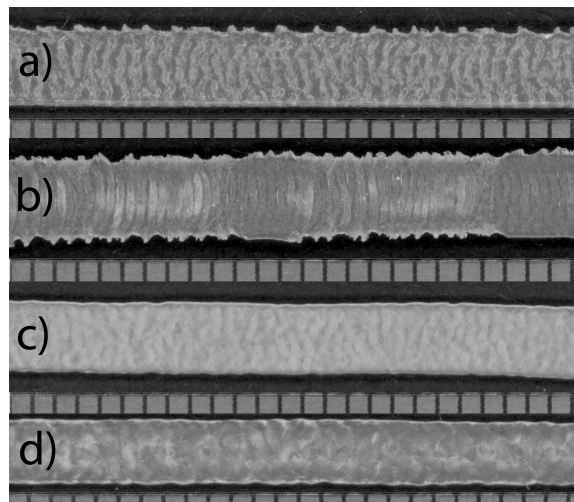


Abbildung 4.14: Extrudatprobe von a) PE-3 bei $\vartheta = 160 \text{ }^\circ\text{C}$ und $\dot{\gamma}_{ap} = 196 \text{ s}^{-1}$, b) PE-3 bei $\vartheta = 160 \text{ }^\circ\text{C}$ und $\dot{\gamma}_{ap} = 1217 \text{ s}^{-1}$, c) PE-4 bei $\vartheta = 180 \text{ }^\circ\text{C}$ und $\dot{\gamma}_{ap} = 1963 \text{ s}^{-1}$ und d) PE-2 bei $\vartheta = 180 \text{ }^\circ\text{C}$ und $\dot{\gamma}_{ap} = 3534 \text{ s}^{-1}$. Jeweils oben im Bild ist das Extrudat zu sehen, darunter jeweils ein Lineal mit 1 mm Strichabstand.

Die Versuche in b. zeigen ein klares Sharkskin Verhalten. Dies ist an dem Extrudat in Abb.4.14.b mit bloßem Auge zu erkennen. In der SLD in Abb. 4.16.b und 4.16.d ist jeweils eine Spitze mit einer Frequenz von 1,5 Hz erkennbar. Diese Spitze zeigt sich in den beiden SLD und auch bei wiederholter Messung. In Abb. 4.16.c ist AKF aufgetragen. Sie verliert schnell ($\tau_{0,08} < 0,015 \text{ s}$) an Korrelation. Danach bleibt sie in einem Band von 0,1 um die τ -Achse.

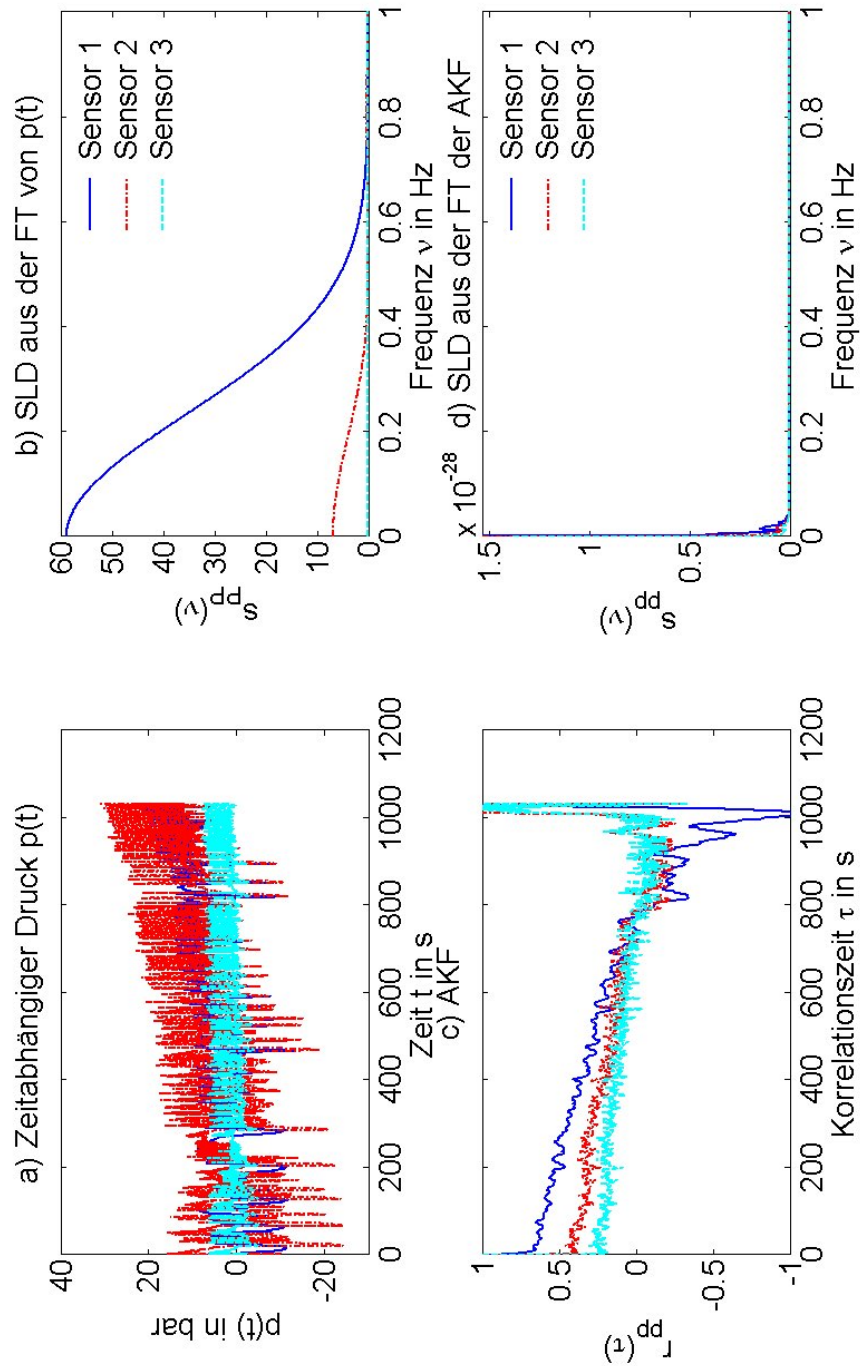


Abbildung 4.15: PE-3 bei $\vartheta = 160$ °C und $\dot{\gamma}_{ap} = 196$ s⁻¹: a) Druckkurven, b) SLD direkt aus dem Druck, c) AKF und d) SLD aus der AKF.

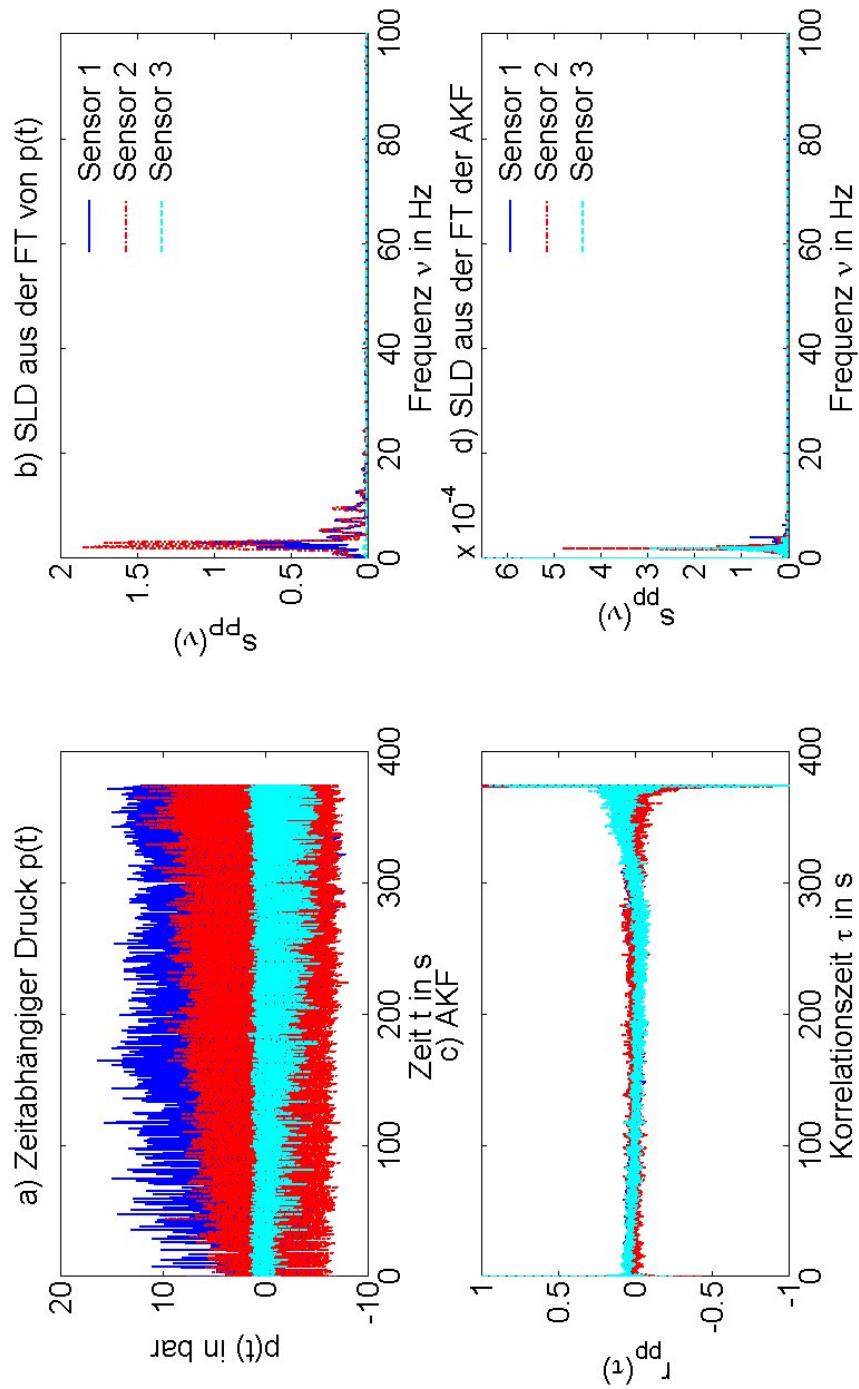


Abbildung 4.16: PE-3 bei $\vartheta = 160$ °C und $\dot{\gamma}_{ap} = 1217$ s⁻¹: a) Druckkurven, b) SLD direkt aus dem Druck, c) AKF und d) SLD aus der AKF.

Die folgenden Messungen wurden an PE-4 durchgeführt bei 180 °C mit den scheinbaren Scherraten von

- c. 1963 s^{-1} und
- d. 3534 s^{-1} .

Das Extrudat der beiden Versuche c und d zeigt Melt Fracture. Dies ist in Abb. 4.14.c zu sehen. Beide Messungen zeigen qualitativ gleiches Verhalten. Die beiden SLD aus den Abb. 4.17.b und 4.17.d zeigen eine Spitze bei der Frequenz von 2 Hz. Die Spitze in den Abb. 4.17.b ist auf mehrere benachbarte Spitzen verteilt. Dieses Verhalten ist durch das Gauß Fenster bedingt. Die AKF aus der Abb. 4.17.c nimmt schnell an Korrelation ab ($\tau_{0,8} < 0,04 \text{ s}$). Im weiteren Verlauf fluktuiert sie in einem Band von $\pm 0,15$ um die τ -Achse.

Abschließend wurde noch PE-2 auf seine Schmelzbruch (Melt-Fracture) Fließanomalie (Abb.4.14.d) untersucht. Diese stellte sich bei 180°C und 1963 s^{-1} ein. Die Resultate in den Abb. 4.18 sind qualitativ denen von zuvor besprochenen PE-4 ähnlich. In Abb. 4.18.b und 4.18.d ist eine 1 Hz breite Spitze in der SLD zu sehen. Ein schneller Verlust der Korrelation mit $\tau_{0,8} \approx 0,07 \text{ s}$ ist in Abb. 4.18.c zu erkennen. Die AKF verbleibt in einem Band der Breite 0,15 um die τ -Achse. Innerhalb dieses Bandes ist eine langwellige ($T \approx 500 \text{ s}$) kosinusförmige Oszillation für den Sensor 3 zu beobachten.

Diese Resultate für den Schmelzbruch bei PE-2 sind qualitativ gleich denen von Schmelzbruch bei PE-4.

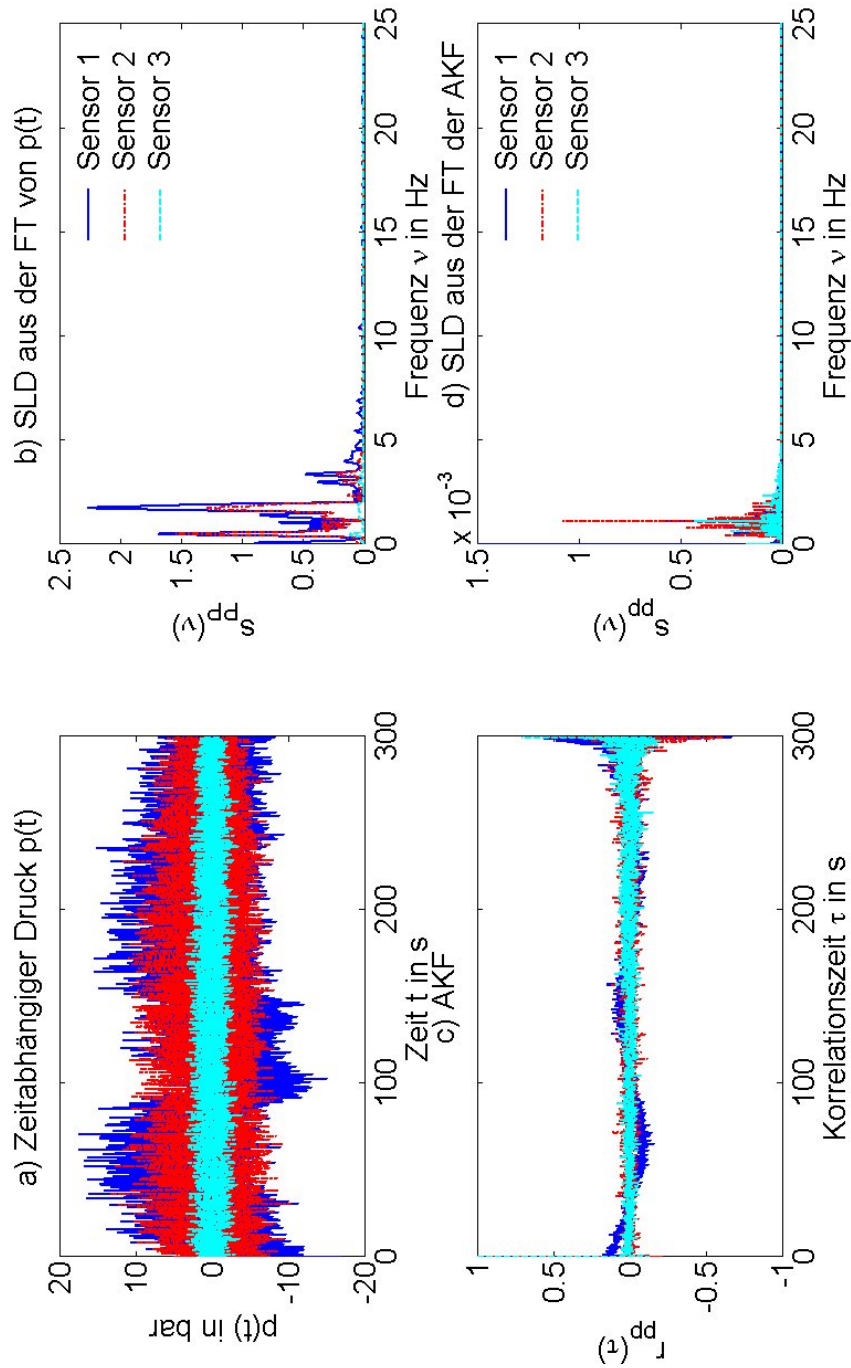


Abbildung 4.17: PE-4 bei $\vartheta = 180\text{ }^\circ\text{C}$ und $\dot{\gamma}_{ap} = 1963\text{ s}^{-1}$: a) Druckkurven, b) SLD direkt aus dem Druck, c) AKF und d) SLD aus der AKF.

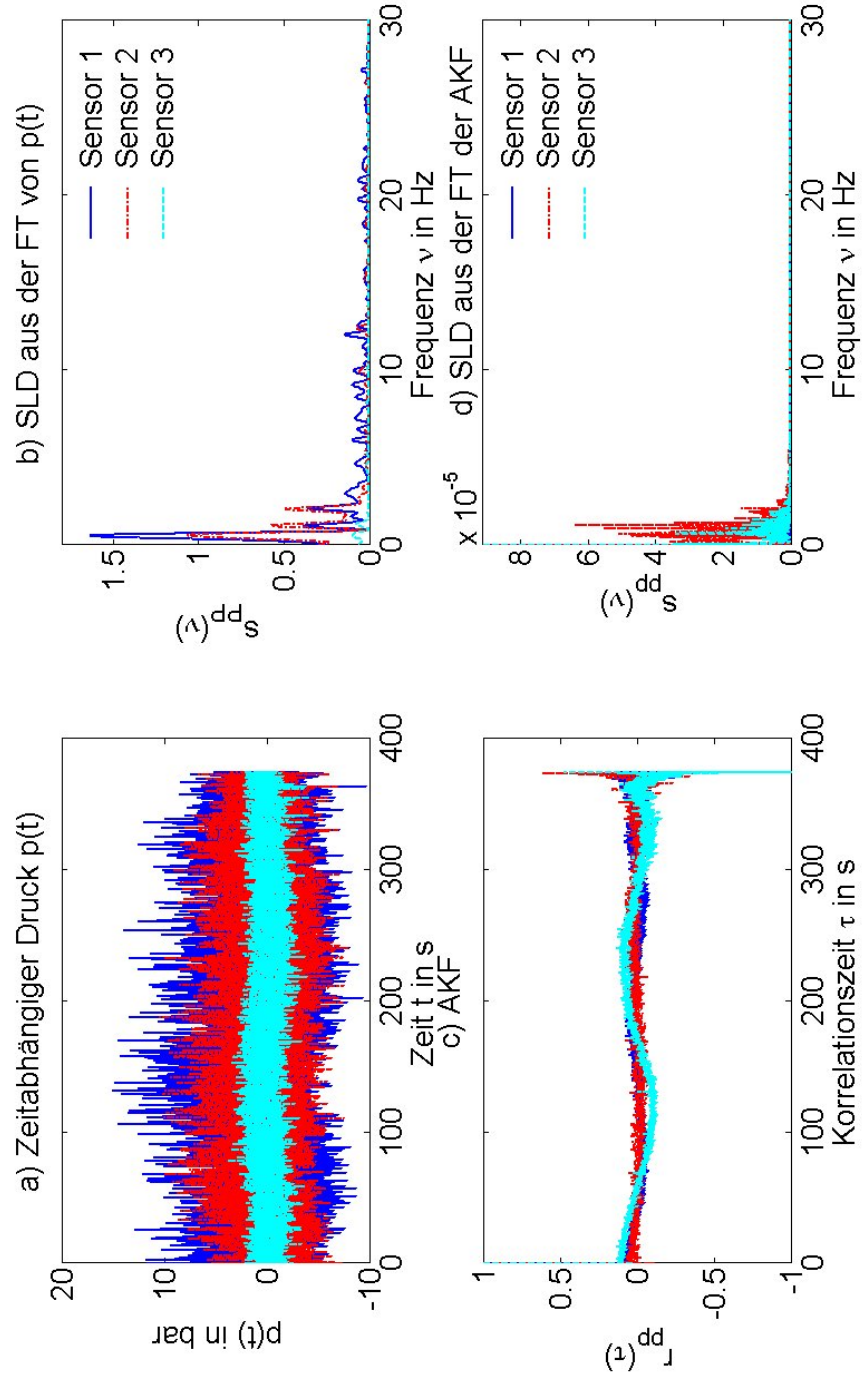


Abbildung 4.18: PE-2 bei $\vartheta = 180^\circ\text{C}$ und $\dot{\gamma}_{ap} = 1963\text{ s}^{-1}$: a) Druckkurven, b) SLD direkt aus dem Druck, c) AKF und d) SLD aus der AKF.

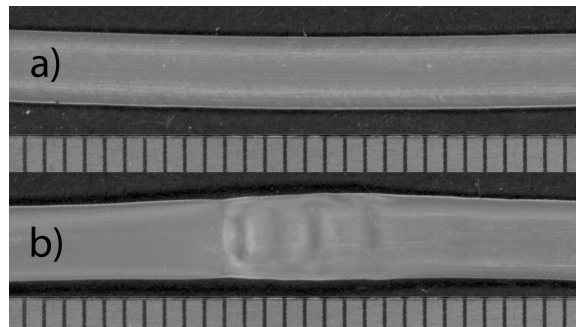


Abbildung 4.19: Bilder der Extrudatprobe von PE-1 bei $\vartheta = 180\text{ °C}$ und $\dot{\gamma}_{app} = 314\text{ s}^{-1}$ mit a) Sharkskin und b) Stick-Slip. Oben im Bild ist jeweils das Extrudat zu sehen darunter jeweils ein Lineal mit 1 mm Strichabstand.

4.4 Stick-Slip Anomalie

Für die Messungen des Polymers PE-1 bei $\vartheta = 180\text{ °C}$ und $\dot{\gamma}_{app} = 314\text{ s}^{-1}$ lässt sich beobachten, dass die Stick-Slip Fließanomalie sich nicht bei allen Versuchen zeigt. Da zwischen den einzelnen Messungen mit anderen Polymeren stattfanden, stellt sich die Frage, ob Verunreinigungen durch andere Polymere Einfluss auf das Fließverhalten haben. Es wurden zwei Arten von Versuchen gefahren:

1. Messungen bei denen zuvor mindestens 3 Messungen mit gleicher Sorte von Polymer stattfanden und
2. Messungen bei denen direkt vor der Messung mit PE-2 gemessen wurde.

Repräsentativ für die Ergebnisse der Messart 1 sind die Abb. 4.19.a und die Resultate aus Kap. 4.1. Das Extrudat zeigt klares Stick-Slip Verhalten, wie in Abb. 4.19.a zu sehen ist und es Kap. 4.1 beschreibt.

Die Resultate der Messart 2 sind in den Abb. 4.19.a und 4.20 zu sehen. An der Extrudatprobe in Abb. 4.19.a zeigt sich, dass der Typus der Fließanomalie dem Sharkskin zugeordnet ist. In der SLD (Abb. 4.20.b und 4.20.d) treten Spitzen bei 0,1 Hz auf und sind am stärksten an der Sensorposition 3. Die AKF in Abb. 4.20.c verliert langsamer die Korrelation, als die für Stick-Slip. Außerdem sind keine periodischen Oszillationen sichtbar.

Daraus folgt, dass eine kleine Verunreinigung durch fremde Polymere die Erscheinungsform des Extrudats und des Polymers beeinflusst.

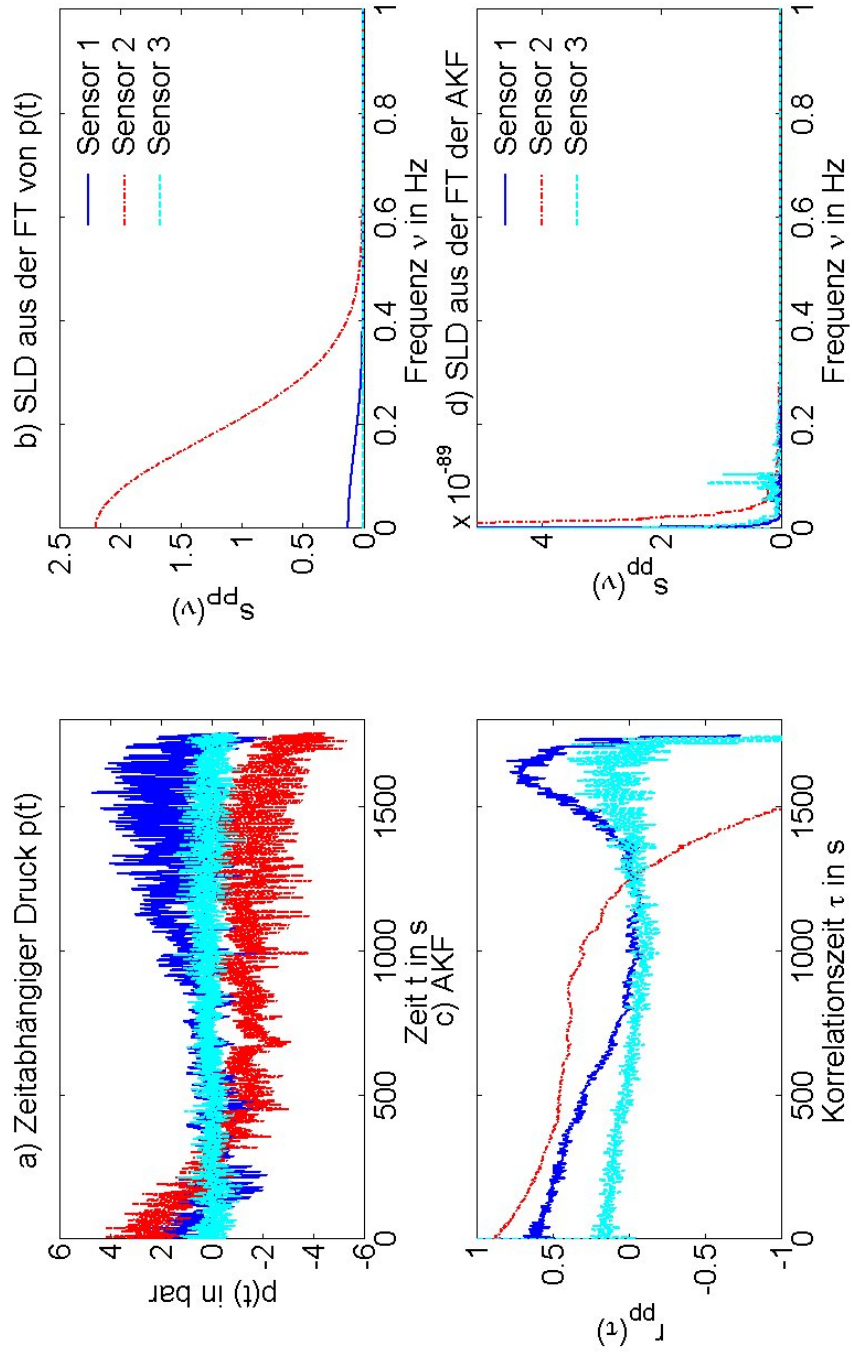


Abbildung 4.20: Druck und dessen SLD für PE-1 bei $\vartheta = 180$ °C und $\dot{\gamma}_{ap} = 314$ s^{-1} .

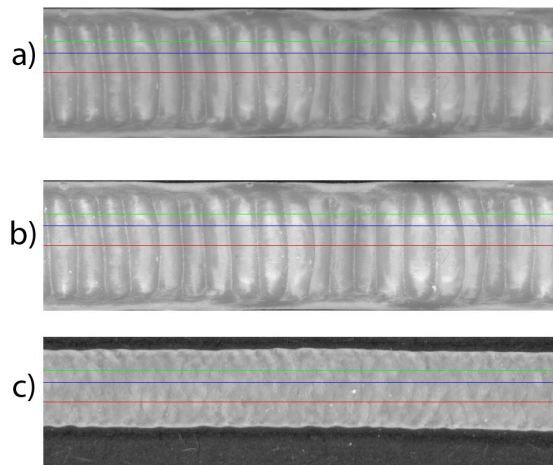


Abbildung 4.21: Bild der Ausschnitte der Extrudate von a) PE-1 bei $\vartheta = 155\text{ °C}$ und $\dot{\gamma}_{ap} = 393\text{ s}^{-1}$ ungefiltertes Bild, b) PE-1 bei $\vartheta = 155\text{ °C}$ und $\dot{\gamma}_{ap} = 393\text{ s}^{-1}$ gefiltertes Bild und c) PE-4 bei $\vartheta = 180\text{ °C}$ und $\dot{\gamma}_{ap} = 1963\text{ s}^{-1}$ gefiltert. Die farbigen Linien entsprechen den Testzeilen, deren FT in Abb. 4.23 dargestellt ist.

4.5 Optische Analyse der Instabilitäten

Resultierend aus der Auflösung der Bilder ergab die Bildanalyse nur nennenswerte Resultate für Proben mit deutlich sichtbaren Defekten an der Oberfläche. Dabei waren Sharkskin und Melt-Fracture die einzigen, die der Analyse zur Verfügung standen, da bei dem gefundenen Stick-Slip die Bereiche der Anomalien ca. 10 cm auseinander liegen. Dies ist für die verwendete Methode zur Bilderstellung zu groß.

Für Sharkskin für PE-1 bei $\vartheta = 155\text{ °C}$ und $\dot{\gamma}_{app} = 393\text{ s}^{-1}$ ergab sich eine FFT wie in Abb. 4.22 zu sehen. Darin sind deutlich Spitzen über die gesamte Breite des Extrudats bei 50 und 100 Pixel zu sehen. Das ursprüngliche Bild des Extrudats ist in Abb. 4.21.a oben zu sehen und das gefilterte in Abb. 4.21.b unten. Die FFT Spektren und die Intensitätskurven für drei Testzeilen ist in Abb. 4.23 zu sehen.

Im Vergleich dazu ist eine Probe mit Melt-Fracture zu sehen. Die Abb. 4.21.c zeigt das gefilterte Bild von PE-4 bei $\vartheta = 180\text{ °C}$ und $\dot{\gamma}_{app} = 1610\text{ s}^{-1}$. In Abb. 4.24 ist die FFT aller Zeilen zu sehen. Hier sind keine charakteristischen Spitzen zu sehen.

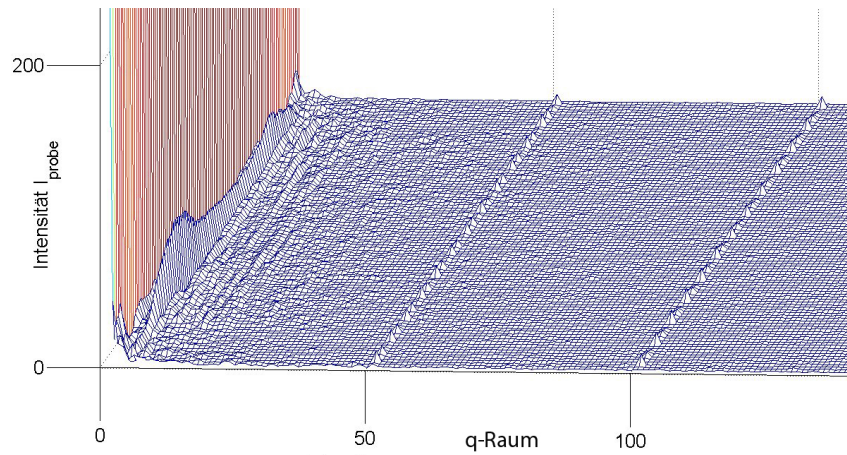


Abbildung 4.22: 3D-Plot der FFT für PE-1 bei $\vartheta = 155^\circ\text{C}$ und $\dot{\gamma}_{app} = 393 \text{ s}^{-1}$.

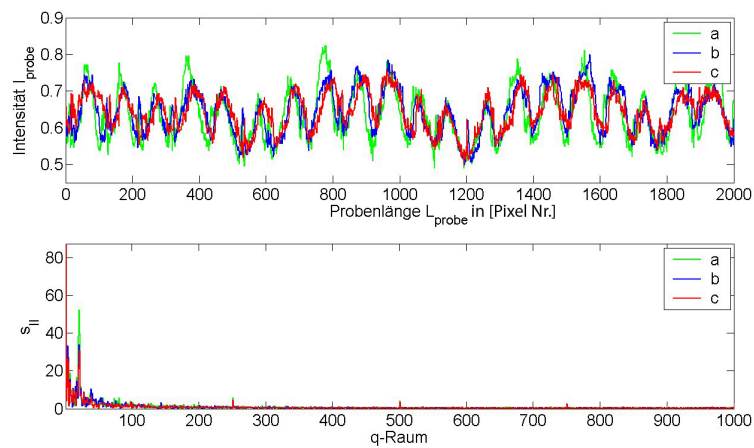


Abbildung 4.23: Plot der Intensität und der SLD für die drei Testzeilen bei PE-1 bei $\vartheta = 155^\circ\text{C}$ und $\dot{\gamma}_{app} = 393 \text{ s}^{-1}$. Die Farben sind analog zu denen aus Abb. 4.21

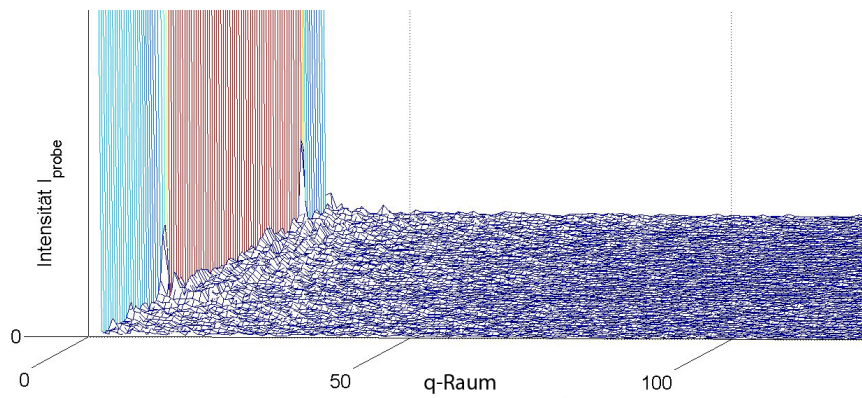


Abbildung 4.24: 3D-Plot der FFT für PE-4 bei $\vartheta = 180^\circ\text{C}$ und $\dot{\gamma}_{app} = 1963 \text{ s}^{-1}$.

4.6 Zusammenfassung von Kapitel 4

Aus den Resultate der in diesem Kapitel besprochenen Messungen hat sich ein Gesamtbild ergeben, dass sich wie folgt darstellt. Die Druckkurve des gemessenen Drucks liefert mit der Standardabweichung des Drucks eine einfache Größe zur Klassifizierung der Fließanomalie. Dabei sprechen hohe Standardabweichungen für Stick-Slip und sehr kleine Standardabweichungen für glattes Extrudat. Dazwischen liegen Sharkskin und Melt-Fracture. Diese beiden liegen eng bei einander. Die Höhe der Standardabweichung des Drucks wird von der Temperatur und dem verwendeten Polymer beeinflusst. Es lassen sich keine absoluten Grenzen geben.

Die AKF liefert eine klare Trennlinie zwischen glattem Extrudat und allen anderen Fließanomalien. Dafür ist die Anfangssteigung der AKF die entscheidenden Größe. Glattes Extrudat verliert wesentlich langsamer an Korrelation, als die Fließanomalien. Im Weiteren, kann an der AKF Kurve Stick-Slip durch seine deutlichen Oszillationen erkannt werden. Die Sharkskin und Melt-Fracture Fließanomalie zeichnen sich durch ähnliches Verhalten aus. Schneller Verlust der Korrelation und verbleib der Kurve in einem engen Band um die τ -Achse. Die SLD gibt eine Möglichkeit Sharkskin von Melt-Fracture zu unterscheiden. Bei Sharkskin stellt sich in der SLD durch enge Spitzen dar. Während für Melt-Fracture breitere Spitzen typisch sind. Dabei spielt die Art und Weise, wie die SLD berechnet wurde keine Rolle. Sowohl die direkt aus dem Druck bestimmte, als auch die aus der AKF bestimmte, SLD weisen das gleiche qualitative Verhalten auf. Der einzige Unterschied liegt in dem verrauschteren Spektrum und den aufgeweiteten Spitzen in der SLD aus der AKF.

Diese Charakteristiken ergaben sich, soweit vorhanden, für alle behandelten Polymere und auch bei verschiedenen Temperaturen.

Außerdem wurde noch beobachtet, dass Verunreinigungen durch andere Polymere, die Messung beeinflussen können. Es können somit Fließanomalien erzeugt werden, die nicht charakteristisch für das eigentliche Polymer sind.

Kapitel 5

Diskussion

In diesem Kapitel werden die Resultate aus dem Kap. 4 zusammengetragen und es wird versucht aus ihnen ein Schema zur Charakterisierung von Fließanomalien zu erstellen. Außerdem wird diskutiert, in wie weit die Beobachtungen der mathematischen Theorie entsprechen. Am Ende wird noch ein Ausblick auf potentielle zukünftige Arbeiten gegeben.

5.1 Charakteristika der Fließanomalien

In dem beobachteten Spektrum an Versuchen ergab sich nur für PE-1 bei 180 °C bis zu $\dot{\gamma}_{ap} = 196 \text{ s}^{-1}$ ein deutlich sichtbar glattes Extrudat. Da sich keine Veränderungen an der Oberfläche des Extrudats zeigen, ist eine geringe Standardabweichung des Drucks vom mittleren Druck die logische Konsequenz. Dies zeigten die Versuche der Messreihe I. Für den stationären Betrieb, bzw. stationäre Extrusion, sollte ein konstanter Druck herrschen. Dies konnte bis auf die Sensor spezifische Drift auch festgestellt werden. Damit ergibt sich für die stationäre Druckfunktion eine Konstante, wie dies in Abb. 5.1.a beispielhaft dargestellt ist. Die Autokorrelationsfunktion einer solchen Funktion müsste idealer Weise eins sein. In der realen Messung tritt eine Änderung des Drucks über lange Zeit auf, damit ist die Autokorrelationsfunktion nicht permanent eins. Es zeigt sich, dass sie langsam abfällt. Da nun die Theorie sowohl die Autokorrelationsfunktion als auch die Druckfunktion als konstant beschreibt, ergibt sich eine spektrale Leistungsdichte von ihnen, die außer dem 0 Hz Maximum keine andere Anteile aufweist. Dies zeigt sich sehr gut in den bestimmten spektrale Leistungsdichte. Damit lässt sich die Charakteristik von glattem Extrudat darstellen wie in Abb. 5.1.a.

Auch bei der Beobachtung der Stick-Slip Fließanomalie ergaben sich keine ausreichenden Vergleichsmöglichkeiten. Stick-Slip konnte nur für PE-1 gefunden werden. Stick-Slip ergab sich unter den Bedingungen 180 °C und $\dot{\gamma}_{ap} = 314 \text{ s}^{-1}$. Erschwerend kommt hinzu, dass es zudem nur unter

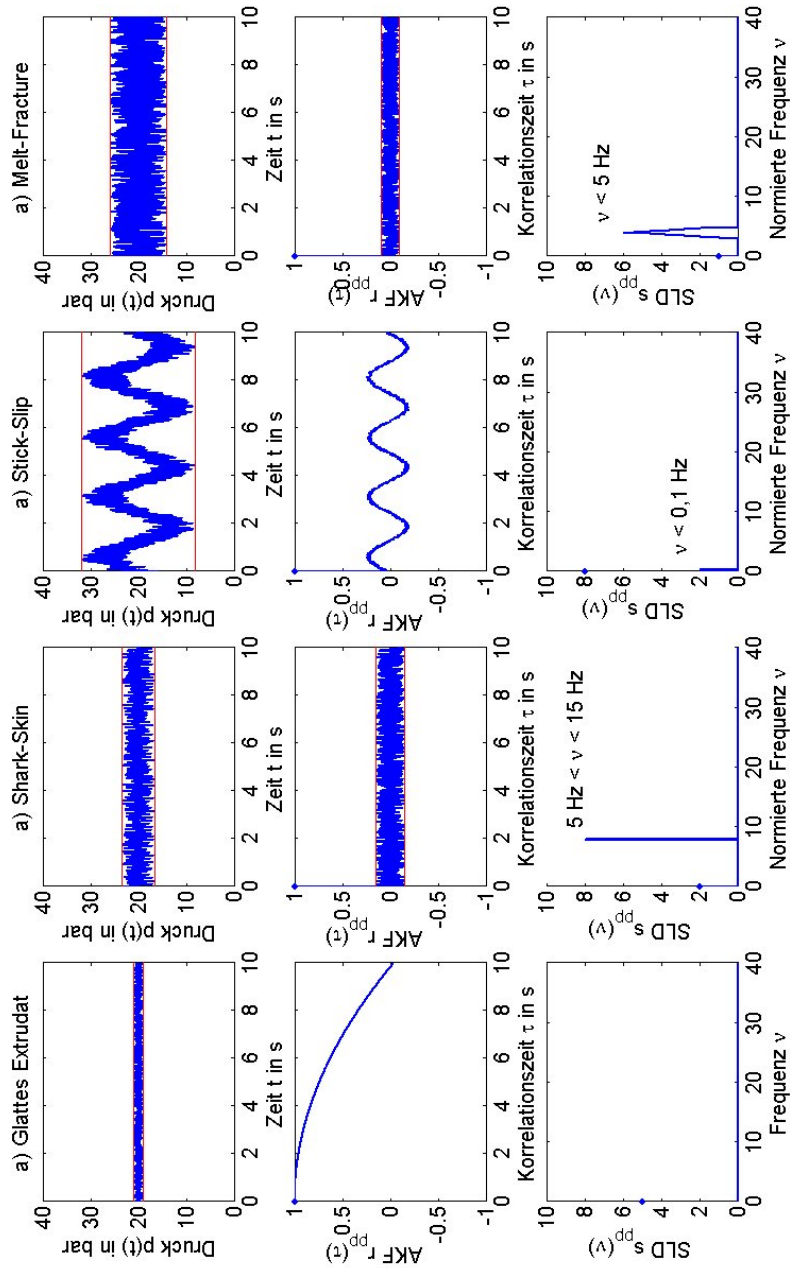


Abbildung 5.1: Schema für den Druck, Autokorrelationsfunktion und spektrale Leistungsdichte bei den verschiedenen Fließphänomenen. a) glattes Extrudat, b) Sharkskin, c) Stick-Slip und d) Melt-Fracture. (Blau) Funktionskurve, (rot) einhüllende Hilfskurve. In der Autokorrelationsfunktion und der spektralen Leistungsdichte sind die Anfangspunkte mit 'o' markiert.

der Voraussetzung von Verunreinigungen entsteht. Dies ist auch die Erklärung für das vorzeitige Auftreten dieser Anomalie. Die Literatur [38], [35] und [11] beschreibt die Abfolge der Fließanomalien, bei Erhöhung der Scherrate:

1. Glatt,
2. Sharkskin,
3. Stick-Slip,
4. Schmelzbruch (Melt-Fracture).

Aus den beschriebenen Messungen ergab sich eine Vertauschung zwischen 2 und 3. Diese Vertauschung hat wahrscheinlich ihren Ursprung in der Beeinflussung des Versuchablaufs durch die Verunreinigungen. Die Charakteristik der Stick-Slip Fließanomalie zeigte sich wie folgt. Ihr Druckverlauf weist große als periodisch zu erkennenden Oszillationen auf. Dies ist bedingt durch das sich abwechselnde Haften und Gleiten an der Wand (siehe [39]). In der Autokorrelation sollte sich diese auch zeigen. Ein einfaches Beispiel dafür ist die Sinusschwingung, welche sich als Kosinusfunktion in der Autokorrelationsfunktion darstellt. In der Autokorrelationsfunktion zeigte sich wieder eine Schwingung. Damit sollte die spektrale Leistungsdichte Frequenzanteile in Form von Spitzen aufweisen. Diese sollten bei niedrigen Frequenzen liegen. Dies zeigte sich bei Frequenzen kleiner als 0,1 Hz. Aber nur in der spektrale Leistungsdichte, die über die Autokorrelationsfunktion bestimmt wurde. Eine Serie an Musterkurven ist in Abb. 5.1.b gegeben.

Die Sharkskin Fließanomalie konnte für mehrere Polymere und Temperaturen gefunden werden. Ihr Extrudat zeigt schnelle periodische Defekte. Damit lässt sich folgern, dass der Druckverlauf Oszillationen unterliegt und damit in der spektralen Leistungsdichte diese sich in Form von Spitzen bei hohen Frequenzen zeigen. Von der Autokorrelationsfunktion lässt sich fordern, dass sie nur über kurze Zeiträume Korrelation aufweist. Die gemessenen Druckverläufe zeigen eine höhere Standardabweichung, als die von glattem Extrudat und eine deutlich niedrigere als die von Stick-Slip. Die spektrale Leistungsdichte kennzeichnet sich durch enge Spitzen, die sich mit höher werdender Extrusionsgeschwindigkeit nach links verschiebt. Die Autokorrelationsfunktion ist der von Schmelzbruch (Melt-Fracture) ähnlich. Sie weist mit $\tau_{0,8} \ll 1$ s eine kurze Korrelationszeit auf. Nach einem schnellen Abfall der Korrelation fluktuiert die Autokorrelationsfunktion in einen Band von $\pm 0,15$ um die τ -Achse. Beispielhaft ist der zu erwartende Verlauf für die Sharkskin Fließanomalie in Abb. 5.1.c dargestellt.

Schmelzbruch (Melt-Fracture) lies sich in verschiedenem Maß für verschiedene Polymere und Temperaturen finden. Die in der Literatur beschrie-

bene Obeflächen-Charakteristik ist geprägt von starken Unregelmäßigkeiten. Das setzt voraus, dass sich starke Druckfluktuationen zeigen, deren Korrelation gering ist. Die Druckfunktion erfüllt diese Erwartung auch. Die Standardabweichung ist die zweit höchste, nach Stick-Slip. Sie liegt aber noch nahe bei der von Sharkskin. Die Autokorrelationsfunktion zeigt einen schnellen Abfall der Korrelation, dem eine Fluktuation um die τ -Achse folgt. Darin sind sich Sharkskin und Schmelzbruch (Melt-Fracture) gleich. In der spektrale Leistungsdichte treten breite Spitzen auf. Die Leistung ist nicht konzentriert auf eine bestimmte Frequenz, wie bei Sharkskin. Dies ist auch die größte Differenz zwischen den beiden. Eine Serie an Musterkurven ist in Abb. 5.1.d gegeben.

5.2 Ausblick

Die in Abb. 5.1 zusammen gestellten Resultate zeigen, dass eine Unterscheidung der Fließanomalien anhand der Kombination aller drei Funktionen möglich ist. Im nächsten Schritt stellt sich damit die Herausforderung, zu überprüfen, ob eine technische Anwendung machbar ist. Ziel dabei ist es durch in die Düse eines Extruders integrierte Drucksensoren den Extrusionsprozess zu kontrollieren. Dabei ist nur eine Unterscheidung zwischen glattem Extrudat und verändertem Extrudat nötig. Dies macht den Entscheidungsprozess einfacher und die Umsetzung damit auch.

Ein weiteres Thema für folgende Arbeiten ist die genaue Erforschung der Beeinflussung durch Verunreinigungen. Fragestellung dabei könnten sein, welche Kombination an Material-Verunreinigung den Extrusionsprozess erleichtern können ohne die Eigenschaften des Endproduktes signifikant zu ändern. Dabei ist auch interessant, ob die Lokalisierung der Verunreinigungen eine Rolle spielt. Es wird zum Beispiel in [38] beschrieben, dass nur der Endbereich der Düse einen Einfluss auf das Sharkskin Verhalten hat.

Während der Messreihe I lies sich bei der Sharkskin Fließanomalie neben der gesuchten Oberflächen Schuppung noch eine weitere Anomalie finden. Diese äußerte sich in einem schienenartigen Aussehen. Ursprung und Charakteristiken dieser Fließanomalien könnten ebenso Thema einer weiteren Arbeit sein.

Als letztes ist noch zu sagen, dass das Spektrum der in dieser Arbeit behandelten Polymere doch beschränkt war. Weitere Versuche mit anderen Polymeren könnten die Charakterisierung der Fließanomalien ergänzen. Ebenso wäre eine Erweiterung auf andere Testkanal- und Düsengeometrien wünschenswert, um diese mit dem hier gefundenen zu vergleichen und deren Einfluss zu bestimmen. Dabei kann eine bessere Bilderstellung der Extrudatproben die Klassifizierung der Fließanomalie helfen.

Anhang A

Entwickelte Messausrüstung

In diesem Abschnitt finden sich die wichtigsten technischen Daten der verwendeten Ausrüstung.

A.1 DMS Drucksensor

Der im Kapillarrheometer eingebaute Dynesco DMS-Drucksensor ist in Abb. A.1 zu sehen und seine technische Daten sind in der Tab. A.1 aufgelistet.

DMS-Drucksensor Typ:	HDA 2174-18-2000-15-1
Artikelnr.:	8.81.168
max. Arbeitstemp.:	[°C] 400
Messbereich:	[bar] 0 – 2000
Kalibrationsdruck:	[bar] 1595

Tabelle A.1: Technische Daten des DMS-Drucksensors.



Abbildung A.1: DMS-Drucksensor.

A.2 Piezo Drucksensor

Kistler Drucksensor 6182AE (Abb.A.2) (mit O-Ring Dichtung)
Technische Daten sind in Tab. A.2 aufgelistet.

Messprinzip:		Piezoelektrisch
Druckbereich:	[bar]	0...2000
Sensitivität:	[pC/bar]	≈ -2.5
Resonanz Frequenz	[kHz]	> 80
max. Temperatur:	[°C]	< 450

Tabelle A.2: Technische Daten des Kistler Druckaufnehmers 6182AE.

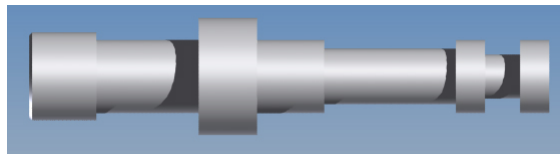


Abbildung A.2: Kistler Drucksensor 6182AE.

Anhang B

Datenanalyse Software

B.1 Matlab Programme zur Datenanalyse

Alle in dieser Arbeit präsentierten Messkurven und Funktionsgraphen sind mit den folgenden beiden Programmen erzeugt worden. Für eine Einführung in MATLAB ist [15] hilfreich. Informationen zur Bildverarbeitung finden sich in [14].

B.1.1 Bildanalyse mit Matlab

```
1 %Bildanalyse%
2 clear all
3 Datei='D:\transfer060505\Skripte\Diplomarbeit\Diplomarbeit 2006
4 \Bilder\Test\3020D180C090mms.jpg';
5 Bild=imread(Datei);
6 N=0;
7 %Bild öffnen und anzeigen %
8 figure(1);
9 imshow(Bild);
10 S=size(Bild)
11 h=S(1,1);
12 b=S(1,2);
13 y=1:1:b;
14 x=1:1:2000;
15
16 %Filterfunktion%
17 w1=fspecial('laplacian', 0);
18 %w2=[1 1 1; 1 -10 1; 1 1 1];
19 f2=im2double(Bild);
20 g1=imfilter(f2,w1,'replicate');
21 g=f2-g1;
22
23 %FFT für jede Bildzeile%
24 for k=1:1:h
25     F=fft(g(k,:));
26     S=sqrt((real(F)).^2+(imag(F)).^2);
27     P(k,:)=S;
28 end
29 hold off
30
```

```

31 %2D-FFT und deren 3D-Plot%
32 figure(5);
33 G=fft2(Bild);
34 GX=fftshift(G);
35 SLD=sqrt((real(GX)).^2+(imag(GX)).^2);
36 mesh(SLD(1:5:500, 1:5:2000));
37
38 %Zeilen FFT als 3D Plot%
39 figure(2);
40 mesh(P(1:5:500, 1:5:2000));
41 xlabel('Probenlänge L_{probe}');
42 ylabel('Probenbreite B_{probe}');
43 zlabel('Intensität I_{probe}');
44 hold off
45
46 %Anzeige des gefilterten Bildes%
47 figure(3)
48 imshow(g,[]);
49 hold on
50 plot(x,250,'r');
51 hold on
52 plot(x,175,'b');
53 hold on
54 plot(x,130,'g');
55 hold off
56
57 %Einfügen der Testzeilen in das Ursprungsbild%
58 figure(1);
59 hold on;
60 plot(x,250,'r');
61 hold on
62 plot(x,175,'b');
63 hold on
64 plot(x,130,'g');
65 hold off
66
67 %FFT der Test Zeilen und 2-D Plot%
68 figure(4)
69 MF=fft(g(130,:));
70 MS=sqrt((real(MF)).^2+(imag(MF)).^2);
71 subplot(2,1,1)
72 plot(x,g(130,:), 'g');
73 hold on
74 subplot(2,1,2)
75 plot(x,MS, 'g');
76 xlim([1 1000]);
77 hold on
78 MF=fft(g(175,:));
79 MS=sqrt((real(MF)).^2+(imag(MF)).^2);
80 subplot(2,1,1)
81 plot(x,g(175,:), 'b');
82 hold on
83 subplot(2,1,2)
84 plot(x,MS, 'b');
85 xlim([1 1000]);
86 hold on
87 MF=fft(g(250,:));
88 MS=sqrt((real(MF)).^2+(imag(MF)).^2);
89 subplot(2,1,1)
90 plot(x,g(250,:), 'r');
91 xlabel('Probenlänge L_{probe}');
92 ylabel('Intensität I_{probe}');

```

```

93  legend('a','b','c');
94  hold on
95  subplot(2,1,2)
96  plot(x,MS,'r');
97  xlim([1 1000]);
98  hold on
99  xlabel('Frequenz \nu_{probe}');
100 ylabel('s_{II}(\nu_{probe})');
101 legend('a','b','c');
102 hold off

```

Listing B.1: MATLAB Bildanalyse Programm

B.1.2 SLD mit Matlab

```

1  %Funktionsgraph des Druck und FFT der gemessenen Druckdaten%
2  clear all
3
4  %Darstellung und Analyse aller Dateien, die in
5  %DruckdateienListeMainTopic.txt aufgelistet sind%
6  fop=fopen('DruckdateienListeMainTopic.txt','r');
7
8  %NumberOfFiles gibt an wieviele Dateien analysiert werden sollen.%
9  NumberOfFiles=19;
10
11 %Starten der Analyse für jede Datei.%
12 for AnalysisSet=1:1:NumberOfFiles
13 figure(AnalysisSet);
14     DateiName=fgets(fop);
15     Dsize=size(DateiName);
16     DateiName(1,Dsize(1,2)-1)=0;
17
18 %Darstellung des Druckverlaufs aller drei Sensoren%
19 %Sensor 1%
20 name1=sprintf('%sP1.txt',DateiName);
21 fid=fopen(name1);
22 X1=fscanf(fid,'%g',[1 inf]);
23 NumberX=size(X1);
24 NX=NumberX(1,2);
25 t=0:1:NX-1;
26 HighestPressure=max(X1);
27 LowestPressure=min(X1);
28 fclose(fid);
29
30 %Bestimmung der Standardabweichung für 1%
31 pm1=1/NX*sum(X1(1,:))
32 VX1=(X1-pm1).^2;
33 sigma_f1=sqrt(1/(NX-1)*sum(VX1(1,:)));
34
35 %Sensor 2%
36 name1=sprintf('%sP2.txt',DateiName);
37 fid=fopen(name1);
38 X2=fscanf(fid,'%g',[1 inf]);
39 fclose(fid);
40
41 %Bestimmung der Standardabweichung für 2%
42 pm2=1/NX*sum(X2(1,:))
43 VX1=(X2-pm2).^2;
44 sigma_f2=sqrt(1/(NX-1)*sum(VX1(1,:)))
45
46 %Sensor 3%
47 name1=sprintf('%sP3.txt',DateiName);

```

```

48 fid=fopen(name1);
49 X3=fscanf(fid,'%g',[1 inf]);
50 fclose(fid);
51
52 %Bestimmung der Standardabweichung für 3%
53 pm3=1/NX*sum(X3(1,:))
54 VX1=(X3-pm3).^2;
55 sigma_f3=sqrt(1/(NX-1)*sum(VX1(1,:)));
56
57
58 %Darstellung in Graph 1%
59 subplot(4,1,1);
60 plot(t,X1,'-b','LineWidth',1.25);
61 hold on;
62 plot(t,X2,'-.r','LineWidth',1.25);
63 hold on;
64 plot(t,X3,'--c','LineWidth',1.25);
65
66 %Eigenschaften des Graphes%
67 xlabel('Messpunkte');
68 ylabel('Druck p(t) in bar');
69 TitelName=sprintf('Druckfunktion von %s \n',name1 );
70 title([TitelName,'Standartabweichung: s_{f_1} = ',num2str(sigma_f1),'
71 , s_{f_2} = ',num2str(sigma_f2),' , s_{f_3} = ',num2str(sigma_f3)]);
72 legend('Sensor 1','Sensor 2','Sensor 3');legend('boxoff');
73 hold off;
74
75 %Rechteck Fenster-----%
76 Fenster=1
77 %Gauss-Fenster-----%
78 sigma=100;
79 Fenster=1./sqrt(2.*pi)./sigma.*exp(-(t-NX/2).^2./sigma.^2/2);
80 %Hamming-Fenster-----%
81 Podest=0.1;
82 Fenster=Podest+(1-Podest).*(cos(pi.*(t-NX)/NX)).^2;
83 %Blackmann Fenster-----%
84 Fenster=0.42-0.5*cos(2*pi*(t-NX/2)/max(t))+0.08*cos(4*pi/max(t)*(t-NX/2));
85
86 %FFT-----%
87 %Berechnung der SLD mit Fensterfunktion für alle drei Sensoren/Dateien%
88 %FFT für Sensor 1%
89 Z=fft(Fenster.*X1);
90 Z1=sqrt(real(Z).^2+imag(Z).^2);
91 Z1=Z1.^2;
92
93 %FFT für Sensor 2
94 Z=fft(Fenster.*X2);
95 Z2=sqrt(real(Z).^2+imag(Z).^2);
96 Z2=Z2.^2;
97
98 %FFT für Sensor 3
99 Z=fft(Fenster.*X3);
100 Z3=sqrt(real(Z).^2+imag(Z).^2);
101 Z3=Z3.^2;
102
103 %Darstellung alle drei SLD in Graph 2
104 subplot(4,1,2);
105 plot(2*t/(NX+1),Z1,'-b','LineWidth',1.25);
106 hold on
107 plot(2*t/(NX+1),Z2,'-.r','LineWidth',1.25);
108 hold on
109 plot(2*t/(NX+1),Z3,'--c','LineWidth',1.25)

```

```

110
111 %Eigenschafteten von Graph 2%
112 xlim([0 1])
113 ylim([0 HighestNumber])
114 xlabel('Normierte Frequenz \Omega');
115 ylabel('s_{PP}(\Omega)');
116 legend('Sensor 1','Sensor 2','Sensor 3');legend('boxoff');
117 hold off
118
119 %ACF-plots and SLD-calculation and plotting%
120 %ACF is determined via ACF.exe%
121 %The name of all data files is listed in DruckdateienListeMainTopic.txt%
122 %Start reading the files from DruckdateienListeMainTopic.txt%
123 %NumberofFiles needs the amount of files to analyse and plot%
124 name=sprintf('%s',DateiName);
125
126 %Reading the ACF data from file%
127 name1=sprintf('%sACFFOLD1.txt',name);
128 fid=fopen(name1,'r');
129 X1=fscanf(fid,'%g %g',[2 inf]);
130 fclose(fid);
131 name1=sprintf('%sACFFOLD2.txt',name);
132 fid=fopen(name1,'r');
133 X2=fscanf(fid,'%g %g',[2 inf]);
134 fclose(fid);
135
136 name1=sprintf('%sACFFOLD3.txt',name);
137 fid=fopen(name1,'r');
138 X3=fscanf(fid,'%g %g',[2 inf]);
139 fclose(fid);
140
141 %Plotting the ACF of all 3 Sensors/Files in graph 3.%
142 subplot(4,1,3)
143 plot(X1(1,:),X1(2:),'-b','LineWidth',1.25)
144 hold on;
145 plot(X2(1,:),X2(2:),'-r','LineWidth',1.25)
146 hold on;
147 plot(X3(1,:),X3(2:),'--c','LineWidth',1.25)
148
149 xlabel('Korrelationszeit \tau in s')
150 ylabel('r_{pp}(\tau)')
151 ylim([-1 1]);
152 legend('Sensor 1','Sensor 2','Sensor 3');legend('boxoff')
153 hold off;
154
155 %SLD scaling.%
156 MaxX=max(X1(1,:));
157 X4=2*X1(1,:)/MaxX;
158 t=max(X4);
159 NX=max(X1(1,:));
160
161 %Gauss-Window-----%
162 sigma=60;
163 Fenster=1./sqrt(2.*pi)./sigma.*exp(-1/2*(X4(1,:)-NX/2).^2./sigma.^2);
164
165 %Hamming-Window-----%
166 %Podest=0.15;%
167 %Fenster=Podest+(1-Podest).*(cos(pi.*(X4(1,:)-NX/2)/NX)).^2;
168
169 %Calculation of the SLD via FFT. With Window function.%
170 Z=fft(X1(2,:).*Fenster);
171 Z1=sqrt(real(Z).^2+imag(Z).^2);

```

```

172 Z1=Z1.^2;
173 HighestNumber=max(Z1)/3;
174 Z=fft(X2(2,:).*Fenster);
175 Z2=sqrt(real(Z).^2+imag(Z).^2);
176 Z2=Z2.^2;
177 Z=fft(X3(2,:).*Fenster);
178 Z3=sqrt(real(Z).^2+imag(Z).^2);
179 Z3=Z3.^2;
180
181 %Plotting the SLD of all three files/Sensors in graph 4%
182 subplot(4,1,4);
183 plot(X4,Z1,'-b','LineWidth',1.25);
184 hold on;
185 plot(X4,Z2,'-r','LineWidth',1.25)
186 hold on;
187 plot(X4,Z3,'-c','LineWidth',1.25)
188 xlim([0 t/2]);
189 ylim([0 HighestNumber]);
190 xlabel('Normierte Frequenz \Omega');
191 ylabel('s_{pp}(\Omega)');
192 legend('Sensor 1','Sensor 2','Sensor 3');legend('boxoff');
193 hold off;
194
195 %Save all created figures for coming analysis.%
196 name1=sprintf('G%s',Dateiname);
197 saveas(gcf,name1,'fig');
198 end
199
200 fclose(fop);
201
202 %Printing each figure with windows standard printer%
203 %for i=1:1:60
204 %figure(i);
205 % print -dwinc;
206 % close(i);
207 %end

```

Listing B.2: MATLAB SLD Programm

B.2 Programmierets C-Programm zur Datenanalyse

Bei der Erstellung der graphischen Elemente in C ist [29] hilfreich. Für eine Einführung in den allgemeinen Sprachumfang von C bietet sich [13] an.

```

1 /*****
2 *   ACF für Windows
3 *   12-12-2006 I.F.C. Naue
4 *****/
5 #include <ACF.h>      /* eigenen Definitionen */
6 #include <windows.h>
7 #include <string.h>
8 #include <math.h>
9 #include <time.h>
10 #include <ctype.h>
11 #include <stdio.h>
12 #include <stdlib.h>
13 /*****
14 *   Deklaration von Window- Functions
15 *****/
16 LRESULT CALLBACK W5_WinProc(HWND, UINT, WPARAM, LPARAM);
17 BOOL    CALLBACK W2_DiaProc(HWND, UINT, WPARAM, LPARAM);

```

```

18 BOOL      CALLBACK Beschneiden_DiaProc(HWND, UINT, WPARAM, LPARAM);
19 BOOL      CALLBACK TESTDATA_DiaProc(HWND, UINT, WPARAM, LPARAM);
20 BOOL      CALLBACK TESTNAME_DiaProc(HWND, UINT, WPARAM, LPARAM);
21 BOOL      CALLBACK TESTSPECIAL_DiaProc(HWND, UINT, WPARAM, LPARAM);
22 BOOL      CALLBACK QR_MATRIX_DiaProc(HWND, UINT, WPARAM, LPARAM);
23 /*****
24 *   externe Variable
25 *****/
26 HINSTANCE  hProgram;
27 HWND       hWnd;
28 HDC        hDC;
29
30 double     x,y;
31 double     ixMin, ixMax, iyMin, iyMid, iyMax;
32 int        iy;
33
34
35 int         ixClient= 1300, iyClient= 800;
36 char       druckfile[MAX_FILE]="sinus", druckfile1[MAX_FILE], headerstore[MAX_FILE];
37 int        NameLength;
38 FILE       *streamdruck, *streaminfo, *streamausgabed1, *streamausgabed2, *streamausgabed3;
39 FILE       *streamacf1, *streamacf2, *streamacf3;
40 FILE       *streamacov1, *streamacov2, *streamacov3;
41 FILE       *streamlds1, *streamlds2, *streamlds3;
42 FILE       *streamft1, *streamft2, *streamft3;
43 char       dausgabe1[MAX_FILE], dausgabe2[MAX_FILE], dausgabe3[MAX_FILE], infoausgabe[MAX_FILE];
44 char       ausgabe1acf[MAX_FILE], ausgabe2acf[MAX_FILE], ausgabe3acf[MAX_FILE];
45 char       ausgabe1acov[MAX_FILE], ausgabe2acov[MAX_FILE], ausgabe3acov[MAX_FILE];
46 char       ausgabe1lds[MAX_FILE], ausgabe2lds[MAX_FILE], ausgabe3lds[MAX_FILE];
47 char       ausgabe1ft[MAX_FILE], ausgabe2ft[MAX_FILE], ausgabe3ft[MAX_FILE];
48 char       chi[MAX_EINGABE];
49 int        j,k,l,n=1,z,i;
50 int        ka, kappa;
51 int        number, difft, column;
52 unsigned long int tstart, tend;
53 double     scanrate, oversampling, nyquistfrequenz, t_max, delta_t;
54 double     summe, tau_null, mean;
55 double     x1[1500000];
56 double     actualfreq, delta_f, fixed, lds, argum;
57 double     highest, lowest, DeltaX, DeltaY;
58 char       text[MAX_EINGABE]="XXX", yAchse[MAX_EINGABE]="Druck [Pa]";
59 double     xBeschriftung[12];
60 char       Beschriftung[20], AxisTyp;
61 char       pAnfang[MAX_EINGABE], pEnde[MAX_EINGABE];
62 int        pAn, pEn;
63 int        FunctionTyp;
64 char       a_value[MAX_EINGABE], b_value[MAX_EINGABE], c_value[MAX_EINGABE];
65 char       FunctionName[MAX_EINGABE];
66 double     FirstPar, SecondPar, ThirdPar;
67 char       Sscanrate[MAX_EINGABE], Sscanfrequency[MAX_EINGABE], Snumber[MAX_EINGABE];
68 double     scanfrequency, TruePoints, TotalTime;
69 FILE       *streamtestdata;
70 char       TestData[MAX_FILE];
71 FILE       *streamlcf1, *streamlcf2, *streamlcf3;
72 char       dausgabelcf1[MAX_FILE], dausgabelcf2[MAX_FILE], dausgabelcf3[MAX_FILE];
73 double     meanX, meanY, ConstA, ConstB;
74 double     QRx1, QRx2, QRx3;
75 double     QR1[1500000][3];
76 double     U1[1500000], bQR[1500000];
77 int        signQR;
78 double     BetragQR, AbsValQR, betaQR, SkalarQR[5], NennerQR;
79 char       textQR[MAX_EINGABE], matrixname[MAX_EINGABE], vektorname[MAX_EINGABE];

```

```

80 char      ausgabe1acff [MAX_FILE], ausgabe2acff [MAX_FILE], ausgabe3acff [MAX_FILE];
81 FILE      *streamacff1, *streamacff2, *streamacff3;
82 char      InfoNamen[2*MAX_EINGABE][50], InfoWerte[2*MAX_EINGABE][50];
83
84
85 void MbAlert(char text1[MAX_EINGABE])
86 {
87     MessageBox(NULL, "File not open!", text1, MB_OK | MB_ICONHAND);
88 }
89
90 void MbInfo(char text1[MAX_EINGABE], char text2[MAX_EINGABE])
91 {
92     MessageBox(NULL, text1, text2, MB_OK | MB_ICONINFORMATION);
93 }
94
95 /*****
96 *Diese Funktion erzeugt alle Dateinamen, anhand
97 *des Namens der Ursprungsdatei
98 *****/
99 void Eingabe(void)
100 {
101     strcpy(druckfile1, druckfile);
102     strcat(druckfile1, ".txt");
103
104     strcpy(dausgabe1, druckfile);
105     strcat(dausgabe1, "P1.txt");
106
107     strcpy(dausgabe2, druckfile);
108     strcat(dausgabe2, "P2.txt");
109
110     strcpy(dausgabe3, druckfile);
111     strcat(dausgabe3, "P3.txt");
112
113     strcpy(dausgabelcf1, druckfile);
114     strcat(dausgabelcf1, "LCF1.txt");
115
116     strcpy(dausgabelcf2, druckfile);
117     strcat(dausgabelcf2, "LCF2.txt");
118
119     strcpy(dausgabelcf3, druckfile);
120     strcat(dausgabelcf3, "LCF3.txt");
121
122     strcpy(infoausgabe, druckfile);
123     strcat(infoausgabe, "INFO.txt");
124
125     strcpy(ausgabe1acf, druckfile);
126     strcat(ausgabe1acf, "ACF1.txt");
127
128     strcpy(ausgabe2acf, druckfile);
129     strcat(ausgabe2acf, "ACF2.txt");
130
131     strcpy(ausgabe3acf, druckfile);
132     strcat(ausgabe3acf, "ACF3.txt");
133
134     strcpy(ausgabe1acff, druckfile);
135     strcat(ausgabe1acff, "ACFFOLD1.txt");
136
137     strcpy(ausgabe2acff, druckfile);
138     strcat(ausgabe2acff, "ACFFOLD2.txt");
139
140     strcpy(ausgabe3acff, druckfile);
141     strcat(ausgabe3acff, "ACFFOLD3.txt");

```

```

142
143     strcpy(ausgabe1acov,druckfile);
144     strcat(ausgabe1acov,"ACOV1.txt");
145
146     strcpy(ausgabe2acov,druckfile);
147     strcat(ausgabe2acov,"ACOV2.txt");
148
149     strcpy(ausgabe3acov,druckfile);
150     strcat(ausgabe3acov,"ACOV3.txt");
151
152     strcpy(ausgabe1lds,druckfile);
153     strcat(ausgabe1lds,"1SPD.txt");
154
155     strcpy(ausgabe2lds,druckfile);
156     strcat(ausgabe2lds,"2SPD.txt");
157
158     strcpy(ausgabe3lds,druckfile);
159     strcat(ausgabe3lds,"3SPD.txt");
160
161     strcpy(ausgabe1ft,druckfile);
162     strcat(ausgabe1ft,"1FT.txt");
163
164     strcpy(ausgabe2ft,druckfile);
165     strcat(ausgabe2ft,"2FT.txt");
166
167     strcpy(ausgabe3ft,druckfile);
168     strcat(ausgabe3ft,"3FT.txt");
169 }
170
171 /*****
172 *Öffnet die Messdatei und überträgt die einzelnen
173 *Spalten in jeweils eine separate Datei. Die Header-
174 *informatinen werden in eine weiter separate Datei
175 *geschrieben.
176 *****/
177 void Separate(FILE *streamein, FILE *streamaus1,
178 FILE *streamaus2,FILE *streamaus3)
179 {
180     if((streamein=fopen(druckfile1,"r"))==NULL){
181         MbAlert("Eingabe");
182         exit(1);
183     }
184     if((streamaus1=fopen(dausgabe1,"w"))==NULL){
185         MbAlert("Eingabe");
186         exit(1);
187     }
188     if((streamaus2=fopen(dausgabe2,"w"))==NULL){
189         MbAlert("Eingabe");
190         exit(1);
191     }
192     if((streamaus3=fopen(dausgabe3,"w"))==NULL){
193         MbAlert("Eingabe");
194         exit(1);
195     }
196
197 /*****/
198 /*Reading the file Header (first row)*/
199     fgets(ch1,MAX_EINGABE,streamein);
200
201 /*FirstColumn scan rate in [pts/s]*/
202
203     for(j=0; ch1[j] !=' ' ; j++){

```

```

204
205         if(ch1[j]==',' ){
206             ch1[j]='.';
207         }
208         headerstore[j]=ch1[j];
209     }
210     scanrate=atof(headerstore);
211
212     while(ch1[j]==' '){
213         j++;
214     }
215     /*Second column Abtastfrequenz */
216     k=0;
217     while(ch1[j]!=' '){
218
219         if(ch1[j]==',' ){
220             ch1[j]='.';
221         }
222         headerstore[k]=ch1[j];
223         k++;
224         j++;
225     }
226     headerstore[k]='\0';
227     oversampling=atof(headerstore);
228
229     /*Third column Nyquistfrequenz*/
230     while(ch1[j]==' '){
231         j++;
232     }
233     k=0;
234     while(ch1[j] !='\n'){
235
236         if(ch1[j]==',' ){
237             ch1[j]='.';
238         }
239
240         headerstore[k]=ch1[j];
241         k++;
242         j++;
243     }
244     headerstore[k]='\0';
245     nyquistfrequenz=atof(headerstore);
246
247
248     /*Reading the pressure values*/
249
250     fgets(ch1,MAX_EINGABE,streamein);
251
252     number=0;
253     while(!feof(streamein)) {
254
255         for(j=0; ch1[j] != ( ' ' ); j++){
256
257             if(ch1[j]==',' ){
258                 ch1[j]='.';
259             }
260
261             fprintf(streamaus1,"%c",ch1[j]);
262         }
263
264
265         for(k=j+1;ch1[k]!=( ' ' ); k++){

```

```

266         if(ch1[k]==',' ){
267             ch1[k]='.';
268         }
269
270
271         fprintf(streamaus2,"%c",ch1[k]);
272     }
273
274     for(l=k+1;ch1[l]!='\n'; l++){
275
276         if(ch1[l]==',' ){
277             ch1[l]='.';
278         }
279
280         fprintf(streamaus3,"%c",ch1[l] );
281     }
282
283     fprintf(streamaus1,"\n");
284     fprintf(streamaus2,"\n");
285     fprintf(streamaus3,"\n");
286     fgets(ch1,MAX_EINGABE,streamein);
287     number++;
288 }
289
290     number=number;
291     fclose(streamein);
292     fclose(streamaus1);
293     fclose(streamaus2);
294     fclose(streamaus3);
295 }
296
297 /*****
298 *Öffnet die Messdatei, damit diese im Programm weiter
299 *bearbeitet werden kann, z.B. auf dem Bildschirm
300 * angezeigt. Außerdem werden die Header Informationen
301 *und die Zeilenzahl gelesen.
302 *****/
303 void LookFile(FILE *streamein)
304 {
305     if((streamein=fopen(druckfile1,"r"))==NULL){
306         MbAlert("Eingabe");
307         exit(1);
308     }
309
310 /*Reading the file Header (first row)*/
311     fgets(ch1,MAX_EINGABE,streamein);
312
313 /*FirstColumn scan rate in [pts/s]*/
314
315     for(j=0; ch1[j]!=' ' ; j++){
316
317         if(ch1[j]==',' ){
318             ch1[j]='.';
319         }
320         headerstore[j]=ch1[j];
321     }
322     scanrate=atof(headerstore);
323
324     while(ch1[j]!=' '){
325         j++;
326     }
327 /*Second column Abtastfrequenz */

```

```

328         k=0;
329         while(ch1[j]!=' '){
330
331             if(ch1[j]==' '){
332                 ch1[j]='.';
333             }
334             headerstore[k]=ch1[j];
335             k++;
336             j++;
337         }
338         headerstore[k]='\0';
339         oversampling=atof(headerstore);
340
341 /*Third column Nyquistfrequency*/
342         while(ch1[j]==' '){
343             j++;
344         }
345         k=0;
346         while(ch1[j] !='\n'){
347
348             if(ch1[j]==' '){
349                 ch1[j]='.';
350             }
351
352             headerstore[k]=ch1[j];
353             k++;
354             j++;
355         }
356         headerstore[k]='\0';
357         nyquistfrequenz=atof(headerstore);
358
359 /*Reading the pressure values*/
360
361         fgets(ch1,MAX_EINGABE,streamein);
362
363         number=0;
364         while(!feof(streamein))
365             {
366
367                 fgets(ch1,MAX_EINGABE,streamein);
368                 number++;
369             }
370
371         number=number;
372         fclose(streamein);
373     }
374
375 /******
376 *Funktion, die die Dateien für die ACF öffnet und die
377 *drei Druckdateien öffnet.
378 *****/
379 void OpenDruckACF(void)
380 {
381     if((streamacf1=fopen(ausgabe1acf,"w")==NULL){
382         MbAlert("Eingabe");
383         exit(1);
384     }
385
386     if((streamacf2=fopen(ausgabe2acf,"w")==NULL){
387         MbAlert("Eingabe");
388         exit(1);
389     }

```

```

390
391     if((streamacf3=fopen(ausgabe3acf,"w")==NULL){
392         MbAlert("Eingabe");
393         exit(1);
394     }
395
396     if((streamausgabed1=fopen(dausgabe1,"r")==NULL){
397         MbAlert("Eingabe");
398         exit(1);
399     }
400     if((streamausgabed2=fopen(dausgabe2,"r")==NULL){
401         MbAlert("Eingabe");
402         exit(1);
403     }
404     if((streamausgabed3=fopen(dausgabe3,"r")==NULL){
405         MbAlert("Eingabe");
406         exit(1);
407     }
408
409 }
410 void OpenDruckACOV(void)
411 {
412     if((streamacov1=fopen(ausgabe1acov,"w")==NULL){
413         MbAlert("Eingabe");
414         exit(1);
415     }
416
417     if((streamacov2=fopen(ausgabe2acov,"w")==NULL){
418         MbAlert("Eingabe");
419         exit(1);
420     }
421
422     if((streamacov3=fopen(ausgabe3acov,"w")==NULL){
423         MbAlert("Eingabe");
424         exit(1);
425     }
426
427     if((streamausgabed1=fopen(dausgabe1,"r")==NULL){
428         MbAlert("Eingabe");
429         exit(1);
430     }
431     if((streamausgabed2=fopen(dausgabe2,"r")==NULL){
432         MbAlert("Eingabe");
433         exit(1);
434     }
435     if((streamausgabed3=fopen(dausgabe3,"r")==NULL){
436         MbAlert("Eingabe");
437         exit(1);
438     }
439
440 }
441
442 /*****
443 *Diese Funktion bestimmt die Gesamte Messdauer anhand
444 *der Anzahl der Datenpunkte und die Zeitdifferenz
445 *zwischen zwei Messpunkten.
446 *****/
447 void Messzeit(void)
448 {
449     delta_f=nyquistfrequenz/(number-1);
450     fixed=2*PI/nyquistfrequenz/2;
451     t_max=number/2/nyquistfrequenz;

```

```

452     delta_t=1/(2*nyquistfrequenz);
453 }
454
455
456 /*****
457 *Diese Funktion schreibt die Werte eines vorher
458 *geöffneten Datei in die Zellen des Arrays
459 *x1[] und schließt die Datei danach wieder.
460 *****/
461 void Transducer(FILE *stream)
462 {
463     i=0;
464     fgets(ch1,MAX_EINGABE,stream);
465     mean=0;
466     while(!feof(stream))
467     {
468         x1[i]=atof(ch1);
469         fgets(ch1,MAX_EINGABE,stream);
470         i++;
471     }
472     fclose(stream);
473 }
474
475 /*****
476 *Funktion die den Algorithmus enthält, um die
477 *Autokorrelation einer Datei zu berechnen.
478 *Das Arbeitsarray x1[] liefert dabei die Daten.
479 *Die Werte der ACF und die zugehörige Korrela-
480 *tionszeit werden in die übergebene Datei ge-
481 *schrieben
482 *****/
483 void ACF(FILE *stream)
484 {
485     time(&tstart);
486     for(kappa=0; kappa < number-1 ; kappa++)
487     {
488         summe=0;
489
490         for(ka=0 ; ka < (number-1-kappa) ; ka++ )
491         {
492             summe = summe + x1[ka] * x1[ka +kappa];
493         }
494         summe=summe/(number-1-kappa);
495         if(kappa==0)
496         {
497             tau_null=summe;
498         }
499         summe=summe/(tau_null);
500         fprintf(stream,"%f %f\n",kappa*delta_t,summe);
501     }
502     time(&tend);
503     difft=(tend-tstart);
504     fclose(stream);
505 }
506
507
508 /*****
509 *Funktion die den Algorithmus enthält, um die
510 *Autkovarianz einer Datei zu berechnen.
511 *Das Arbeitsarray x1[] liefert dabei die Daten.
512 *Die Werte der ACOV und die zugehörige Korrela-
513 *tionszeit werden in die übergebene Datei ge-

```

```

514 *geschrieben
515 *****/
516 void ACOV(FILE *stream)
517 {
518     time(&tstart);
519     for(kappa=0; kappa < number-1 ; kappa++)
520     {
521         summe=0;
522
523         for(ka=0 ; ka < (number-1-kappa) ; ka++ )
524         {
525             summe = summe + x1[ka] * x1[ka +kappa]-mean*mean;
526         }
527         summe=summe/(number-1-kappa);
528         if(kappa==0)
529         {
530             tau_null=summe;
531         }
532         summe=summe/(tau_null);
533         fprintf(stream, "%.6f %.6f\n", kappa*delta_t, summe);
534     }
535     time(&tend);
536     difft=(tend-tstart);
537     fclose(stream);
538 }
539
540
541
542
543 /******
544 *Erzeugung der Dateien mit den Daten für die FT Berechnung
545 *****/
546 void OpenLDS(void)
547 {
548     if((streamlds1=fopen(ausgabe1lds, "w"))==NULL){
549         MbAlert("Eingabe");
550         exit(1);
551     }
552
553     if((streamlds2=fopen(ausgabe2lds, "w"))==NULL){
554         MbAlert("Eingabe");
555         exit(1);
556     }
557
558     if((streamlds3=fopen(ausgabe3lds, "w"))==NULL){
559         MbAlert("Eingabe");
560         exit(1);
561     }
562
563 }
564
565 /******
566 *This function opens the before calculated ACF Files takes
567 *its values and puts them into a new file.
568 *Then it takes the values into an array x1[] for further calculations.
569 *****/
570 void Extract(FILE *stream1, FILE *stream2,
571 char ausgabe1[MAX_FILE], char ausgabe2[MAX_FILE] )
572 {
573     /*FT der ACF von Transducer 1*/
574
575     if((stream1=fopen(ausgabe1, "r"))==NULL){

```

```

576         MbAlert("Eingabe");
577         exit(1);
578     }
579
580     fgets(ch1,MAX_EINGABE,stream1);
581
582     while(!feof(stream1)) {
583         for(j=0; ch1[j] !=' ' ; j++)
584             {
585                 /*Die erste Spalte, mit der Zeilennr., ueberspringen.*/
586             }
587
588             for(k=j+1;ch1[k]!='\n'; k++){
589
590                 fprintf(stream2,"%c",ch1[k]);
591             }
592
593             fprintf(stream2,"\n");
594             fgets(ch1,MAX_EINGABE,stream1);
595         }
596
597         fclose(stream1);
598         fclose(stream2);
599
600     /*Schreiben der Werte der Sources Files in ein Array*/
601
602     if((stream2=fopen(ausgabe2,"r"))==NULL){
603         MbAlert("Eingabe");
604         exit(1);
605     }
606     z=0;           /*Zeilenzaehler*/
607     fgets(ch1,MAX_EINGABE,stream2);
608     while(!feof(stream2))
609     {
610         x1[z]=atof(ch1);
611         z++;
612         fgets(ch1,MAX_EINGABE,stream2);
613     }
614     fclose(stream2);
615 }
616
617
618 /*****
619 *This function calculates the real part FT of an array x1[.
620 *****/
621 void RFT(FILE *stream, char ausgabe[MAX_FILE])
622 {
623     /*FT der AKOVF der ersten Datenspalte in der Ursprungsdatei*/
624     if((stream=fopen(ausgabe,"w"))==NULL){
625         MbAlert("Eingabe");
626         exit(1);
627     }
628     actualfreq=0;
629     time(&tstart);
630
631     /*Frequenzwechsel*/
632     for(j=0; j<number; j++)
633     {
634         lds=0;
635         actualfreq=delta_f*j;
636         argum=fixed*(actualfreq);
637

```

```

638         /*SUMME*/
639         for(k=1; k<number; k++)
640         {
641             lds=lds+x1[k]*cos(k*argum);
642         }
643         lds= x1[0]+2*lds;
644         if(lds<0){
645             lds=-lds;
646         }
647         fprintf(stream, "%.6lf %.6lf\n", actualfreq, lds);
648     }
649 }
650
651     time(&tend);
652     difft=(tend-tstart);
653     fclose(stream);
654 }
655
656
657
658 /******
659 *Öffnen der separierten Druckdaten und schreiben der Werte
660 *in das Array x1[]
661 *****/
662 void OpenP(FILE *stream, char DruckName[MAX_FILE])
663 {
664     if((stream=fopen(DruckName, "r"))==NULL){
665         MbAlert("Eingabe");
666         exit(1);
667     }
668
669     z=0;
670     fgets(ch1, MAX_EINGABE, stream);
671     while(!feof(stream))
672     {
673         x1[z]=atof(ch1);
674         z++;
675         fgets(ch1, MAX_EINGABE, stream);
676     }
677
678     number=z;
679     fclose(stream);
680 }
681
682 /******
683 *Öffnen der separierten Druckdaten zum Schreiben der neu
684 * definierten Werte.
685 *****/
686 void WriteP(FILE *stream, char DruckName[MAX_FILE])
687 {
688     if((stream=fopen(DruckName, "w"))==NULL){
689         MbAlert("Eingabe");
690         exit(1);
691     }
692     for(k=pAn; k<pEn; k++)
693     {
694         fprintf(stream, "%.4lf\n", x1[k]);
695     }
696     fclose(stream);
697 }
698
699

```

```

700 /*****
701 *Erzeugt eine zweispaltige Datei, in der die erste Spalte
702 *die Zeit ist und die zweit die Funktionswerte aus dem x1[]
703 *Vektor enthält.
704 *****/
705 void WriteACF(FILE *stream, char DruckName[MAX_FILE])
706 {
707     if((stream=fopen(DruckName,"w"))==NULL){
708         MbAlert("Eingabe");
709         exit(1);
710     }
711     for(k=pAn;k<pEn;k++)
712     {
713         fprintf(stream,"%0.4lf %0.4lf\n",k*delta_t, x1[k]);
714     }
715     fclose(stream);
716 }
717
718 /*****
719 *Öffnen der separierten ACF-Werte zum weiterem Bearbeiten.
720 *****/
721 void OpenACF(FILE *stream, char ACFName[MAX_FILE])
722 {
723     FILE *streamProxy;
724     char NameProxy[MAX_FILE]="proxy.txt";
725
726     if((streamProxy=fopen(NameProxy,"w"))==NULL){
727         MbAlert("Eingabe");
728         exit(1);
729     }
730     if((stream=fopen(ACFName,"r"))==NULL){
731         MbAlert("Eingabe");
732         exit(1);
733     }
734
735
736     fgets(ch1,MAX_EINGABE,stream);
737
738     while(!feof(stream))
739     {
740         for(j=0; ch1[j] !=' ' ; j++)
741         {
742             /*Die erste Spalte, mit der Zeilennr., ueberspringen.*/
743         }
744
745         for(k=j+1;ch1[k]!='\n'; k++)
746         {
747             fprintf(streamProxy,"%c",ch1[k]);
748         }
749         fprintf(streamProxy,"\n");
750         fgets(ch1,MAX_EINGABE,stream);
751     }
752     fclose(streamProxy);
753     fclose(stream);
754     OpenP(streamProxy, NameProxy);
755     remove("\\proxy.txt");
756
757 }
758
759 /*****
760 *Funktionen um den minimalen/maximalen Wertebereich der Daten
761 *zu erfassen

```

```

762 *****/
763 void MinSearch(void)
764 {
765     lowest=x1[0];
766     for(z=1; z<number;z++)
767     {
768
769         if(x1[z]<lowest)
770         {
771             lowest=x1[z];
772         }
773     }
774 }
775
776 void MaxSearch(void)
777 {
778     highest=x1[0];
779     for(z=1; z<number;z++)
780     {
781         if(x1[z]>highest)
782         {
783             highest=x1[z];
784         }
785     }
786 }
787
788 /******
789 *Erzeugt die Achsenbeschriftung.
790 *****/
791 void AchsenBeschriftung(void)
792 {
793     switch(AxisTyp)
794     {
795     case 't':
796     {
797         for(k=0;k<=10;k++)
798         {
799             xBeschriftung[k]=number/10*k*delta_t;
800         }
801         break;
802     }
803
804     case 'f':
805     {
806         for(k=0;k<=10;k++)
807         {
808             xBeschriftung[k]=nyquistfrequenz/10*k;
809         }
810         break;
811     }
812     case 'n':
813     {
814         for(k=0;k<=10;k++)
815         {
816             xBeschriftung[k]=number/10*k;
817         }
818         break;
819     }
820 }
821 }
822
823

```

```

824 /*****
825 *Funktion um den physikalischen Messbereich
826 *auf die Bildschirmgröße zu transformieren
827 *****/
828 void LimitsX(void)
829 {
830     DeltaX=(ixMax-ixMin)/number;
831 }
832
833 void LimitsY(void)
834 {
835     DeltaY=(iyMax-iyMin)/(highest-lowest);
836
837     for(z=0;z<number;z++)
838     {
839         x1[z]=(x1[z]-lowest)*DeltaY;
840     }
841 }
842 /*****
843 * Diese Funktion ruft alle Funktionen auf die für die
844 * Autokalibrierung des Messdatenbereichs auf den Bildschirm-
845 *bereich nötig sind und lässt dann die Daten zeichnen.
846 *****/
847 void CallToPaint(void)
848 {
849     Messzeit();
850     MinSearch();
851     MaxSearch();
852     LimitsX();
853     LimitsY();
854     AchsenBeschriftung();
855     InvalidateRect(hWnd, NULL, TRUE);
856 }
857
858 void CreateName(void)
859 {
860     oversampling=scanrate/scanfrequency;
861     TruePoints=oversampling*number;
862     TotalTime=TruePoints/scanrate;
863     delta_t=TotalTime/number;
864     strcpy(TestData, druckfile);
865     strcat(TestData, ".txt");
866 }
867
868 /*****
869 *The implemented testfunctions.
870 *****/
871 void SineCalc(void)
872 {
873     double zeit;
874     for(k=0; k<number; k++)
875     {
876         zeit=delta_t*k;
877         x1[k]=FirstPar*sin(2*PI*SecondPar*zeit);
878     }
879 }
880
881 void DiracCalc(void)
882 {
883     double zeit;
884     x1[0]=FirstPar;
885     for(k=1; k<number; k++)

```

```

886     {
887         zeit=delta_t*k;
888         x1[k]=0;
889     }
890 }
891
892 void ParabolaCalc(void)
893 {
894     double zeit;
895     for(k=0; k<number; k++)
896     {
897         zeit=delta_t*k;
898         x1[k]=FirstPar+SecondPar*zeit+ThirdPar*zeit*zeit;
899     }
900 }
901
902 void ExpCalc(void)
903 {
904     double zeit;
905     for(k=0; k<number; k++)
906     {
907         zeit=delta_t*k;
908         x1[k]=FirstPar*exp(-zeit/SecondPar);
909     }
910 }
911
912 void RandCalc(void)
913 {
914     srand(1);
915     int RandNumb;
916     RandNumb=rand();
917     for(k=1; k<number; k=k+3)
918     {
919         x1[k]=FirstPar*(rand()-RandNumb)/10000;
920     }
921     srand(2);
922     for(k=0; k<number; k=k+3)
923     {
924         x1[k]=FirstPar*(rand()-RandNumb)/10000;
925     }
926     srand(3);
927     for(k=2; k<number; k=k+3)
928     {
929         x1[k]=FirstPar*(rand()-RandNumb)/10000;
930     }
931 }
932
933 void ExpFold(void)
934 {
935     double tau_exp;
936     tau_exp=number/4.5;
937     for(k=0;k<number;k++)
938     {
939         x1[k]=x1[k]*exp(-k/tau_exp);
940     }
941 }
942
943 void WriteDataFile(void)
944 {
945     if((streamtestdata=fopen(TestData,"w"))==NULL){
946         MbAlert("Eingabe");
947         exit(1);

```

```

948     }
949     fprintf(streamtestdata,
950     "%.21f %.21f %.21f\n", scanrate, scanfrequency, scanfrequency/2);
951     for(k=0;k<number;k++)
952     {
953         fprintf(streamtestdata,
954         "%.81f %.81f %.81f\n", 10*x1[k], 5*x1[k], 1*x1[k]);
955     }
956     fclose(streamtestdata);
957 }
958
959
960 /*****
961 *Funktionen, um eine Regressionskurve zu bestimmen.
962 *****/
963
964 /*****
965 *Funktionen, um die nötigen Mittelwerte
966 *zu Berechnen.
967 *****/
968 void CalcMean(void)
969 {
970     pAn=0;
971     pEn=number;
972     for(k=0;k<number;k++)
973     {
974         meanX=meanX+k;
975     }
976     for(k=0;k<number;k++)
977     {
978         meanY=meanY+x1[k];
979     }
980     meanX=meanX/number;
981     meanY=meanY/number;
982 }
983
984 /*****
985 *Funktionen, um die Konstanten a,b für eine
986 *Regressionsgerade zu bestimmen.
987 *****/
988 void CalcParameterLin(void)
989 {
990     ConstA=0;
991     ConstB=0;
992     double Nenner=0, Zaehler=0;
993     for(k=0;k<number;k++)
994     {
995         Zaehler=Zaehler+(k-meanX)*(x1[k]-meanY);
996         Nenner=Nenner+(k-meanX)*(k-meanX);
997     }
998     ConstB=Zaehler/Nenner;
999     ConstA=meanY-ConstB*meanX;
1000 }
1001
1002 void QRMatrix(char matrixA[MAX_EINGABE], char vectorb[MAX_EINGABE] )
1003 {
1004     FILE *streamA, *streamb;
1005     if((streamA=fopen(matrixA,"r"))==NULL)
1006     {
1007         MbAlert("Eingabe");
1008         exit(1);
1009     }

```

```

1010     if((streamb=fopen(vectorb,"r"))==NULL){
1011         MbAlert("Eingabe");
1012         exit(1);
1013     }
1014     for(k=0;k<3;k++){
1015         {
1016             fscanf(streamA,"%s",text);
1017             QR1[0][k]=atof(text);
1018         }
1019     j=1;
1020     while(!feof(streamA))
1021     {
1022         for(k=0;k<3;k++){
1023             {
1024                 fscanf(streamA,"%s",text);
1025                 QR1[j][k]=atof(text);
1026             }
1027             j++;
1028         }
1029         fscanf(streamb,"%s",text);
1030         bQR[0]=atof(text);
1031         k=1;
1032         while(!feof(streamb))
1033         {
1034             fscanf(streamb,"%s",text);
1035             bQR[k]=atof(text);
1036             k++;
1037         }
1038         number=k;
1039         fclose(streamA);
1040         fclose(streamb);
1041     }
1042
1043 void QRsolve(char QRname[MAX_EINGABE])
1044 {
1045     FILE *stream;
1046     stream=fopen(QRname,"a");
1047     fprintf(stream,"\n-----\n
1048     y = %.4lf+%.4lf*x+%.4lf*x^2 \n",QRx1,QRx2,QRx3);
1049     fclose(stream);
1050 }
1051
1052 void QuadProblem(void)
1053 {
1054     for(k=0; k<number;k++)
1055     {
1056         QR1[k][0]=1;
1057         QR1[k][1]=k;
1058         QR1[k][2]=k*k;
1059         bQR[k]=x1[k];
1060     }
1061 }
1062
1063
1064 void QuadFit(void)
1065 {
1066     FILE *streamtest;
1067     for(j=0;j<3;j++)
1068     {
1069         signQR=1;
1070         AbsValQR=QR1[j][j];
1071         if(QR1[j][j]<0)

```

```

1072         {
1073             AbsValQR=-QR1[j][j];
1074             signQR=-1;
1075         }
1076     BetragQR=0;
1077     for(k=j;k<number;k++)
1078     {
1079         BetragQR=BetragQR+QR1[k][j]*QR1[k][j];
1080     }
1081     BetragQR=sqrt(BetragQR);
1082     U1[j]=signQR*(AbsValQR+BetragQR);
1083     for(k=j+1;k<number;k++)
1084     {
1085         U1[k]=QR1[k][j];
1086     }
1087     NennerQR=0;
1088     for(k=j;k<number;k++)
1089     {
1090         NennerQR=NennerQR+U1[k]*U1[k];
1091     }
1092     betaQR=2/NennerQR;
1093     for(l=j;l<3;l++)
1094     {
1095         SkalarQR[l]=0;
1096         for(k=j;k<number;k++)
1097         {
1098             SkalarQR[l]=SkalarQR[l]+U1[k]*QR1[k][l];
1099         }
1100         SkalarQR[l]=SkalarQR[l]*betaQR;
1101         for(k=j;k<number;k++)
1102         {
1103             QR1[k][l]=QR1[k][l]-SkalarQR[l]*U1[k];
1104         }
1105     }
1106     SkalarQR[3]=0;
1107     for(k=j;k<number;k++)
1108     {
1109         SkalarQR[3]=SkalarQR[3]+U1[k]*bQR[k];
1110     }
1111     SkalarQR[3]=SkalarQR[3]*betaQR;
1112     for(k=j;k<number;k++)
1113     {
1114         bQR[k]=bQR[k]-SkalarQR[3]*U1[k];
1115     }
1116 }
1117 QRx3=bQR[2]/QR1[2][2];
1118 QRx2=(bQR[1]-QR1[1][2]*QRx3)/QR1[1][1];
1119 QRx1=(bQR[0]-QR1[0][2]*QRx3-QR1[0][1]*QRx2)/QR1[0][0];
1120 streamtest=fopen(textQR,"w");
1121 for(k=0;k<number;k++)
1122 {
1123     fprintf(streamtest,"% .21f   % .21f   % .21f   | % .21f\n",QR1[k][0]
1124     ,QR1[k][1],QR1[k][2],bQR[k]);
1125 }
1126 fclose(streamtest);
1127 }
1128
1129 /*****
1130 *Diese Funktion überschreibt die ursprünglichen
1131 *Druckdaten mit den neuen gefitteten Werten.
1132 *****/
1133 void SubtractCurve(void)

```

```

1134 {
1135     for(k=0;k<number;k++)
1136     {
1137         x1[k]=x1[k]-ConstA-ConstB*k;
1138     }
1139 }
1140
1141 void SubtractQuad(void)
1142 {
1143     for(k=0;k<number;k++)
1144     {
1145         x1[k]=x1[k]-QRx1-QRx2*k-QRx3*k*k;
1146     }
1147 }
1148
1149 /*****
1150 *Diese Funktion öffnet die Datei zum speichern von zusätz-
1151 *lichen Informationen. Wie Berechnungsdauer, Mittelwerte,
1152 *etc..
1153 *****/
1154 void OpenInfo(void)
1155 {
1156     if((streaminfo=fopen(infoausgabe,"w"))==NULL){
1157         MbAlert("Eingabe");
1158         exit(1);
1159     }
1160
1161     for(k=0;k<30;k++)
1162     {
1163         fprintf(streaminfo,"%s%s\n",InfoNamen[k], InfoWerte[k]);
1164     }
1165     fclose(streaminfo);
1166 }
1167
1168 void InfoHeader(void)
1169 {
1170     sprintf(InfoWerte[0],"%s",druckfile1);
1171     sprintf(InfoWerte[1],"%.4lf",scanrate);
1172     sprintf(InfoWerte[2],"%.4lf",oversampling);
1173     sprintf(InfoWerte[3],"%.4lf",nyquistfrequenz);
1174     sprintf(InfoWerte[4],"%i",number);
1175     sprintf(InfoWerte[24],"%.4lf",delta_f);
1176     sprintf(InfoWerte[25],"%.4lf",t_max);
1177     sprintf(InfoWerte[26],"%.4lf",delta_t);
1178 }
1179
1180 void NamenInfo(void)
1181 {
1182     sprintf(InfoNamen[0],"%s","Dateiname:   ");
1183     sprintf(InfoNamen[1],"%s","\nScanrate[pts/s]:   ");
1184     sprintf(InfoNamen[2],"%s","Oversampling[pts]:   ");
1185     sprintf(InfoNamen[3],"%s","Nyquistfrequency[1/s]:   ");
1186     sprintf(InfoNamen[4],"%s","Initially Measured Data points[pts]:   ");
1187     sprintf(InfoNamen[5],"%s","\nFor analysis used starting point:   ");
1188     sprintf(InfoNamen[6],"%s","For analysis used ending point:   ");
1189     sprintf(InfoNamen[7],"%s","For analysis used amount of points[pts]:   ");
1190     sprintf(InfoNamen[8],"%s","\nOrder of polynom fitted:   ");
1191     sprintf(InfoNamen[9],"%s","Equation of polynom(1):   ");
1192     sprintf(InfoNamen[10],"%s","Equation of polynom(2):   ");
1193     sprintf(InfoNamen[11],"%s","Equation of polynom(3):   ");
1194     sprintf(InfoNamen[12],"%s","\nAutocorrelationtime(1)[s]:   ");
1195     sprintf(InfoNamen[13],"%s","Autocorrelationtime(2)[s]:   ");

```



```

1258
1259 /*-----*/
1260 * Window darstellen und updaten
1261 *-----*/
1262 ShowWindow(hWnd,iCmdShow);
1263 UpdateWindow(hWnd);
1264
1265 /*-----*/
1266 * Message- Loop: Ereignisse abfangen
1267 *-----*/
1268 while(GetMessage(&msg, NULL, 0, 0))
1269 {
1270     TranslateMessage(&msg);
1271     DispatchMessage(&msg);
1272 }
1273 return msg.wParam;
1274 }
1275
1276 /******
1277 * Main Window Procedure: Das eigentliche Steuerprogramm
1278 *****/
1279 LRESULT CALLBACK W5_WinProc(HWND hWnd, UINT Message,
1280                             WPARAM wParam, LPARAM lParam)
1281 {
1282     extern HDC          hDC;
1283     extern int          ixClient, iyClient;
1284     PAINTSTRUCT         ps;
1285
1286     HPEN                hpen_linie, hpen_function;
1287
1288     /*-----*/
1289     * Los gehts - je nach Message verzweigen
1290     *-----*/
1291
1292     switch(Message)
1293     {
1294     /*=====
1295     * WM_COMMAND: Wenn Befehle aus dem Menue kommen, dann
1296     *=====*/
1297         case WM_COMMAND:
1298             switch (LOWORD(wParam))
1299             {
1300                 case IDM_LOAD:
1301                     DialogBox(hProgram,"Eingabe",hWnd,W2_DiaProc);
1302                     MbInfo(druckfile,"Load");
1303                     Eingabe();
1304                     LookFile(streamdruck);
1305                     Messzeit();
1306                     InfoHeader();
1307                     return 0;
1308
1309                 case IDM_CREATE:
1310                     DialogBox(hProgram,"Eingabe",hWnd,W2_DiaProc);
1311                     MbInfo(druckfile,"Create");
1312                     Eingabe();
1313                     Separate(streamdruck, streamausgabed1, streamausgabed2, streamausgabed3);
1314                     Messzeit();
1315                     InfoHeader();
1316                     return 0;
1317
1318                 case IDM_CHANGE:
1319                     AxisTyp='n';

```

```

1320     sprintf(Beschriftung,"number [pts]");
1321     MbInfo("Plotting Pressure Data 1","Change Range");
1322     OpenP(streamausgabed1, dausgabe1);
1323     CallToPaint();
1324     sprintf(pAnfang,"0");
1325     sprintf(pEnde,"%i",number);
1326     DialogBox(hProgram,"Beschneide",hWnd,Beschneiden_DiaProc);
1327     OpenP(streamausgabed1, dausgabe1);
1328     WriteP(streamausgabed1, dausgabe1);
1329     OpenP(streamausgabed2, dausgabe2);
1330     WriteP(streamausgabed2, dausgabe2);
1331     OpenP(streamausgabed3, dausgabe3);
1332     WriteP(streamausgabed3, dausgabe3);
1333     OpenP(streamausgabed1, dausgabe1);
1334     CallToPaint();
1335     sprintf(InfoWerte[5],"%i",pAn);
1336     sprintf(InfoWerte[6],"%i",pEn);
1337     sprintf(InfoWerte[7],"%i",pEn-pAn);
1338     return 0;
1339
1340     case IDM_CURVE:
1341         MbInfo("Fitting the data with a linear function","Curve Fit");
1342         OpenP(streamausgabed1, dausgabe1);
1343         CalcMean();
1344         CalcParameterLin();
1345         SubtractCurve();
1346         WriteP(streamausgabed1, dausgabe1);
1347         WriteP(streamlcf1, dausgabelcf1);
1348         sprintf(text,"y(t)=%.4lf + (%.4lf)*t",ConstA,ConstB);
1349         sprintf(InfoWerte[9],"%s",text);
1350
1351         OpenP(streamausgabed2, dausgabe2);
1352         CalcMean();
1353         CalcParameterLin();
1354         SubtractCurve();
1355         WriteP(streamausgabed2, dausgabe2);
1356         WriteP(streamlcf2, dausgabelcf2);
1357         sprintf(text,"y(t)=%.4lf + (%.4lf)*t",ConstA,ConstB);
1358         sprintf(InfoWerte[10],"%s",text);
1359         OpenP(streamausgabed3, dausgabe3);
1360         CalcMean();
1361         CalcParameterLin();
1362         SubtractCurve();
1363         WriteP(streamausgabed3, dausgabe3);
1364         WriteP(streamlcf3, dausgabelcf3);
1365         sprintf(text,"y(t)=%.4lf + (%.4lf)*t",ConstA,ConstB);
1366         sprintf(InfoWerte[11],"%s",text);
1367         MbInfo("Operation finished","Curve Fit");
1368     return 0;
1369
1370     case IDM_QUADF:
1371         pAn=0;
1372         pEn=number;
1373         MbInfo("Fitting the data with a parabola","Quadratic Fit");
1374         OpenP(streamausgabed1, dausgabe1);
1375         sprintf(textQR,"%s",druckfile);
1376         strcat(textQR,"QR1.txt");
1377         QuadProblem();
1378         QuadFit();
1379         QRSolve(textQR);
1380         SubtractQuad();
1381         WriteP(streamausgabed1, dausgabe1);

```

```

1382     WriteP(streamlcf1, dausgabelcf1);
1383     sprintf(text, "y(t)=%.4lf + (%.4lf)*t+ (%.4lf)*t^2", QRx1, QRx2, QRx3);
1384     sprintf(InfoWerte[9], "%s", text);
1385     OpenP(streamausgabed2, dausgabe2);
1386     sprintf(textQR, "%s", druckfile);
1387     strcat(textQR, "QR2.txt");
1388     QuadProblem();
1389     QuadFit();
1390     QRsolve(textQR);
1391     SubtractQuad();
1392     WriteP(streamausgabed2, dausgabe2);
1393     WriteP(streamlcf2, dausgabelcf2);
1394     sprintf(text, "y(t)=%.4lf + (%.4lf)*t+ (%.4lf)*t^2", QRx1, QRx2, QRx3);
1395     sprintf(InfoWerte[10], "%s", text);
1396     OpenP(streamausgabed3, dausgabe3);
1397     sprintf(textQR, "%s", druckfile);
1398     strcat(textQR, "QR3.txt");
1399     QuadProblem();
1400     QuadFit();
1401     QRsolve(textQR);
1402     SubtractQuad();
1403     WriteP(streamausgabed3, dausgabe3);
1404     WriteP(streamlcf3, dausgabelcf3);
1405     sprintf(text, "y(t)=%.4lf + (%.4lf)*t+ (%.4lf)*t^2", QRx1, QRx2, QRx3);
1406     sprintf(InfoWerte[11], "%s", text);
1407     MbInfo("Operation finished", "Quadratic Fit");
1408     return 0;
1409
1410 case IDM_FOLD:
1411     pAn=0;
1412     pEn=number;
1413     MbInfo("Multiplying the ACF values with exp(-t/(t_max/4))",
1414           "Windowing");
1415     OpenACF(streamacf1, ausgabelacf);
1416     WriteACF(streamacff1, ausgabelacff);
1417     ExpFold();
1418     WriteACF(streamacf1, ausgabelacf);
1419     OpenACF(streamacf2, ausgabe2acf);
1420     WriteACF(streamacff2, ausgabe2acff);
1421     ExpFold();
1422     WriteACF(streamacf2, ausgabe2acf);
1423     OpenACF(streamacf3, ausgabe3acf);
1424     WriteACF(streamacff3, ausgabe3acff);
1425     ExpFold();
1426     WriteACF(streamacf3, ausgabe3acf);
1427     return 0;
1428
1429 case IDM_ACF:
1430     MbInfo("Autocorrelation is started", "ACF");
1431     OpenDruckACF();
1432     Messzeit();
1433     sprintf(text, "The Data Aquisitiontime has been %.3lfs", t_max);
1434     MbInfo(text, "ACF");
1435     column=1;
1436     Transducer(streamausgabed1);
1437     ACF(streamacf1);
1438     sprintf(InfoWerte[12], "%i", difft);
1439     sprintf(InfoWerte[27], "%.4lf", tau_null);
1440     column=2;
1441     Transducer(streamausgabed2);
1442     ACF(streamacf2);
1443     sprintf(InfoWerte[13], "%i", difft);

```

```

1444     sprintf(InfoWerte [28], "%.4lf", tau_null);
1445     column=3;
1446     Transducer(streamausgabed3);
1447     ACF(streamacf3);
1448     sprintf(InfoWerte [14], "%i", difft);
1449     sprintf(InfoWerte [29], "%.4lf", tau_null);
1450     MbInfo(" Autocorrelation finished", "ACF");
1451     fclose(streamausgabed1);
1452     fclose(streamausgabed2);
1453     fclose(streamausgabed3);
1454     return 0;
1455
1456     case IDM_ACOV:
1457         MbInfo("Autocovariation is started", "ACOV");
1458         OpenDruckACOV();
1459         Messzeit();
1460         sprintf(text, "The Data Aquisitiontime has been %.3lfs", t_max);
1461         MbInfo(text, "ACOV");
1462         column=1;
1463         Transducer(streamausgabed1);
1464         ACOV(streamacov1);
1465         sprintf(InfoWerte [15], "%i", difft);
1466         fclose(streamacov1);
1467         column=2;
1468         Transducer(streamausgabed2);
1469         ACOV(streamacov2);
1470         sprintf(InfoWerte [16], "%i", difft);
1471         fclose(streamacov2);
1472         column=3;
1473         Transducer(streamausgabed3);
1474         ACOV(streamacov3);
1475         sprintf(InfoWerte [17], "%i", difft);
1476         fclose(streamacov3);
1477         MbInfo("Autocovariation finished", "ACOV");
1478         fclose(streamausgabed1);
1479         fclose(streamausgabed2);
1480         fclose(streamausgabed3);
1481         return 0;
1482
1483     case IDM_SPD:
1484         MbInfo("Spectral Power Density is started (SPD)", "SPD");
1485         OpenLDS();
1486         column=1;
1487         Extract(streamacf1, streamlds1, ausgabe1acf, ausgabe1lds);
1488         RFT(streamlds1, ausgabe1lds);
1489         sprintf(InfoWerte [18], "%i", difft);
1490
1491         column=2;
1492         Extract(streamacf2, streamlds2, ausgabe2acf, ausgabe2lds);
1493         RFT(streamlds2, ausgabe2lds);
1494         sprintf(InfoWerte [19], "%i", difft);
1495
1496         column=3;
1497         Extract(streamacf3, streamlds3, ausgabe3acf, ausgabe3lds);
1498         RFT(streamlds3, ausgabe3lds);
1499         sprintf(InfoWerte [20], "%i", difft);
1500
1501         MbInfo(" Spectral Power Density finished", "SPD");
1502     return 0;
1503
1504     case IDM_PLOTDRUCK:
1505         AxisTyp='t';

```

```

1506     sprintf(yAchse,"Druck [Pa]");
1507     sprintf(Beschriftung,"time [s]");
1508     MbInfo("Column 1","Plot Pressure");
1509     OpenP(streamausgabed1, dausgabe1);
1510     CallToPaint();
1511     MbInfo("Column 2","Plot Pressure");
1512     OpenP(streamausgabed2, dausgabe2);
1513     CallToPaint();
1514     MbInfo("Column 3","Plot Pressure");
1515     OpenP(streamausgabed3, dausgabe3);
1516     CallToPaint();
1517     return 0;
1518
1519
1520     case IDM_PLOTACF:
1521         AxisTyp='t';
1522         sprintf(yAchse,"ACF magnitude");
1523         sprintf(Beschriftung,"correlation time [s]");
1524         MbInfo("Column 1 ","Plot ACF");
1525         OpenACF(streamacf1, ausgabe1acf);
1526         CallToPaint();
1527         MbInfo("Column 2 ","Plot ACF");
1528         OpenACF(streamacf2, ausgabe2acf);
1529         CallToPaint();
1530         MbInfo("Column 3 ","Plot ACF");
1531         OpenACF(streamacf3, ausgabe3acf);
1532         CallToPaint();
1533         return 0;
1534
1535     case IDM_PLOTACOV:
1536         AxisTyp='t';
1537         sprintf(yAchse,"ACOV magnitude");
1538         sprintf(Beschriftung,"correlation time [s]");
1539         MbInfo("Column 1 ","Plot ACOV");
1540         OpenACF(streamacov1, ausgabe1acov);
1541         CallToPaint();
1542         MbInfo("Column 2","Plot ACOV");
1543         OpenACF(streamacov2, ausgabe2acov);
1544         CallToPaint();
1545         MbInfo("Column 3","Plot ACOV");
1546         OpenACF(streamacov3, ausgabe3acov);
1547         CallToPaint();
1548         return 0;
1549
1550     case IDM_PLOTSPD:
1551         AxisTyp='f';
1552         sprintf(yAchse,"SPD magnitude");
1553         sprintf(Beschriftung,"frequency [1/s]");
1554         MbInfo("Column 1","Plot SPD");
1555         OpenACF(streamlds1, ausgabe1lds);
1556         CallToPaint();
1557         MbInfo("Column 2","Plot SPD");
1558         OpenACF(streamlds2, ausgabe2lds);
1559         CallToPaint();
1560         MbInfo("Column 3","Plot SPD");
1561         OpenACF(streamlds3, ausgabe3lds);
1562         CallToPaint();
1563         return 0;
1564
1565     case IDM_GSINUS:
1566         MbInfo(" Creating data from a Sine function y=a*sin(2Pi*b*x)",
1567             "Sine");

```

```

1568     FunctionTyp=2;
1569     sprintf(FunctionName,"Sine");
1570     sprintf(druckfile,"sinus");
1571     DialogBox(hProgram,"DataAquisition",hWnd,TESTDATA_DiaProc);
1572     DialogBox(hProgram,"Eingabe",hWnd,W2_DiaProc);
1573     sprintf(a_value,"Magnitude");
1574     sprintf(b_value,"Frequency [1/s]");
1575     DialogBox(hProgram,"Quadratic",hWnd,TESTSPECIAL_DiaProc);
1576     CreateName();
1577     SineCalc();
1578     WriteDataFile();
1579     return 0;
1580
1581     case IDM_GPARABOLA :
1582         MbInfo(" Creating data from a Parabola  $y=a+b*x+c*x^2$ ","Parabola");
1583         FunctionTyp=3;
1584         sprintf(FunctionName,"Parabola");
1585         DialogBox(hProgram,"DataAquisition",hWnd,TESTDATA_DiaProc);
1586         sprintf(druckfile,"parabola");
1587         DialogBox(hProgram,"Eingabe",hWnd,W2_DiaProc);
1588         sprintf(a_value,"Off-Set");
1589         sprintf(b_value,"Slope");
1590         sprintf(c_value,"Curvature");
1591         DialogBox(hProgram,"Kubic",hWnd,TESTSPECIAL_DiaProc);
1592         CreateName();
1593         ParabolaCalc();
1594         WriteDataFile();
1595         return 0;
1596
1597     case IDM_GDIRAC :
1598         MbInfo(" Creating data from a Dirac function","Dirac");
1599         FunctionTyp=1;
1600         sprintf(FunctionName,"Dirac-Impuls");
1601         DialogBox(hProgram,"DataAquisition",hWnd,TESTDATA_DiaProc);
1602         sprintf(druckfile,"dirac");
1603         DialogBox(hProgram,"Eingabe",hWnd,W2_DiaProc);
1604         sprintf(a_value,"Magnitude");
1605         DialogBox(hProgram,"Linear",hWnd,TESTSPECIAL_DiaProc);
1606         CreateName();
1607         DiracCalc();
1608         WriteDataFile();
1609         return 0;
1610
1611     case IDM_GEXPONENTIAL :
1612         MbInfo(" Creating data from a Exponential function  $y=a*\exp(-b/x)$ ",
1613             "Exponential");
1614         FunctionTyp=2;
1615         sprintf(FunctionName,"exp");
1616         DialogBox(hProgram,"DataAquisition",hWnd,TESTDATA_DiaProc);
1617         sprintf(druckfile,"exponential");
1618         DialogBox(hProgram,"Eingabe",hWnd,W2_DiaProc);
1619         sprintf(a_value,"Magnitude");
1620         sprintf(b_value,"Decay");
1621         DialogBox(hProgram,"Quadratic",hWnd,TESTSPECIAL_DiaProc);
1622         CreateName();
1623         ExpCalc();
1624         WriteDataFile();
1625         return 0;
1626
1627     case IDM_GRANDOM:
1628         MbInfo(" Creating data from a Random","Random");
1629         FunctionTyp=1;

```

```

1630     sprintf(FunctionName, "rand");
1631     DialogBox(hProgram, "DataAquisition", hWnd, TESTDATA_DiaProc);
1632     sprintf(druckfile, "random");
1633     DialogBox(hProgram, "Eingabe", hWnd, W2_DiaProc);
1634     sprintf(a_value, "Magnitude");
1635     DialogBox(hProgram, "linear", hWnd, TESTSPECIAL_DiaProc);
1636     CreateName();
1637     RandCalc();
1638     WriteDataFile();
1639     return 0;
1640
1641     case IDM_QR_TRANS:
1642         sprintf(matrixname, "MATRIX-A");
1643         sprintf(vektorname, "VECTOR-b");
1644         DialogBox(hProgram, "Matrixeingabe", hWnd, QR_MATRIX_DiaProc);
1645         sprintf(textQR, "%s", matrixname);
1646         strcat(textQR, "QR-TRANS.txt");
1647         strcat(matrixname, ".txt");
1648         strcat(vektorname, ".txt");
1649         QRMatrix(matrixname, vektorname);
1650         QuadFit();
1651         QRsolve(textQR);
1652         return 0;
1653
1654     case IDM_INFO:
1655         NamenInfo();
1656         OpenInfo();
1657         return 0;
1658
1659     case IDM_CLOSE:
1660         PostQuitMessage(0);
1661         return 0;
1662
1663     }
1664
1665 /*=====
1666 * WM_PAINT: Wenn das Window neu gezeichnet werden soll, dann
1667 *=====*/
1668     case WM_PAINT:
1669         hDC= BeginPaint(hWnd, &ps);
1670         hpen_linie= CreatePen(PS_SOLID, 1, RGB(0, 55, 55));
1671         hpen_function= CreatePen(PS_SOLID, 1, RGB(255, 0, 0));
1672         ixMin= 50;
1673         ixMax= ixClient-20;
1674         iyMin= 20;
1675         iyMax= iyClient-50;
1676         SelectObject(hDC, hpen_linie);
1677
1678         //-----
1679         //Y-Achse
1680         //-----
1681         MoveToEx(hDC, ixMin, iyMin, NULL);
1682         LineTo (hDC, ixMin, iyMax);
1683
1684         //-----
1685         //X-Achse
1686         //-----
1687         MoveToEx(hDC, ixMin, iyMax, NULL);
1688         LineTo (hDC, ixMax, iyMax);
1689
1690         //-----
1691         //Achsenunterteilung

```

```

1692 //-----
1693     int iyDelta=(iyMax-iyMin)/10;
1694     int ixDelta=(ixMax-ixMin)/10;
1695 //-----
1696 //Beschriftung der y-Achse
1697 //-----
1698     for(k=0; k<=10;k++)
1699     {
1700         MoveToEx(hDC,ixMin,iyMax-k*iyDelta,NULL);
1701         LineTo (hDC,ixMin-20,iyMax-k*iyDelta);
1702         sprintf(text,"%11f",lowest+(highest-lowest)*k/10);
1703         TextOut(hDC,ixMin-45,iyMax-k*iyDelta+5,text,strlen(text));
1704     }
1705
1706 //-----
1707 //Beschriftung der x-Achse
1708 //-----
1709     for(k=0; k<=10;k++)
1710     {
1711         MoveToEx(hDC,ixMin+k*ixDelta,iyMax,NULL);
1712         LineTo (hDC,ixMin+k*ixDelta,iyMax+20);
1713         sprintf(text,"%21f",xBeschriftung[k]);
1714         TextOut(hDC,ixMin+k*ixDelta-15-k,iyMax+20,text,strlen(text));
1715     }
1716     TextOut(hDC,ixMax-90,iyMax-30,Beschriftung,strlen(Beschriftung));
1717     TextOut(hDC,ixMin-20,iyMin-20,yAchse,strlen(yAchse));
1718 //-----
1719 //Graph zeichnen
1720 //-----
1721     SelectObject(hDC,hpen_function);
1722     x = ixMin+DeltaX*0;
1723     y =iyMax-x1[0];
1724     MoveToEx(hDC,x,y,NULL);
1725     for(i=1; i<number; i++)
1726     {
1727         x = ixMin+DeltaX*i;
1728         y = iyMax -x1[i];
1729         LineTo(hDC,x,y);
1730         MoveToEx(hDC,x,y,NULL);
1731     }
1732     DeleteObject(hpen_linie);
1733     DeleteObject(hpen_function);
1734
1735     EndPaint(hWnd, &ps);
1736     return 0;
1737
1738 /*=====
1739 * WM_SIZE: Wenn das Window veraendert wird,dann
1740 *=====*/
1741     case WM_SIZE:
1742         iyClient= HIWORD(lParam);
1743         ixClient= LOWORD(lParam);
1744         return 0;
1745
1746 /*=====
1747 * WM_DESTROY: Wenn das Window zerstoert werden soll, dann
1748 *=====*/
1749     case WM_DESTROY:
1750         PostQuitMessage(0);
1751         return 0;
1752
1753 /*=====

```

```

1754 * Wenn keine der obigen Cases zutrifft, dann
1755 *=====*/
1756     default:
1757         return DefWindowProc(hWnd,Message,wParam,lParam);
1758     }
1759 }
1760
1761 /*****
1762 * Function W2_DiaProc zeigt Dialog- Box an
1763 *****/
1764 BOOL CALLBACK W2_DiaProc(HWND hDlg, UINT message,
1765                         WPARAM wParam, LPARAM lParam)
1766 {
1767     /*-----
1768     * Dialog aufbauen
1769     *-----*/
1770     switch (message)
1771     {
1772     case WM_INITDIALOG:
1773         SetDlgItemText(hDlg,IDD_EINGABE,druckfile);
1774         return TRUE;
1775
1776     case WM_COMMAND:
1777         switch (LOWORD(wParam))
1778         {
1779         case ID_INORDNUNG:
1780             GetDlgItemText(hDlg,IDD_EINGABE,druckfile,MAX_FILE);
1781             EndDialog(hDlg,0);
1782             return TRUE;
1783         case ID_UEBERGEHEN:
1784             EndDialog(hDlg,0);
1785             return TRUE;
1786         }
1787     }
1788     return FALSE;
1789 }
1790
1791 /*****
1792 * Function Beschneiden_DiaProc zeigt Dialog- Box an
1793 *****/
1794 BOOL CALLBACK Beschneiden_DiaProc(HWND hDlg, UINT message,
1795                                   WPARAM wParam, LPARAM lParam)
1796 {
1797     /*-----
1798     * Dialog aufbauen
1799     *-----*/
1800     switch (message)
1801     {
1802     case WM_INITDIALOG:
1803         SetDlgItemText(hDlg,IDD_ANFANG,pAnfang);
1804         SetDlgItemText(hDlg,IDD_ENDE,pEnde);
1805         return TRUE ;
1806     case WM_COMMAND:
1807         switch (LOWORD(wParam))
1808         {
1809         case ID_INORDNUNG:
1810             GetDlgItemText(hDlg,IDD_ANFANG,pAnfang,30);
1811             GetDlgItemText(hDlg,IDD_ENDE,pEnde,30);
1812             EndDialog(hDlg,0);
1813             pAn=atoi(pAnfang);
1814             pEn=atoi(pEnde);
1815             if (pEnde[0]!='0')

```

```

1816         {
1817             pEn=number;
1818         }
1819     return TRUE;
1820     case ID_UEBERGEHEN:
1821         EndDialog(hDlg,0);
1822         return TRUE;
1823     }
1824 }
1825
1826 return FALSE;
1827 }
1828
1829 /*****
1830 * Function TESTDATA_DiaProc zeigt Dialog- Box an
1831 *****/
1832 BOOL CALLBACK TESTDATA_DiaProc(HWND hDlg, UINT message,
1833                               WPARAM wParam, LPARAM lParam)
1834 {
1835     /*-----
1836     * Dialog aufbauen
1837     *-----*/
1838     switch (message)
1839     {
1840     case WM_INITDIALOG:
1841         SetDlgItemText(hDlg,IDD_SCANRATE,Sscanrate);
1842         SetDlgItemText(hDlg,IDD_SCANFREQUENCY,Sscanfrequency);
1843         SetDlgItemText(hDlg,IDD_POINTS,Snumber);
1844         return TRUE;
1845     case WM_COMMAND:
1846         switch (LOWORD(wParam))
1847         {
1848         case ID_INORDNUNG:
1849             GetDlgItemText(hDlg,IDD_SCANRATE,Sscanrate,30);
1850             GetDlgItemText(hDlg,IDD_SCANFREQUENCY,Sscanfrequency,30);
1851             GetDlgItemText(hDlg,IDD_POINTS,Snumber,30);
1852             EndDialog(hDlg,0);
1853             scanrate=atof(Sscanrate);
1854             scanfrequency=atof(Sscanfrequency);
1855             number=atoi(Snumber);
1856             return TRUE;
1857         case ID_UEBERGEHEN:
1858             EndDialog(hDlg,0);
1859             return TRUE;
1860         }
1861     }
1862     return FALSE;
1863 }
1864
1865 /*****
1866 * Function TESTSPECIAL_DiaProc zeigt Dialog- Box an
1867 *****/
1868 BOOL CALLBACK TESTSPECIAL_DiaProc(HWND hDlg, UINT message,
1869                                   WPARAM wParam, LPARAM lParam)
1870 {
1871     /*-----
1872     * Dialog aufbauen
1873     *-----*/
1874     switch (message)
1875     {
1876     case WM_INITDIALOG:
1877         SetDlgItemText(hDlg,IDD_A,a_value);

```

```

1878     if(FunctionTyp>1)
1879     {
1880         SetDlgItemText(hDlg,IDD_B,b_value);
1881         if(FunctionTyp>2)
1882         {
1883             SetDlgItemText(hDlg,IDD_C,c_value);
1884         }
1885     }
1886     return TRUE;
1887     case WM_COMMAND:
1888         switch (LOWORD(wParam))
1889         {
1890             case ID_INORDNUNG:
1891                 GetDlgItemText(hDlg,IDD_A,a_value,MAX_FILE);
1892                 FirstPar=atof(a_value);
1893                 if(FunctionTyp>1)
1894                 {
1895                     GetDlgItemText(hDlg,IDD_B,b_value,MAX_FILE);
1896                     SecondPar=atof(b_value);
1897                     if(FunctionTyp>2)
1898                     {
1899                         GetDlgItemText(hDlg,IDD_C,c_value,MAX_FILE);
1900                         ThirdPar=atof(c_value);
1901                     }
1902                 }
1903                 EndDialog(hDlg,0);
1904                 return TRUE;
1905             case ID_UEBERGEHEN:
1906                 EndDialog(hDlg,0);
1907                 return TRUE;
1908         }
1909     }
1910     return FALSE;
1911 }
1912
1913 /******
1914 * Funktion QR_MATRIX_DiaProc zeigt Eingabe-Box für die
1915 * Eingabe einerin einer Datei gespeicherten Matrix und
1916 * eines Vektors.
1917 *****/
1918 BOOL CALLBACK QR_MATRIX_DiaProc(HWND hDlg, UINT message,
1919                                 WPARAM wParam, LPARAM lParam)
1920 {
1921     /*-----
1922     * Dialog aufbauen
1923     *-----*/
1924     switch (message)
1925     {
1926         case WM_INITDIALOG:
1927             SetDlgItemText(hDlg,IDD_MATRIX,matrixname);
1928             SetDlgItemText(hDlg,IDD_VEKTOR,vektorname);
1929             return TRUE;
1930         case WM_COMMAND:
1931             switch (LOWORD(wParam))
1932             {
1933                 case ID_INORDNUNG:
1934                     GetDlgItemText(hDlg,IDD_MATRIX,matrixname,MAX_EINGABE);
1935                     GetDlgItemText(hDlg,IDD_VEKTOR,vektorname,MAX_EINGABE);
1936                     EndDialog(hDlg,0);
1937                 return TRUE;
1938                 case ID_UEBERGEHEN:
1939                     EndDialog(hDlg,0);

```

```

1940     return TRUE;
1941     }
1942 }
1943 return FALSE;
1944 }

```

Listing B.3: ACF.c

```

1  /*****
2  * ACF.h
3  * 03.03.2007 I.F.C. Naue
4  *****/
5  #define MAX_EINGABE 100
6  #define MAX_FILE 67
7  #define PI 3.1415926535897932384626433832795
8
9  #define ICO_ACF 10
10
11 #define IDM_CREATE 100
12 #define IDM_ENDE 110
13 #define IDM_WERISTS 120
14 #define IDM_LOAD 130
15 #define IDM_CHANGE 140
16 #define IDM_CLOSE 150
17 #define IDM_CURVE 160
18
19 #define IDM_ACF 170
20 #define IDM_ACOV 180
21 #define IDM_SPD 200
22 #define IDM_PLOTDRUCK 210
23 #define IDM_PLOTACF 220
24 #define IDM_PLOTSPD 230
25 #define IDM_PLOTACOV 240
26 #define IDM_QUADF 260
27 #define IDM_QR_TRANS 270
28 #define IDM_FOLD 280
29 #define IDM_INFO 290
30
31 #define IDD_ANFANG 400
32 #define IDD_ENDE 410
33
34 #define IDD_EINGABE 420
35 #define ID_UEBERGEHEN 430
36 #define ID_INORDNUNG 440
37
38 #define IDM_GSINUS 600
39 #define IDM_GDIRAC 610
40 #define IDM_GEXPONENTIAL 620
41 #define IDM_GPARABOLA 630
42 #define IDM_GRANDOM 640
43
44 #define IDD_A 700
45 #define IDD_B 710
46 #define IDD_C 720
47 #define IDD_SCANRATE 730
48 #define IDD_SCANFREQUENCY 740
49 #define IDD_POINTS 750
50 #define IDD_MATRIX 760
51 #define IDD_VЕКТОR 770

```

Listing B.4: ACF.h

```

1  /*****
2  * ACF.RC
3  * 12-12-2006 Naue
4  *****/
5  #include <ACF.h>
6  #include <windows.h>
7
8  ICO_ACF ICON ACFLDS01.ICO
9
10 /*****
11 *Popup Menu definition.
12 *****/
13
14 ACF MENU
15 {
16     POPUP "&Raw Data"
17     {
18         MENUITEM "&Load",           IDM_LOAD
19         MENUITEM "&Create",         IDM_CREATE
20
21         MENUITEM "&Close",          IDM_CLOSE
22     }
23     POPUP "&Makeup"
24     {
25         MENUITEM "&Change Range",    IDM_CHANGE
26         MENUITEM "&Curve Fit",       IDM_CURVE
27         MENUITEM "&Quadratic Fit",   IDM_QUADF
28         MENUITEM "&ACF with e-Fct.",  IDM_FOLD
29     }
30
31     POPUP "&Analyse"
32     {
33
34         MENUITEM "&ACF",             IDM_ACF
35         MENUITEM "&ACOV",            IDM_ACOV
36         MENUITEM "&SPD",             IDM_SPD
37     }
38     POPUP "&View"
39     {
40         MENUITEM "&Pressure View"    IDM_PLOTDRUCK
41         MENUITEM "&ACF View"         IDM_PLOTACF
42         MENUITEM "&ACOV View"        IDM_PLOTACOV
43         MENUITEM "&SPD View"         IDM_PLOTSPD
44     }
45     POPUP "&Testdata"
46     {
47         MENUITEM "&Sine"             IDM_GSINUS
48         MENUITEM "&Dirac"            IDM_GDIRAC
49         MENUITEM "&Exponential"      IDM_GEXPONENTIAL
50         MENUITEM "&Parabola"         IDM_GPARABOLA
51         MENUITEM "&Random"           IDM_GRANDOM
52     }
53     POPUP "&Matrix OP's"
54     {
55         MENUITEM "&QR-Transformation" IDM_QR_TRANS
56     }
57     POPUP "&Info File"
58     {
59         MENUITEM "&Create Info"      IDM_INFO
60     }
61 }
62 //-----

```

```

63 //
64 //Dialogbox for entering the sourcefiles name.
65 //
66 //-----
67 Eingabe DIALOG DISCARDABLE 50, 50, 160, 110
68
69 STYLE DS_MODALFRAME | WS_MINIMIZEBOX | WS_MAXIMIZEBOX |
70     WS_CAPTION      | WS_SYSTEMMENU
71
72 CAPTION "Source File"
73
74 FONT 10, "Arial"
75
76 BEGIN
77     LTEXT          "Please enter the name of the source file.", -1, 10, 10, 140,10
78     LTEXT          "file name:", -1, 11, 23, 30, 10
79
80     EDITTEXT       IDD_EINGABE, 43, 21, 70, 12, ES_AUTOHSCROLL
81
82     DEFPPUSHBUTTON "OK", ID_INORDNUNG, 33,80, 44,14
83     PUSHBUTTON    "Cancel", ID_UEBERGEHEN, 88,80, 44,14
84 END
85
86 //-----
87 //
88 //Dialogbox for entering the range of interest.
89 //
90 //-----
91 Beschneide DIALOG DISCARDABLE 50, 50, 160, 140
92
93 STYLE DS_MODALFRAME | WS_MINIMIZEBOX | WS_MAXIMIZEBOX |
94     WS_CAPTION      | WS_SYSTEMMENU
95
96 CAPTION "Changing Range"
97
98 FONT 10, "Arial"
99
100 BEGIN
101 LTEXT "Cutting the begin and the end of the source file data.\n
102 If <0> is entered for the end the true end will be taken.", -1, 10,10,150,40
103 LTEXT "New begin (>0):", -1, 10, 60, 50, 10
104 LTEXT "New end:", -1, 10, 80, 50, 10
105 EDITTEXT IDD_ANFANG, 80, 60, 70, 10, ES_AUTOHSCROLL
106 EDITTEXT IDD_ENDE, 80, 80, 70, 10, ES_AUTOHSCROLL
107 DEFPPUSHBUTTON "OK", ID_INORDNUNG, 10,100, 50,15
108 PUSHBUTTON    "Cancel", ID_UEBERGEHEN, 80,100, 50,15
109 END
110
111 //-----
112 //
113 //Dialogbox for the functiongenerators header
114 //
115 //-----
116 DataAquisition DIALOG DISCARDABLE 50, 50, 160, 140
117
118 STYLE DS_MODALFRAME | WS_MINIMIZEBOX | WS_MAXIMIZEBOX |
119     WS_CAPTION      | WS_SYSTEMMENU
120
121 CAPTION "Data aquisition Parameters"
122
123 FONT 10, "Arial"
124

```

B.2. PROGRAMMIERETS C-PROGRAMM ZUR DATENANALYSE 123

```

125 BEGIN
126     LTEXT          "Scanrate[pts/s]:",          -1, 10, 20, 70, 10
127     LTEXT          "Scanfrequency[1/s]:",      -1, 10, 40, 70, 10
128     LTEXT          "Amount of Points",        -1, 10, 60, 70, 10
129     EDITTEXT       IDD_SCANRATE,              90, 20, 60, 10, ES_AUTOHSCROLL
130     EDITTEXT       IDD_SCANFREQUENCY,         90, 40, 60, 10, ES_AUTOHSCROLL
131     EDITTEXT       IDD_POINTS,                90, 60, 60, 10, ES_AUTOHSCROLL
132     DEFPUSHBUTTON  "OK", ID_INORDNUNG, 10,100, 50,15
133     PUSHBUTTON     "Cancel", ID_UEBERGEHEN, 80,100, 50,15
134 END
135
136 //
137 //Dialogbox for special function Properties 3
138 //
139 //-----
140 Kubic DIALOG DISCARDABLE 50, 50, 160, 140
141
142 STYLE DS_MODALFRAME | WS_MINIMIZEBOX | WS_MAXIMIZEBOX |
143     WS_CAPTION      | WS_SYSMENU
144
145 CAPTION "Function Parameter List"
146
147 FONT 10, "Arial"
148
149 BEGIN
150     LTEXT          "1.st Parameter",          -1, 10, 20, 60, 10
151     LTEXT          "2.nd Parameter",          -1, 10, 40, 60, 10
152     LTEXT          "3.rd Parameter",          -1, 10, 60, 60, 10
153     EDITTEXT       IDD_A,                      80, 20, 70, 10, ES_AUTOHSCROLL
154     EDITTEXT       IDD_B,                      80, 40, 70, 10, ES_AUTOHSCROLL
155     EDITTEXT       IDD_C,                      80, 60, 70, 10, ES_AUTOHSCROLL
156     DEFPUSHBUTTON  "OK", ID_INORDNUNG, 10,100, 50,15
157     PUSHBUTTON     "Cancel", ID_UEBERGEHEN, 80,100, 50,15
158 END
159
160 /*****
161 *Dialog for two parameter functions
162 *****/
163 Quadratic DIALOG DISCARDABLE 50, 50, 160, 140
164
165 STYLE DS_MODALFRAME | WS_MINIMIZEBOX | WS_MAXIMIZEBOX |
166     WS_CAPTION      | WS_SYSMENU
167
168 CAPTION "Function Parameter List"
169
170 FONT 10, "Arial"
171
172 BEGIN
173     LTEXT          "1.st Parameter",          -1, 10, 20, 60, 10
174     LTEXT          "2.nd Parameter",          -1, 10, 40, 60, 10
175     EDITTEXT       IDD_A,                      80, 20, 70, 10, ES_AUTOHSCROLL
176     EDITTEXT       IDD_B,                      80, 40, 70, 10, ES_AUTOHSCROLL
177     DEFPUSHBUTTON  "OK", ID_INORDNUNG, 10,100, 50,15
178     PUSHBUTTON     "Cancel", ID_UEBERGEHEN, 80,100, 50,15
179 END
180
181
182 /*****
183 *Dialog for one parameter functions
184 *****/
185 Linear DIALOG DISCARDABLE 50, 50, 160, 140
186

```

```

187 STYLE DS_MODALFRAME | WS_MINIMIZEBOX | WS_MAXIMIZEBOX |
188     WS_CAPTION     | WS_SYSMENU
189
190 CAPTION "Function Parameter List"
191
192 FONT 10, "Arial"
193
194 BEGIN
195     LTEXT          "1.st Parameter",      -1, 10, 20, 60, 10
196     EDITTEXT      IDD_A,                  80, 20, 70, 10, ES_AUTOHSCROLL
197     DEFPUSHBUTTON "OK", ID_INORDNUNG,    10,100, 50,15
198     PUSHBUTTON    "Cancel", ID_UEBERGEHEN, 80,100, 50,15
199 END
200
201 //-----
202 //
203 //Dialogbox for entering the matrix and the vectors.
204 //
205 //-----
206 Matriceingabe DIALOG DISCARDABLE 50, 50, 160, 140
207
208 STYLE DS_MODALFRAME | WS_MINIMIZEBOX | WS_MAXIMIZEBOX |
209     WS_CAPTION     | WS_SYSMENU
210
211 CAPTION "Matrix and Vector"
212
213 FONT 10, "Arial"
214
215 BEGIN
216 LTEXT "This will calculate the solution vector x of the system Ax=b.\n
217 Please enter the Matrix- and vectorname. ", -1, 10,10,150,40
218     LTEXT          "Matrix name:",      -1, 10, 60, 50, 10
219     LTEXT          "Vector name:",      -1, 10, 80, 50, 10
220     EDITTEXT      IDD_MATRIX, 80, 60, 70, 10, ES_AUTOHSCROLL
221     EDITTEXT      IDD_VEKTOR, 80, 80, 70, 10, ES_AUTOHSCROLL
222     DEFPUSHBUTTON "OK", ID_INORDNUNG,    10,100, 50,15
223     PUSHBUTTON    "Cancel", ID_UEBERGEHEN, 80,100, 50,15
224 END

```

Listing B.5: ACf.rc

Literaturverzeichnis

- [Bag57] E.B. Bagley. End corrections in the capillary flow of polyethylene. *J. Appl. Phys.*, 28(5):624–627, 1957.
- [BB60] E.B. Bagley and A.M. Birks. Flow of polyethylene into a capillary. *J. Appl. Phys.*, 31(3):556–561, 1960.
- [Böh98] J.F. Böhme. *Stochastische Signale*. Teubner, Stuttgart, 1998.
- [Böh00] G. Böhme. *Strömungsmechanik nichtnewtonscher Fluide*. B.G.Teubner, Stuttgart,Leipzig,Wiesbaden, 2000.
- [Bra65] R.N. Bracewell. *The Fourier Transform and its Applications*. McGraw-Hill, New York, 1965.
- [BS01] I.N. Bronstein and K.A. Semendjajew. *Taschenbuch der Mathematik*. Verlag Harri Deutsch, 2001.
- [But98] T. Butz. *Fouriertransformierte für Fußgänger*. B.G. Teubner, Stuttgart,Leipzig, 1998.
- [CKC97] P.J. Carreau, D. De Kee, and R.P. Chabra. *Rheology of Polymeric Systems: Principle and Application*. Hanser Verlag, München, 1997.
- [CT65] J.W. Cooley and J.W. Tuckey. An algorithm for machine calculation of complex fourier series. *Math. Comp.*, 19:297–301, 1965.
- [Den01] M.M. Denn. Extrusion instabilities and wall slip. *Annu. Rev. Mech.*, 33:265–287, 2001.
- [DK87] M.M. Denn D.S. Kalika. Wallslip and extrudate distorsion in linear-low-density pe. *J. Rheol.*, 31(8):815–, 1987.
- [Ehr99] G.W. Ehrenstein. *Polymer-Werkstoff*. Hanser, München, Wien, 1999.
- [Erl05] H. Erlenkötter. *C Programmieren von Anfang an*. Rowolth, 2005.

- [GWE04] R.C. Gonzales, R.E. Woods, and S.L. Eddins. *Digital Image Processing using MATLAB*. Prentice Hall, 2004.
- [HH05] D.J. Higham and N.J. Higham. *MATLAB Guide*. SIAM, 2005.
- [Hän97] E. Hänsler. *Statistische Signale*. Springer, Berlin, 1997.
- [Hoh94] J. Hohnerkamp. *Stochastic Dynamical Systems: Concepts, Numerical Methods, Data Analysis*. VCH Wiley, New York, 1994.
- [HvDM⁺04] L. Hilliou, D. van Dusschoten, M. Wilhelm, H. Burkin, and E.R. Rodger. Increasing the force torque transducer sensitivity of a rpa 2000 by a factor of 5:10 via advanced data acquisition. *Rubber chem. and techn.*, 77:192–200, 2004.
- [Jam02] J.F. James. *A Student's Guide to Fourier Transform*. Cambridge University Press, 2002.
- [KK06] K.K. Kammeyer and K. Kroschek. *Digitale Signalverarbeitung*. B.G. Teubner, Wiesbaden, 2006.
- [Lar99] R.G. Larson. *The Structure and Rheology of Complex Fluids*. Oxford, New York, 1999.
- [LGN03] M. D. Lechner, K. Gehrke, and E. H. Nordmeier. *Makromolekulare Chemie*. 2003.
- [Mac94] C. Macosko. *Rheology, Principles, Measurements and Applications*. VCH Wiley, New York, 1994.
- [Mün79] H. Münstedt. Viskositätsdaten von kunststoffschmelzen. *Kunststoffe*, 68(2):92–98, 1979.
- [MSW00] H. Münstedt, M. Schmidt, and E. Wassner. Stick and slip phenomena during extrusion of polyethylene melts as investigated by laser-doppler velocimetry. *J. Rheol.*, 44:413–427, 2000.
- [Ost25] W. Ostwald. Ueber die geschwindigkeitsfunktion der viskosität disperser systeme. i. *Kolloid Zeitschrift*, 36:99–117, 1925.
- [Rab27] B. Rabinowitsch. Über die viskosität und elastizität von solen. *Z. physikal. Chemie*, 145(1):1–26, 1927.
- [Ram85] R.W. Ramirez. *The FFT Fundamentals and Concepts*. Prentice-Hall, Engelwood Cliffs, 1985.
- [Rie05] F. Rieg. *Grafikprogrammierung für Windows*. Fachbuchverlag Leipzig, 2005.

- [Rob01] L. Robert. *Instabilite oscillante de polyethylenes lineaires: observations et interpretations*. Nizza, 2001. Doktorarbeit.
- [Sch00] G. Schramm. *Einführung in die Rheologie und Rheometrie*. Gebrüder Haake GmbH, Karlsruhe, 2000. 2.Auflage.
- [Spu04] J.H. Spurk. *Strömungslehre*. Springer, Berlin, Heidelberg, 2004.
- [Sto05] J. Stoer. *Numerische Mathematik 1*. Springer, Berlin, Heidelberg, New York, 2005.
- [SWM99] M. Schmidt, E. Wassner, and H. Münstedt. Setup and test of a laser doppler velocimeter for investigation of flow behaviour of polymer melts. *Mech. Time-Dependent Mat.*, 3:371–393, 1999.
- [Uhl79] E. Uhlend. Das anomale fließverhalten von polyäthylen hoher dichte. *Rheol. Acta*, 18(1):1–23, 1979.
- [vDW01] D. van Dusschoten and M. Wilhelm. Increased torque transducer sensitivity via oversampling. *Rheol. Acta*, 40(4):395–399, 2001.
- [vFLSW00] K. von Finkenstein, J. Lehn, H. Schellhaas, and H. Wegmann. *Arbeitsbuch der Mathematik für Ingenieure I*. B.G. Teubner, Stuttgart, Leipzig, Wiesbaden, 2000.
- [Wan99] Shi-Qi Wang. Molecular transition and dynamics at polymer/wall interfaces: Origins of flow instabilities and wall slip. *Adv. Polymer Scien.*, 138:228–275, 1999.
- [WDI96] S.Q. Wang, P.A. Drda, and Y.W. Inn. Exploring the molecular origin of sharkskin, partial slip and slope change in flow curves of linear low density pe i. *J. Rheol.*, 40(8):875–898, 1996.
- [Wil02] M. Wilhelm. Fourier transform rheology. *Macromol. Mater. Eng.*, 287:83–105, 2002.
- [WRO99] M. Wilhelm, P. Reinheimer, and M. Ortseifer. High sensitivity fourier-transform rheology. *Rheol. Acta*, 38:349–356, 1999.

Index

- 3-dB Bandbreite, 26
- Abtastfrequenz, 40
- Abtaststrategie, maximale, 16
- Aliasing, 16
- Ausgleichsrechnung, 41, 43
- Autokorrelationsfolge, 30
- Autokorrelationsfunktion, 29, 30
- Autokovarianzfolge, 32
- diskrete Fourier Transformation, 28
- diskrete spektrale Leistungsdichte, 34
- DMS-Drucksensor, 36
- Druckfluktuationen, 14
- Ensemble Mittelung, 30
- Ergoden Hypothese, 30
- Extrudern, 1
- Fensterfunktion, 26, 31
- FFT, 42
- Fließexponent, 12
- Fließkurve, 12
- Fluidität, 12
- Fourier Integral, 24
- Fourier Transformation, 24
- Fourierkoeffizienten, 21
- Fourierreihe, 21
- Frequenzauflösung, 34
- Gibb'sches Phänomen, 22
- Gross Melt-Fracture, 14
- Kapillarrheometer, 6
- Korrelationszeit, 29
- Leck-Effekt, 26
- Leistungsdichtespektrum, 29
- Linearitätstheorem, 24
- Messstrecke, 16
- Nyquistfrequenz, 40
- Oversampling, 19, 40
- Parseval'sche Theorem, 25
- Phasengang, 25
- Piezo-Drucksensoren, 37
- Poiseuille Strömung, 10
- Quantisierung, 18
- Reynoldszahl, 10
- Scherrate, scheinbare, 10
- Schnelle Fourier Transformierte, 42
- Schubspannung, scheinbare, 11
- Shannon'sche Abtasttheorem, 16
- Sharkskin, 14
- Signal-to-Noise Ratio, 19
- spektrale Leistungsdichte, 29
- Stick-Slip, 14
- Verschiebungssatz, 24
- Viskosität, 11
- Viskosität, scheinbare, 11
- Weißenberg/ Rabinowitsch Korrektur, 10
- Weißenberg/Rabinowitsch Korrektur, 11
- Wiener-Khinchine-Theorem, 33
- Zeitmittelung, 30

Danksagung

Ich möchte mich bei den folgenden Personen bedanken:

- Prof. M. Wilhelm für die Aufnahme in seine Gruppe als Diplomstudent und seine Betreuung innerhalb der letzten Monate,
- Prof. H.W. Spiess für die Aufnahme in seine Gruppe und einen Platz zum arbeiten,
- Prof. Wegner für die offizielle Stelle als Diplomstudent am MPIP,
- der Gruppe für Polymeranalytik für die Hilfe bei der Charakterisierung meiner Proben,
- G. Glasser für seine Hilfe bei der Untersuchung der Extrudatproben am Mikroskop,
- meinen Kollegen aus dem Büro für ihre freundliche Aufnahme und Hilfe,
- den Mitarbeitern der Mechanik-Werkstatt für die gut gefertigte Schlitzdüse,
- der Firma Goettfert für die technische Unterstützung und die schnelle Lieferung des benötigten Zubehörs zum Kapillarrheometers,
- der Rheologie Gruppe um Prof. Wilhelm (Dr. V. Barroso, A. Calin, Dr. K. Hyun, K. Riazi) für ihre Unterstützung, Hilfe und Freundschaft,
- den Ehemaligen aus der Rheologie Gruppe Dr. I. Vittorias und Dr. S. Filipe für ihre Einweisung an den Rheometern,
- A. Becker für seine Hilfe bei allen Problemen die sich am Kapillarrheometer ergaben,
- meinen Erst-Korrektoren A. Wachsmuth und Dr. V. Barroso,
- meiner gesamten Familie die mich all die Jahre unterstützt hat und mir geholfen hat diese Arbeit in Ruhe zu vollenden,

- meinen Freunden, die mir die Vernachlässigung meinerseits während der letzten Monate verzeihen,
- und zu guter letzt meiner Freundin, die liebevoll zu mir gestanden ist und mir die Kraft gegeben und die Zeit gelassen hat diese Arbeit zu beenden. Auf das wir für immer zusammen bleiben.